

## 第 104 回 南海トラフ沿いの地震に関する評価検討会

# 気 象 庁 資 料



令和 8 年 4 月 7 日

本資料は、国立研究開発法人防災科学技術研究所、北海道大学、弘前大学、東北大学、東京大学、名古屋大学、京都大学、高知大学、九州大学、鹿児島大学、国立研究開発法人産業技術総合研究所、国土地理院、国立研究開発法人海洋研究開発機構、公益財団法人地震予知総合研究振興会、青森県、東京都、静岡県、神奈川県温泉地学研究所及び気象庁のデータを用いて作成しています。また、2016 年熊本地震合同観測グループのオンライン臨時観測点（河原、熊野座）、2022 年能登半島における合同地震観測グループによるオンライン臨時観測点（よしが浦温泉、飯田小学校）、2025 年トカラ列島近海における合同地震観測グループによるオンライン臨時観測点（平島、小宝島）、EarthScope Consortium の観測点（台北、玉峰、寧安橋、玉里、台東）のデータを用いて作成しています。

以下の資料は暫定であり、後日の調査で変更されることがあります。

## 令和8年3月1日～令和8年4月5日の主な地震活動

○南海トラフ巨大地震の想定震源域およびその周辺の地震活動：

【最大震度3以上を観測した地震もしくはM3.5以上の地震及びその他の主な地震】

月/日	時:分	震央地名	深さ (km)	M	最大 震度	発生場所
3/18	01:35	日向灘	24	3.6	1	

※震源の深さは、精度がやや劣るものは表記していない。

※太平洋プレートの沈み込みに伴う震源が深い地震は除く。

○深部低周波地震（微動）活動期間

四国	紀伊半島	東海
<b>■四国東部</b> 3月1日 3月8日～10日 3月13日～15日 3月21日 3月27日～30日 4月1日～4月4日  <b>■四国中部</b> 3月1日 3月11日～12日 3月29日 4月2日  <b>■四国西部</b> 3月1日 3月6日 3月9日 3月13日 3月15日 3月17日～20日 3月27日～4月4日	<b>■紀伊半島北部</b> <u>2月8日～12日</u> <sup>注1)</sup> . . . (1) <u>2月14日～24日</u> <sup>注1)</sup> . . . (1) 3月4日 3月25日～26日 3月30日  <b>■紀伊半島中部</b> <u>2月11日～15日</u> <sup>注1)</sup> . . . (1) 3月19日～20日 4月2日  <b>■紀伊半島西部</b> 3月1日 3月7日～8日 <u>3月19日～21日</u> . . . (2) 4月3日	<u>3月2日～7日</u> <sup>注1)</sup> . . . (1) <u>3月9日～10日</u> <sup>注1)</sup> . . . (1) <u>3月12日～16日</u> <sup>注1)</sup> . . . (1) 3月19日～20日 3月22日～23日 3月26日～27日

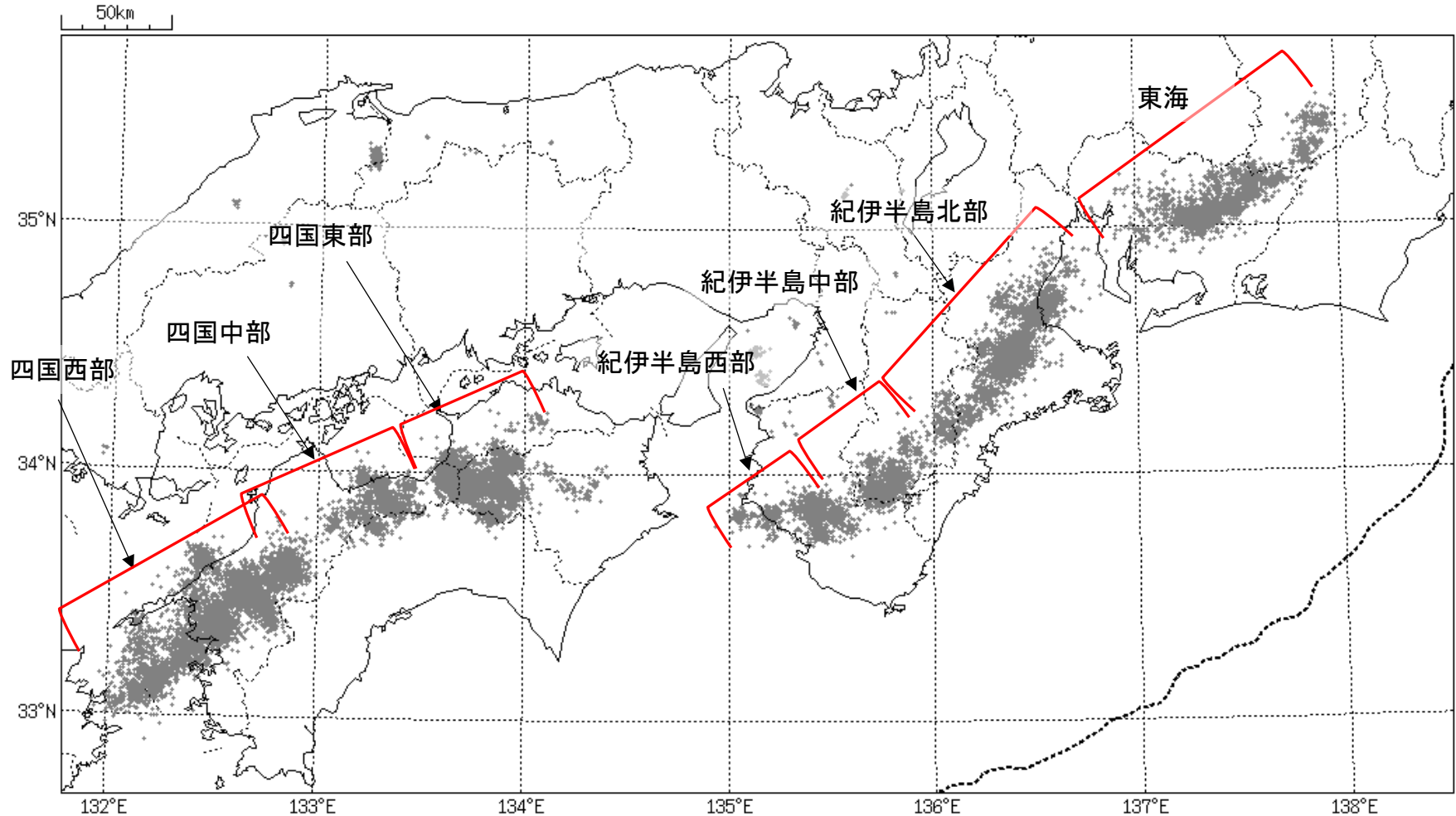
※深部低周波地震（微動）活動は、気象庁一元化震源を用い、地域ごとの一連の活動（継続日数2日以上または活動日数1日の場合で複数個検知したもの）について、活動した場所ごとに記載している。

※ひずみ変化と同期して観測された深部低周波地震（微動）活動を赤字で示す。

※上の表中（1）、（2）を付した活動は、今期間、主な深部低周波地震（微動）活動として取り上げたものの。

注1） 防災科学技術研究所による解析では、2月8日から14日頃、2月16日から26日頃及び3月1日から7日頃にかけて微動活動が見られた。

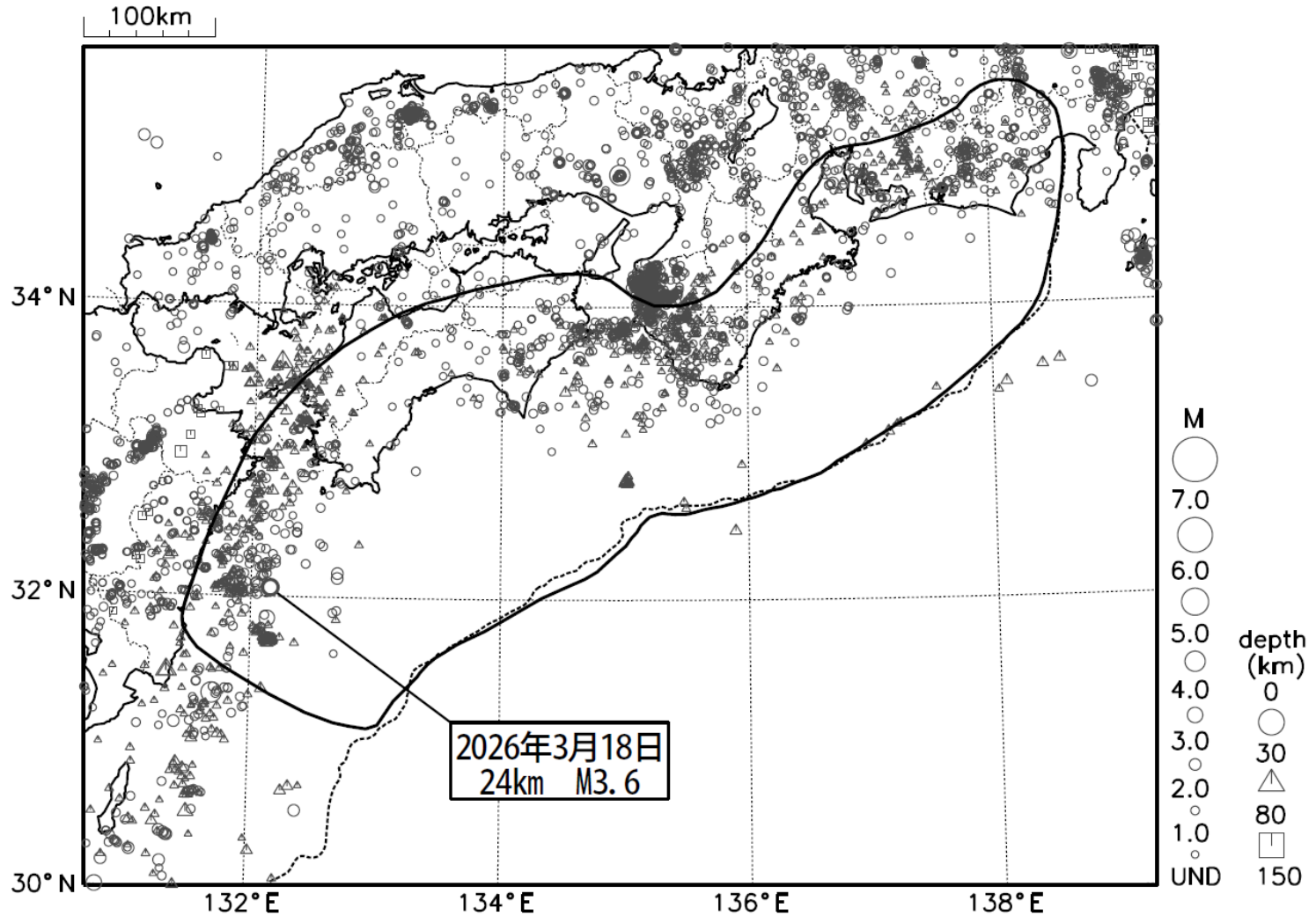
## 概況に記載している深部低周波地震(微動)の活動の場所



領域はObara(2010)を参考に作成。

出典 : Obara, K. (2010), Phenomenology of deep slow earthquake family in southwest Japan: Spatiotemporal characteristics and segmentation, *J. Geophys. Res.*, 115, B00A25, doi:10.1029/2008JB006048.

# 南海トラフ沿いとその周辺の広域地震活動(2026年3月1日~3月31日)



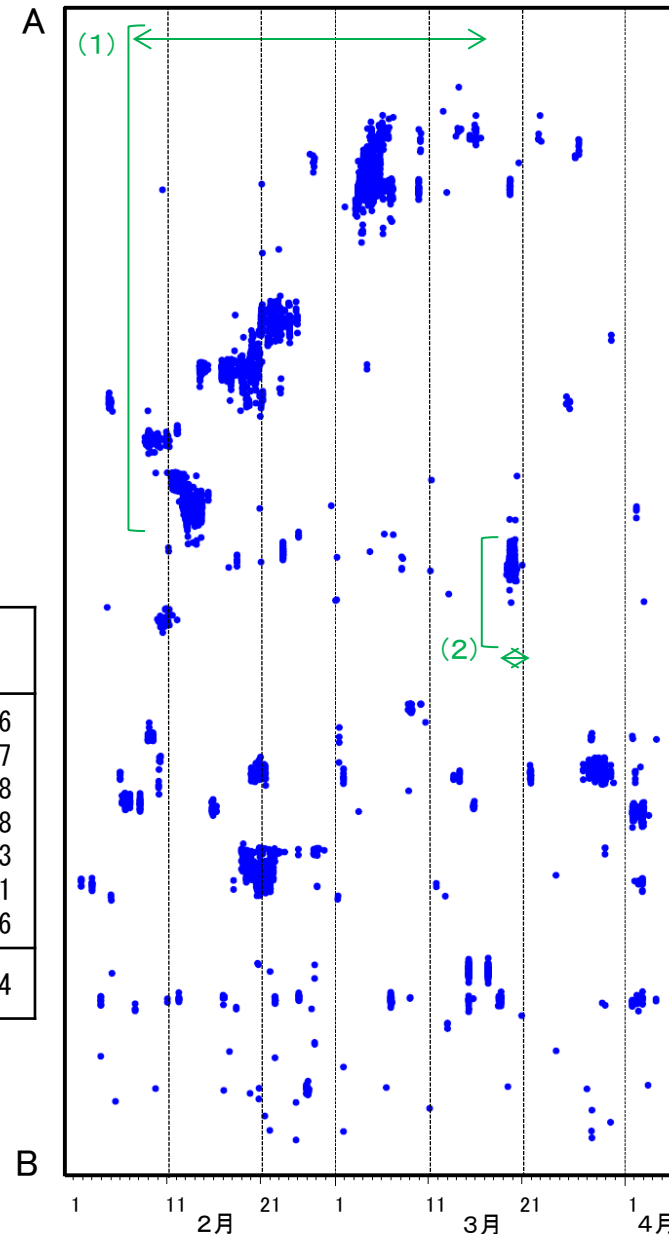
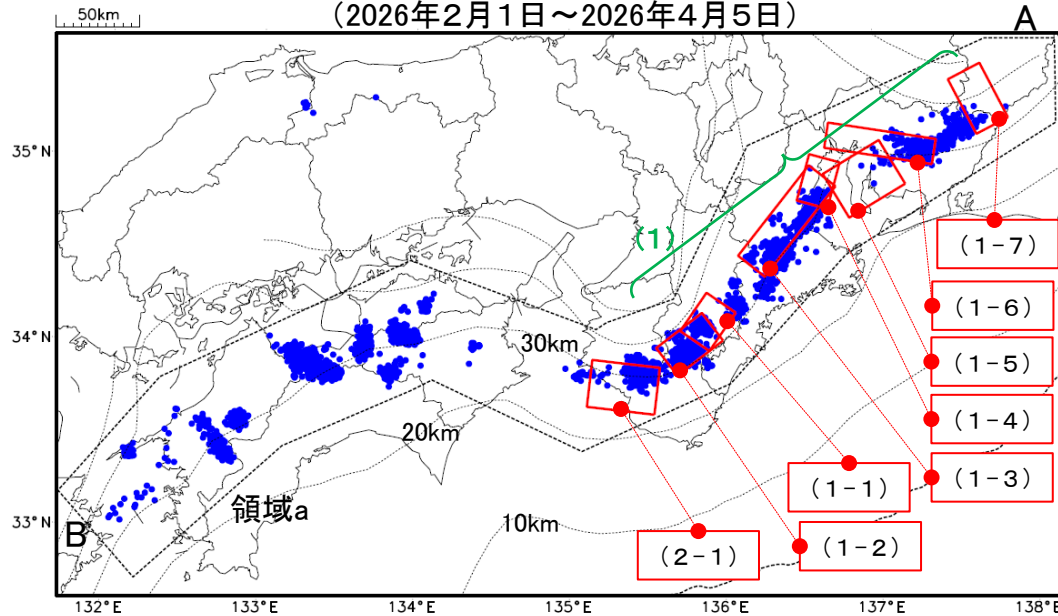
- ・図中の吹き出しは、南海トラフ巨大地震の想定震源域とその周辺で最大震度3以上を観測した地震もしくはM3.5以上の地震、それ以外の陸域M5.0以上・海域M6.0以上とその他の主な地震。
- ・震源の深さは、精度がやや劣るものは表記していない。
- ・発震機構解の横に「S」の表記があるものは、精度がやや劣るものである。

# 深部低周波地震(微動)活動と短期的ゆっくりすべりの全体概要

深部低周波地震(微動)の震央分布図と短期的ゆっくりすべりの断層モデル

(2026年2月1日～2026年4月5日)

領域a(点線矩形)内の深部低周波地震(微動)の時空間分布図(A-B投影)



主な深部低周波地震(微動)活動と短期的ゆっくりすべり

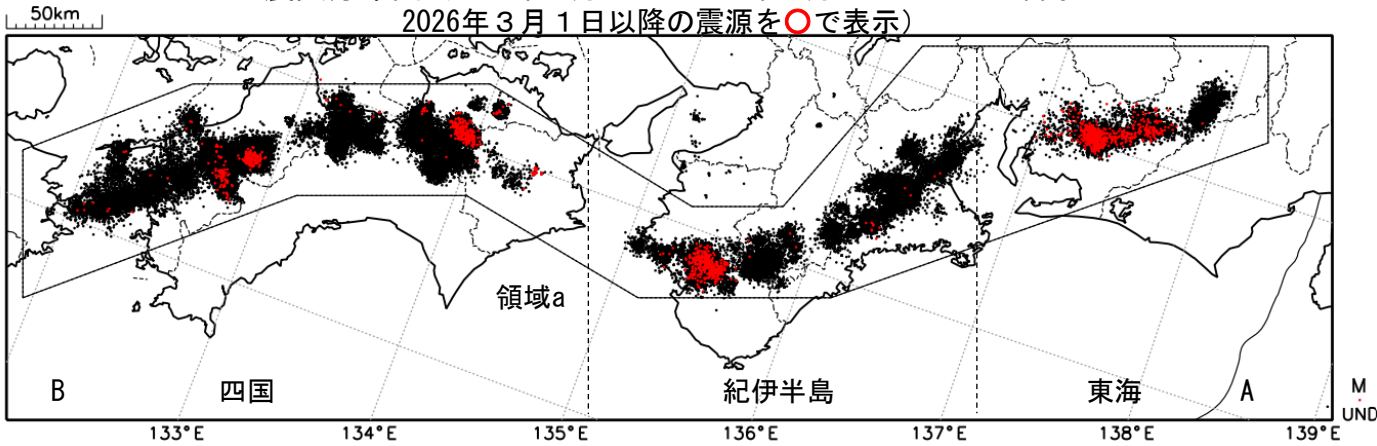
活動場所		深部低周波地震(微動)活動の期間	短期的ゆっくりすべりの期間と規模
(1)	紀伊半島中部から東海	2月8日～2月24日、 3月2日～7日、 3月9日～10日、 3月12日～16日	(1-1) 2月9日12時～2月12日12時 : Mw5.6 (1-2) 2月12日12時～2月15日12時 : Mw5.7 (1-3) 2月17日12時～2月21日12時 : Mw5.8 (1-4) 2月21日12時～2月26日12時 : Mw5.8 (1-5) 2月26日12時～3月2日12時 : Mw5.3 (1-6) 3月2日12時～3月7日12時 : Mw6.1 (1-7) 3月11日12時～3月14日12時 : Mw5.6
(2)	紀伊半島西部	3月19日～21日	(2-1) 3月19日00時～3月20日24時 : Mw5.4

●: 深部低周波地震(微動)の震央(気象庁の解析結果を示す)  
 □: 短期的ゆっくりすべりの断層モデル(気象庁の解析結果を示す。)  
 点線は、Baba et al.(2002)、Hirose et al.(2008)、Nakajima and Hasegawa(2007)によるフィリピン海プレート上面の深さ(10kmごとの等深線)を示す。

# 深部低周波地震（微動）活動（2016年4月1日～2026年3月31日）

深部低周波地震（微動）は、「短期的ゆっくりすべり」に密接に関連する現象とみられており、プレート境界の状態の変化を監視するために、その活動を監視している。

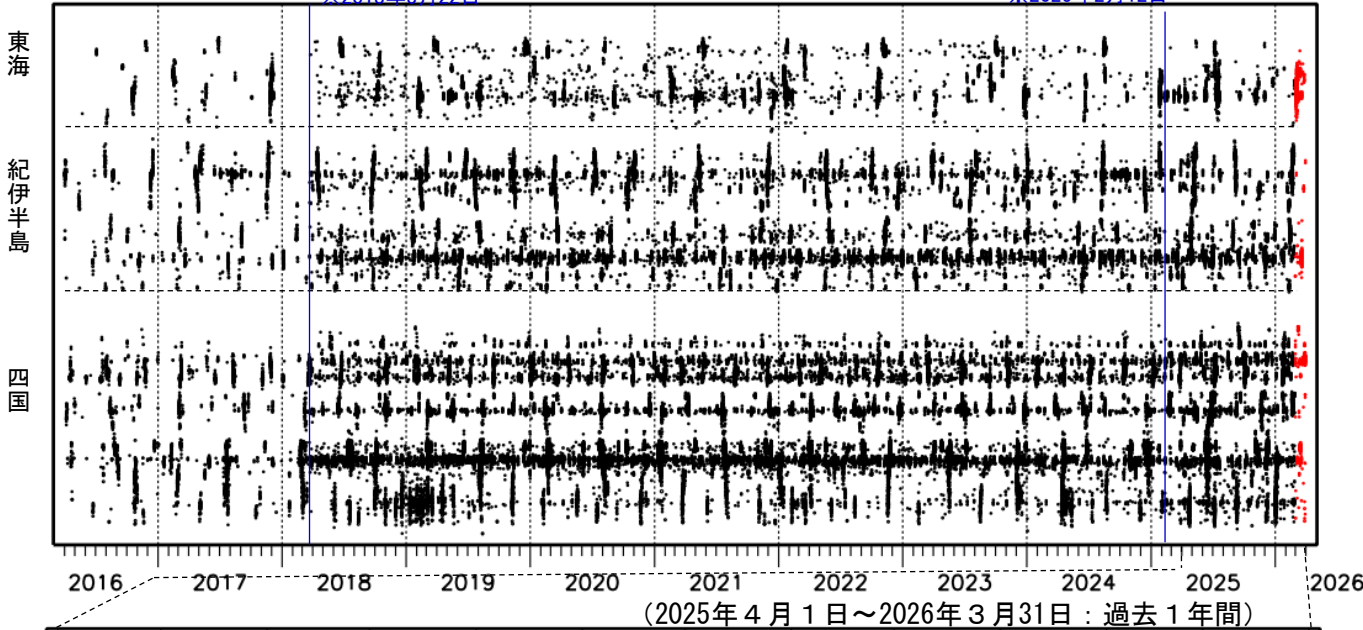
震央分布図（2016年4月1日～2026年3月31日：過去10年間  
2026年3月1日以降の震源を○で表示）



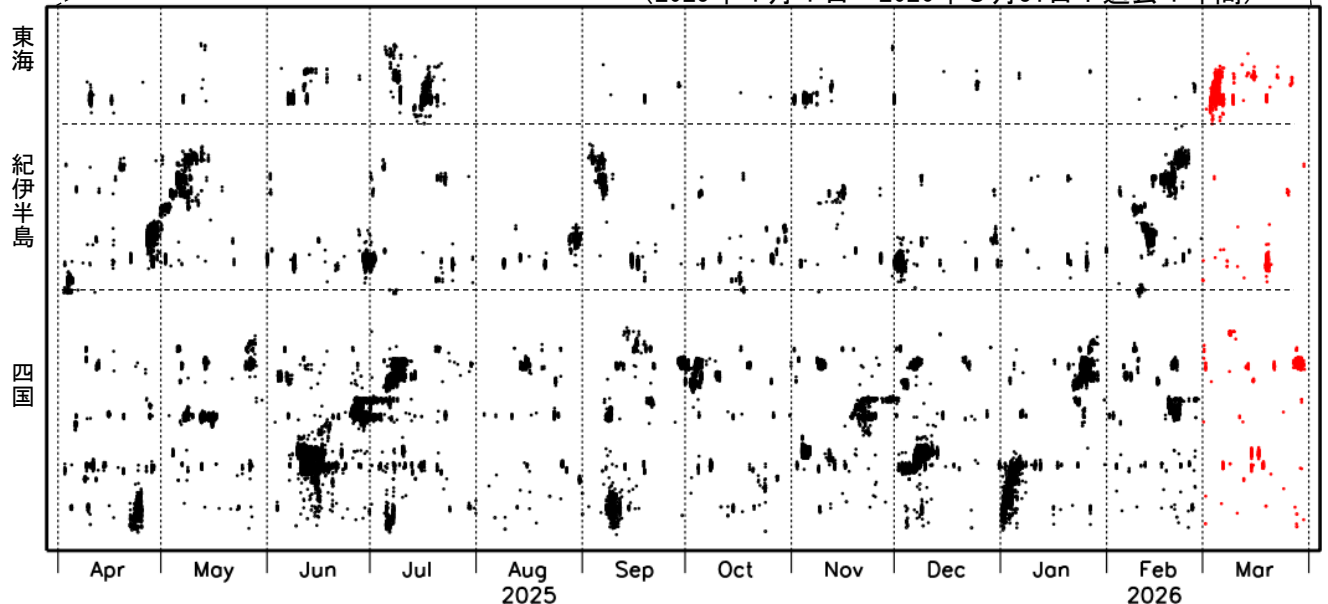
上図領域a内の時空間分布図（A-B投影）

※2018年3月22日

※2025年2月12日



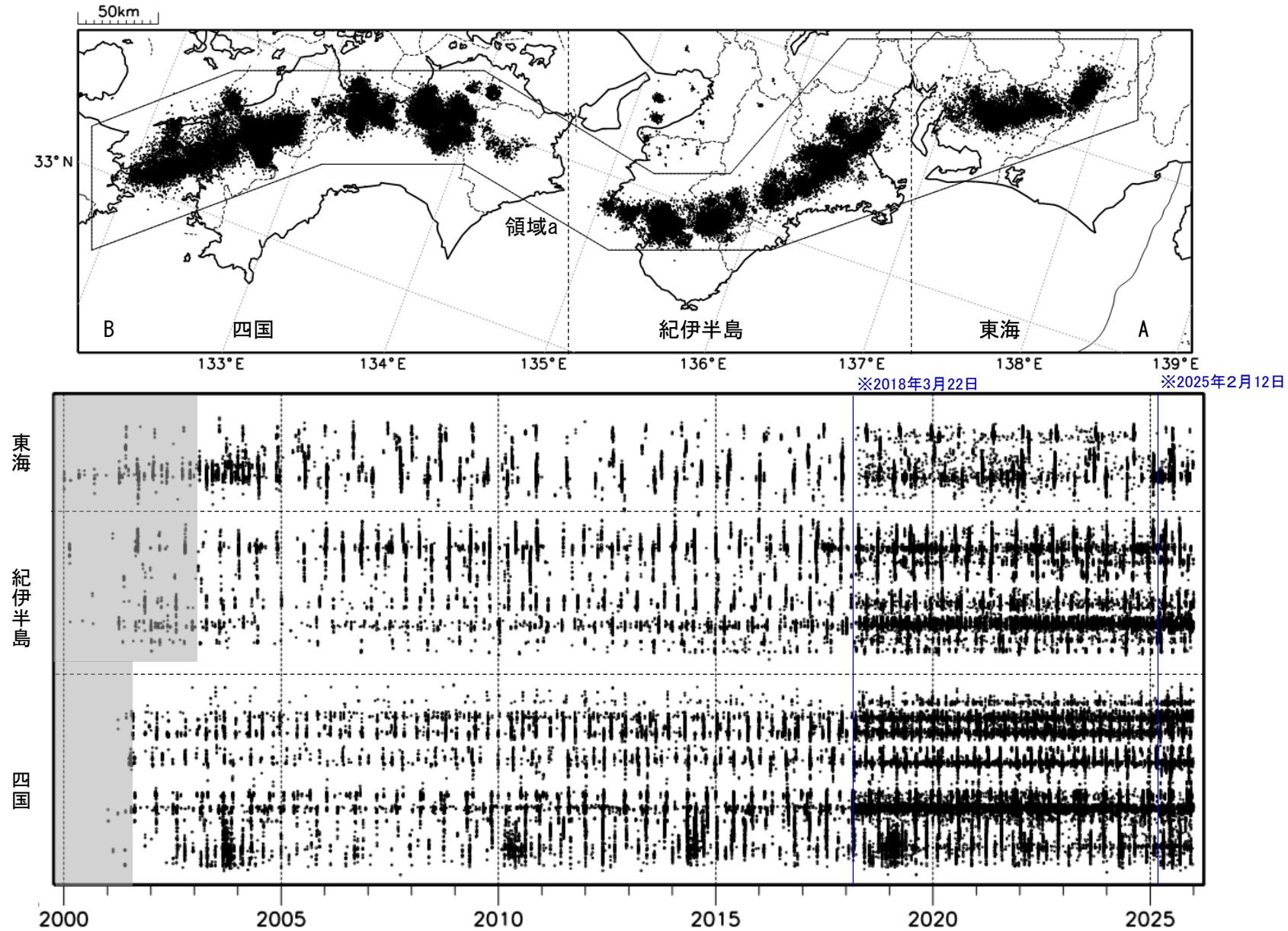
（2025年4月1日～2026年3月31日：過去1年間）



※2018年3月22日、および、2025年2月12日から、深部低周波地震（微動）の検知手法の改善により、それ以前と比較して検知能力がそれぞれ変わっている。

# 深部低周波地震（微動）活動（2000年1月1日～2025年12月31日）

深部低周波地震（微動）は、「短期的ゆっくりすべり」に密接に関連する現象とみられており、プレート境界の状態の変化を監視するために、その活動を監視している。



※2018年3月22日、および、2025年2月12日から、深部低周波地震（微動）の検知手法の改善により、それ以前と比較して検知能力が変わっている。

※時空間分布図中、灰色の期間は、それ以降と比較して十分な検知能力がなかったことを示す。

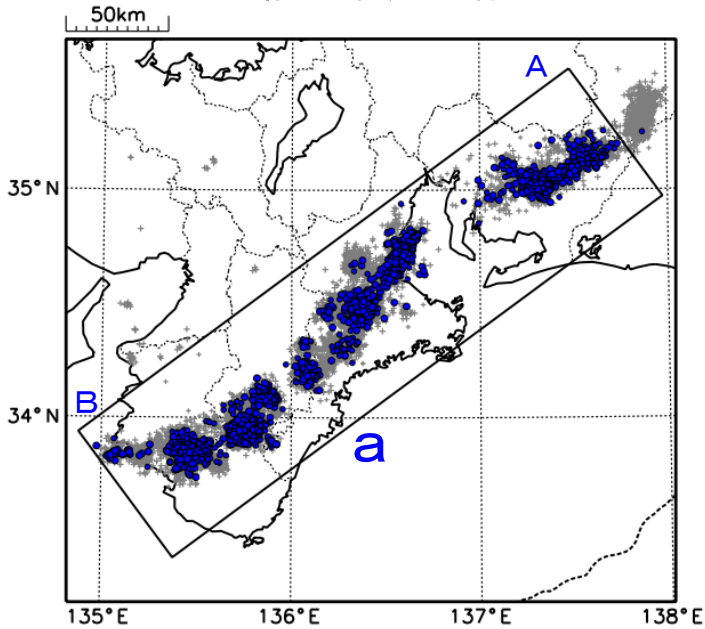
# 紀伊半島中部から東海の深部低周波地震(微動)活動と短期的ゆっくりすべり

2月8日から24日、3月2日から7日、9日から10日及び12日から16日にかけて紀伊半島中部から東海にかけて深部低周波地震(微動)を観測した。

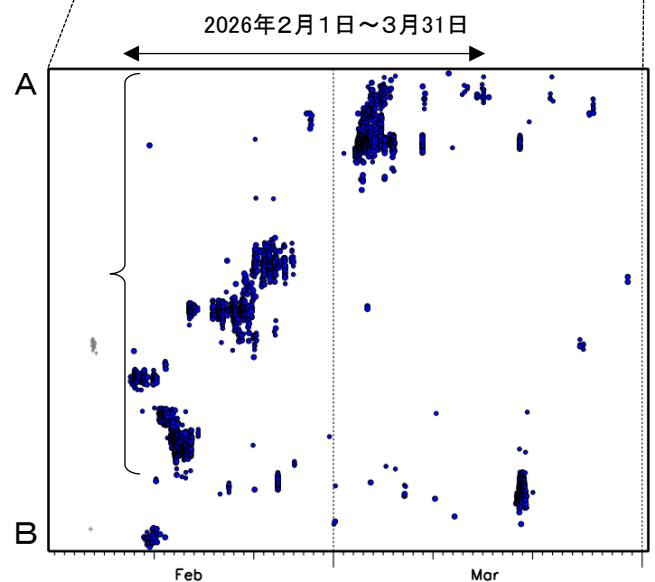
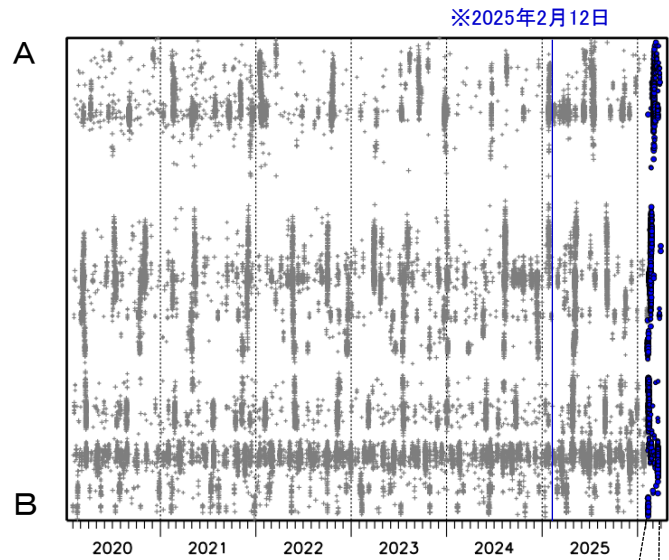
深部低周波地震(微動)活動とほぼ同期して、周辺に設置されている複数のひずみ計・傾斜計で地殻変動を観測した。これらは、短期的ゆっくりすべりに起因すると推定される。

## 深部低周波地震(微動)活動

震央分布図(2020年2月1日～2026年3月31日、  
深さ0～60km、Mすべて)  
灰:2020年2月1日～2026年2月7日、  
青:2026年2月8日以降



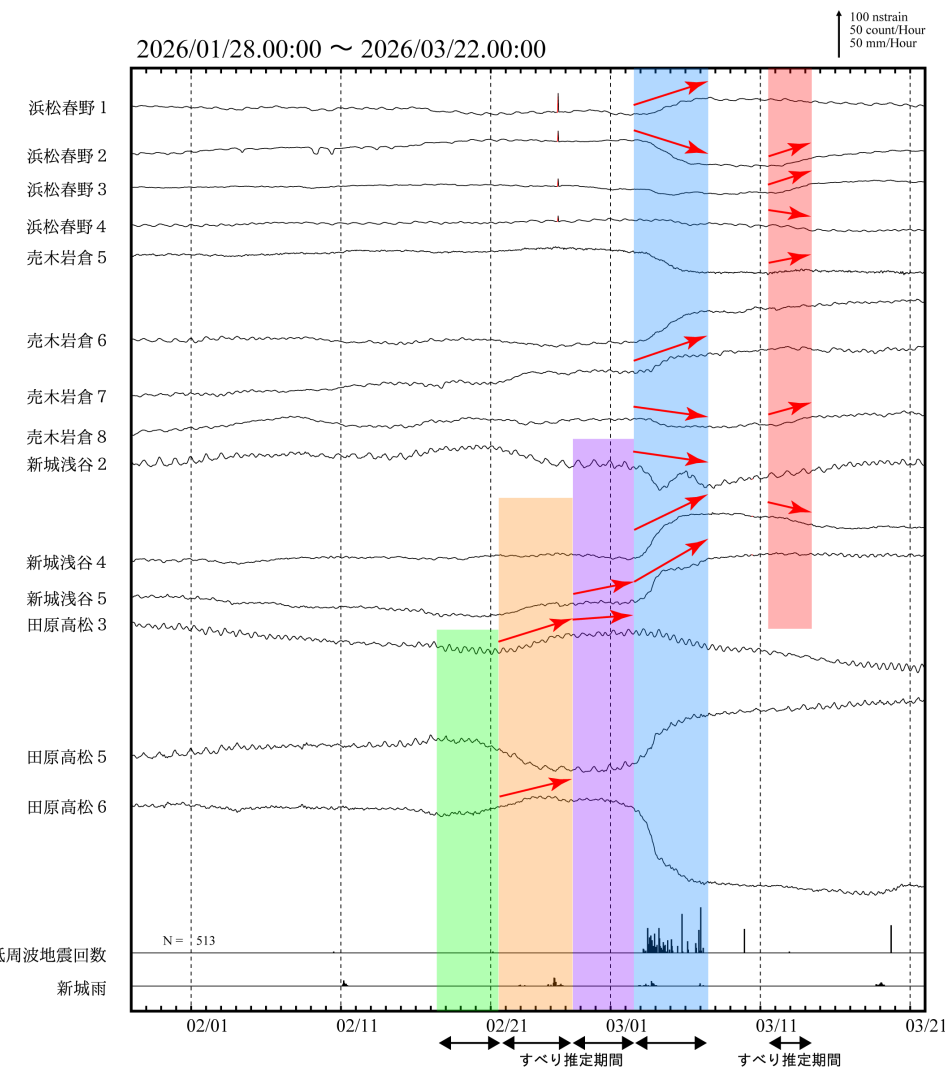
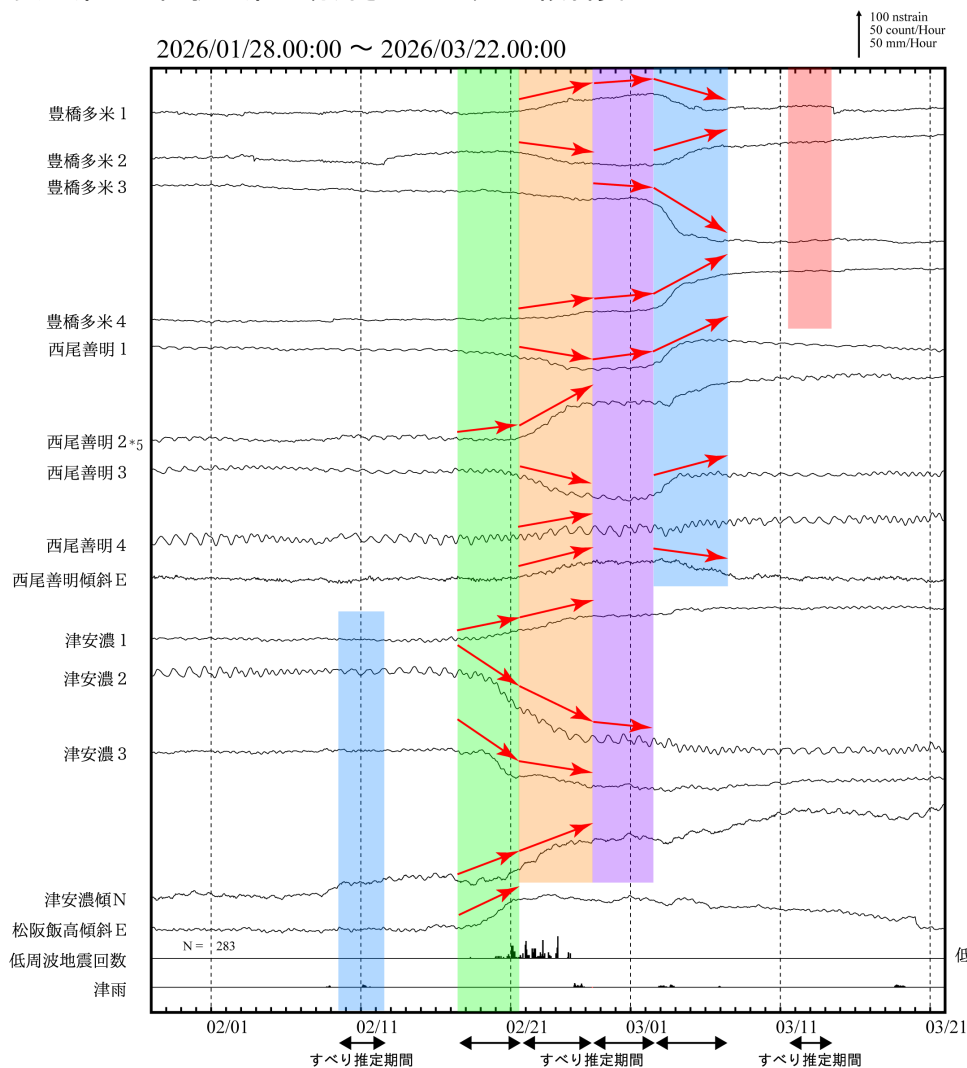
領域a内の時空間分布図(A-B投影)



※2025年2月12日から、深部低周波地震(微動)の検知手法の改善により、それ以前と比較して検知能力が変わっている。

# 紀伊半島中部から東海で観測した短期的ゆっくりすべり(2月9日～3月14日)

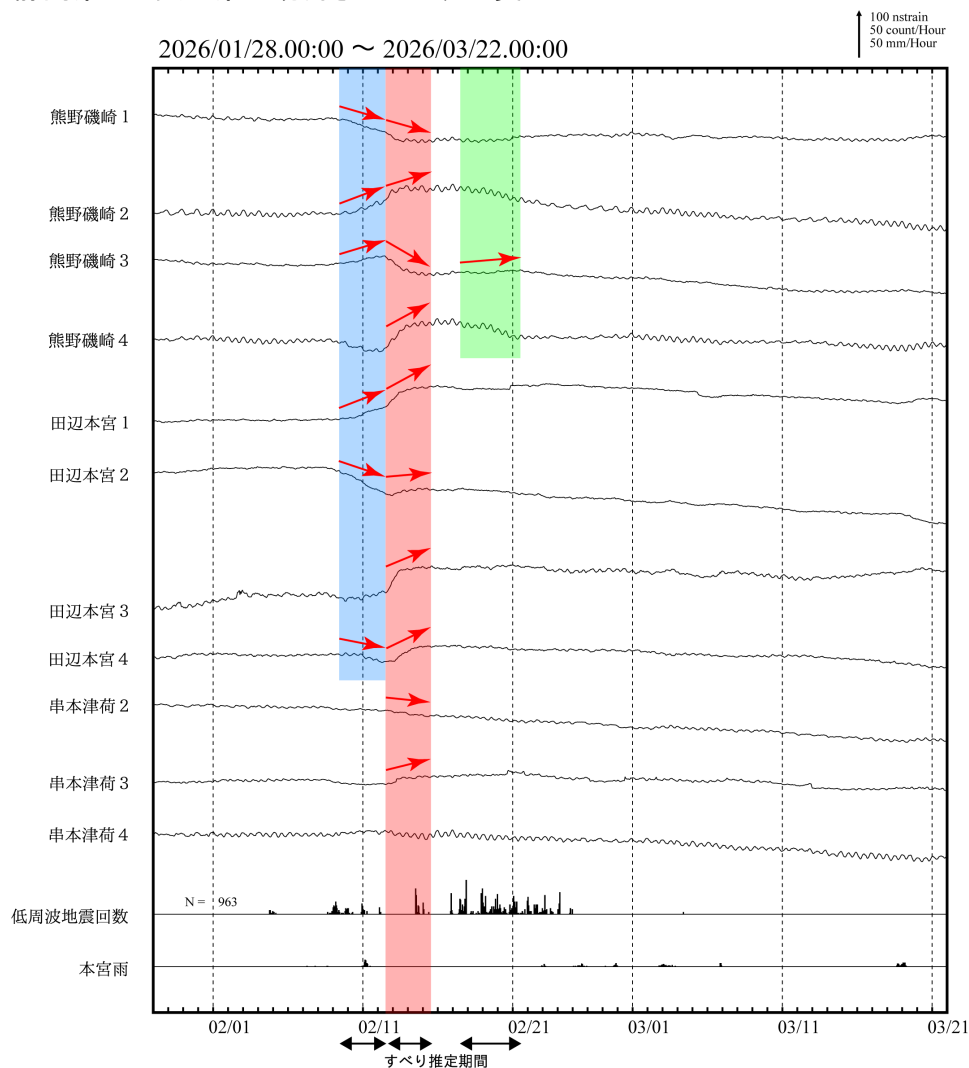
愛知県から和歌山県で観測されたひずみ・傾斜変化



豊橋多米、西尾善明、津安濃、松坂飯高、熊野磯崎、田辺本宮及び串本津荷は産業技術総合研究所のひずみ・傾斜計である。  
 解析に使用したチャンネルについては背景色を塗り、そのうち有意な変化が見られたチャンネルに赤矢印を描画している。  
 低周波地震回数はゆっくりすべりを示す断層モデル周辺で発生したものを積算している。

# 紀伊半島中部から東海で観測した短期的ゆっくりすべり(2月9日～3月14日)

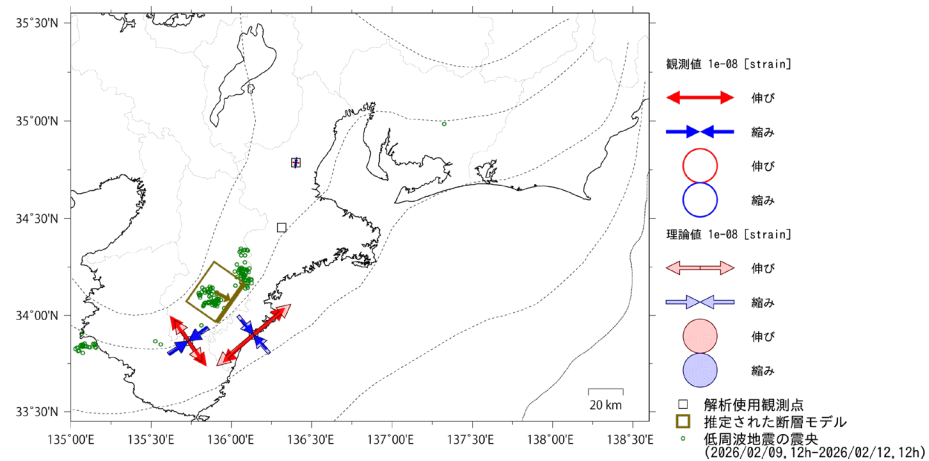
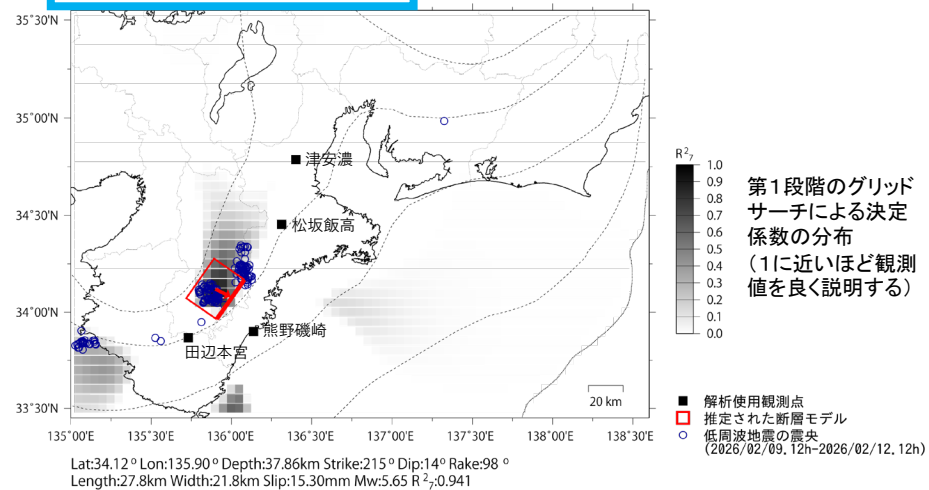
静岡県から愛知県で観測されたひずみ変化



解析に使用したチャンネルについては背景色を塗り、そのうち有意な変化が見られたチャンネルに赤矢印を描画している。

低周波地震回数はゆっくりすべりを示す断層モデル周辺で発生したものを積算している。

2026年2月9日12時～12日12時 Mw5.6

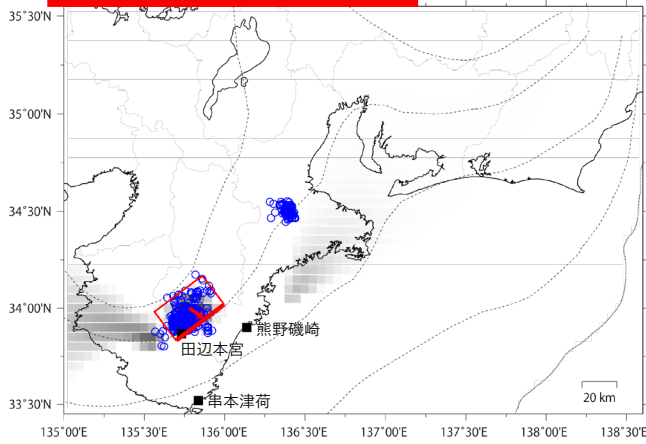


前頁に示す観測点での変化量をもとにすべり推定を行ったところ、図の場所にゆっくりすべりを示す断層モデルが求まった。

断層モデルの推定は、産総研の解析方法(板場ほか, 2012)を参考に以下の2段階で行う。  
 ・断層サイズを20km×20kmに固定し、位置を0.05度単位でグリッドサーチにより推定する。  
 ・その位置を中心にして、他の断層パラメータの最適解を求める。

# 紀伊半島中部から東海で観測した短期的ゆっくりすべり(2月9日～3月14日)

2026年2月12日12時～15日12時 Mw5.7



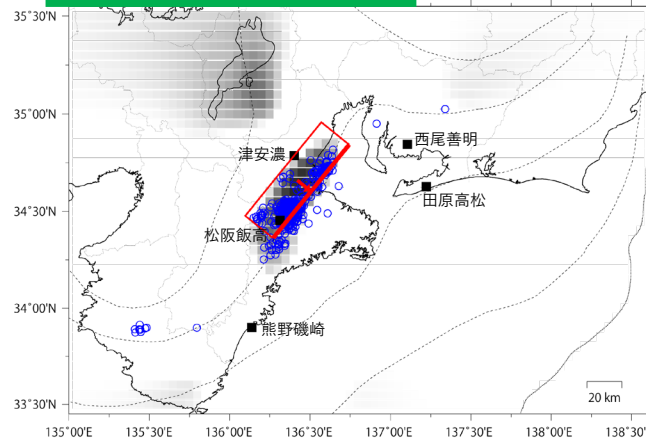
Lat:34.00° Lon:135.78° Depth:34.96km Strike:233° Dip:18° Rake:109°  
Length:34.5km Width:21.9km Slip:14.70mm Mw:5.70 R²:0.924

R<sup>2</sup>  
1.0  
0.9  
0.8  
0.7  
0.6  
0.5  
0.4  
0.3  
0.2  
0.1  
0.0

第1段階のグリッド  
サーチによる決定  
係数の分布  
(1に近いほど観測  
値を良く説明する)

■ 解析使用観測点  
■ 推定された断層モデル  
○ 低周波地震の震央  
(2026/02/12, 12h-2026/02/15, 12h)

2026年2月17日12時～21日12時 Mw5.8



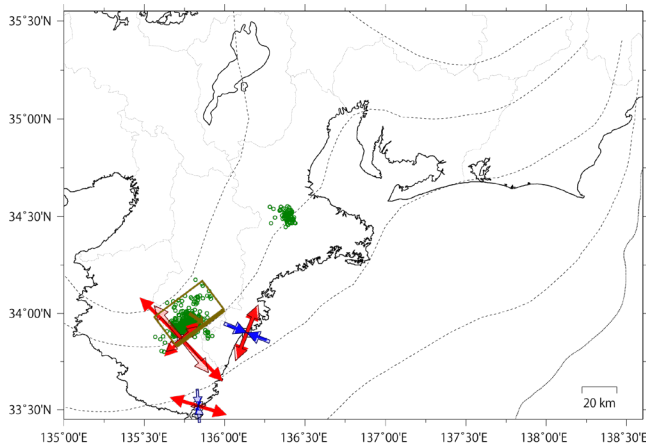
Lat:34.66° Lon:136.42° Depth:26.89km Strike:219° Dip:8° Rake:90°  
Length:68.7km Width:20.5km Slip:9.40mm Mw:5.75 R²:0.880

R<sup>2</sup>  
1.0  
0.9  
0.8  
0.7  
0.6  
0.5  
0.4  
0.3  
0.2  
0.1  
0.0

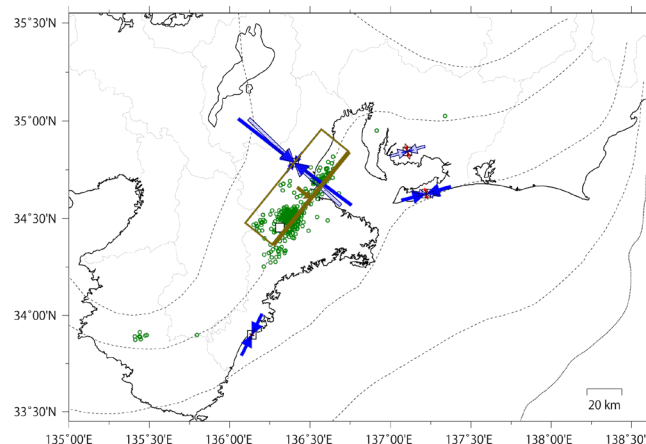
第1段階のグリッド  
サーチによる決定  
係数の分布  
(1に近いほど観測  
値を良く説明する)

■ 解析使用観測点  
■ 推定された断層モデル  
○ 低周波地震の震央  
(2026/02/17, 12h-2026/02/21, 12h)

参考



観測値 2e-08 [strain]  
→ 伸び  
← 縮み  
○ 伸び  
○ 縮み  
理論値 2e-08 [strain]  
→ 伸び  
← 縮み  
○ 伸び  
○ 縮み  
■ 解析使用観測点  
■ 推定された断層モデル  
○ 低周波地震の震央  
(2026/02/12, 12h-2026/02/15, 12h)



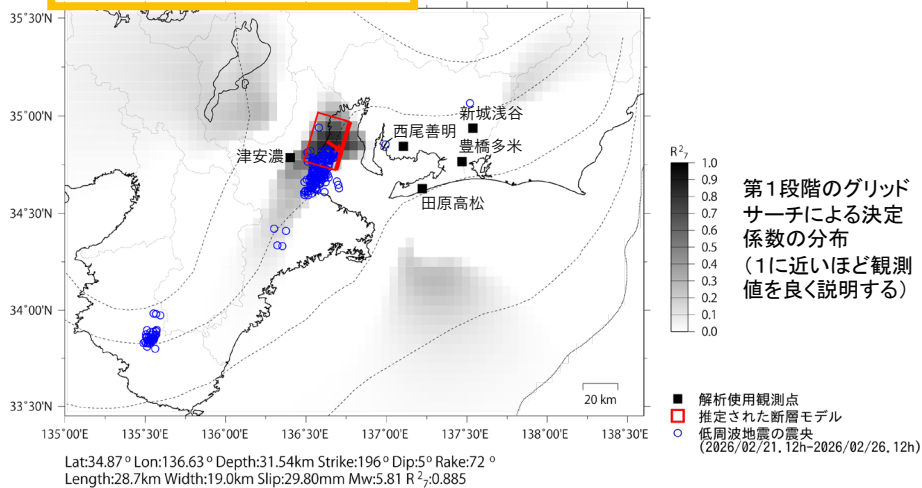
観測値 2e-08 [strain]  
→ 伸び  
← 縮み  
○ 伸び  
○ 縮み  
理論値 2e-08 [strain]  
→ 伸び  
← 縮み  
○ 伸び  
○ 縮み  
■ 解析使用観測点  
■ 推定された断層モデル  
○ 低周波地震の震央  
(2026/02/17, 12h-2026/02/21, 12h)

前々頁～前頁に示す観測点での変化量をもとにすべり推定を行ったところ、図の場所にゆっくりすべりを示す断層モデルが求まった。

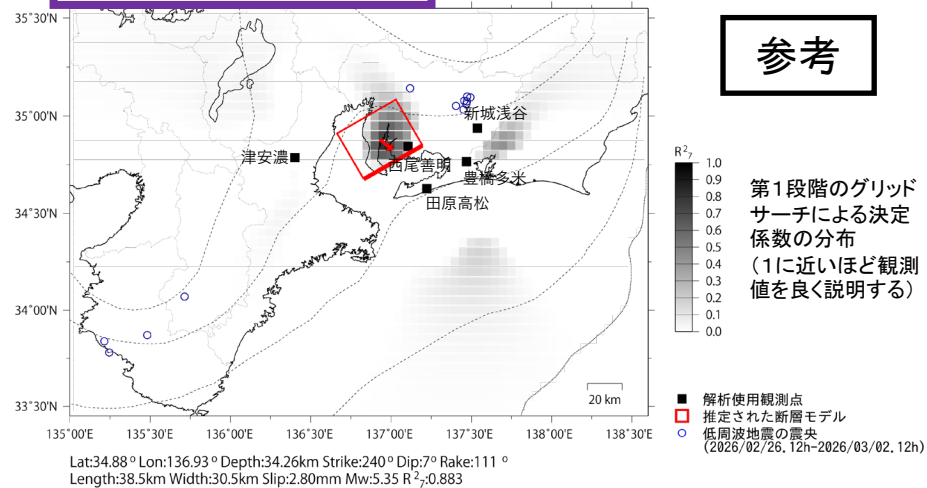
断層モデルの推定は、産総研の解析方法(板場ほか, 2012)を参考に以下の2段階で行う。  
・断層サイズを20km×20kmに固定し、位置を0.05度単位でグリッドサーチにより推定する。  
・その位置を中心にして、他の断層パラメータの最適解を求める。

# 紀伊半島中部から東海で観測した短期的ゆっくりすべり(2月9日～3月14日)

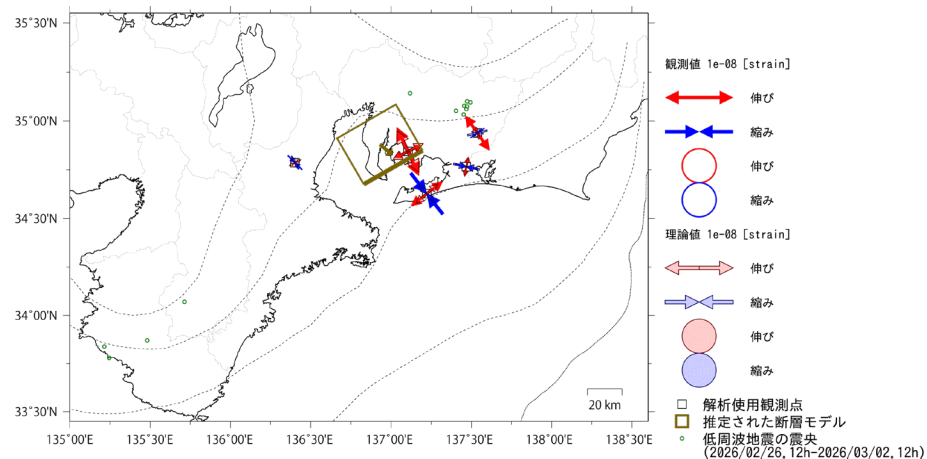
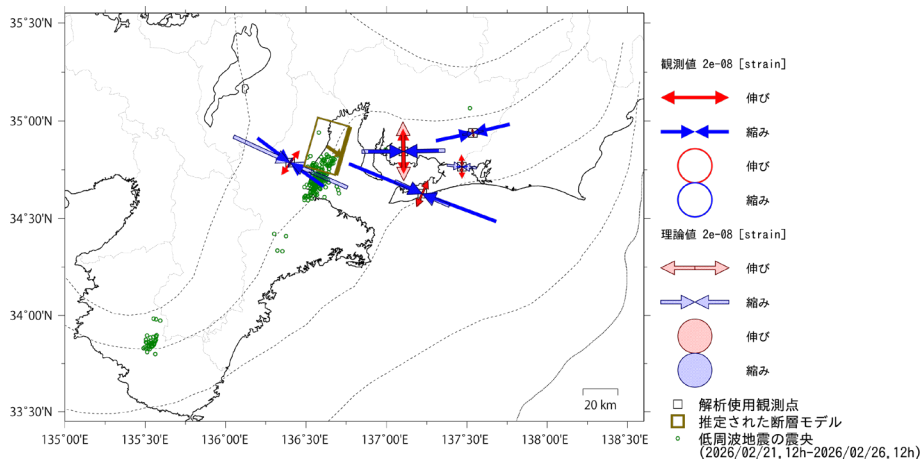
2026年2月21日12時～26日12時 Mw5.8



2026年2月26日12時～3月2日12時 Mw5.3



参考

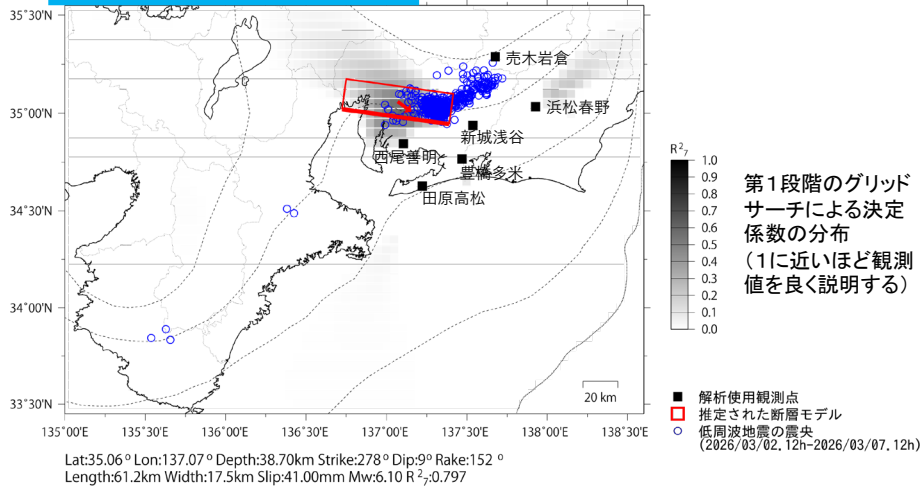


前々々頁～前々頁に示す観測点での変化量をもとにすべり推定を行ったところ、図の場所にゆっくりすべりを示す断層モデルが求まった。

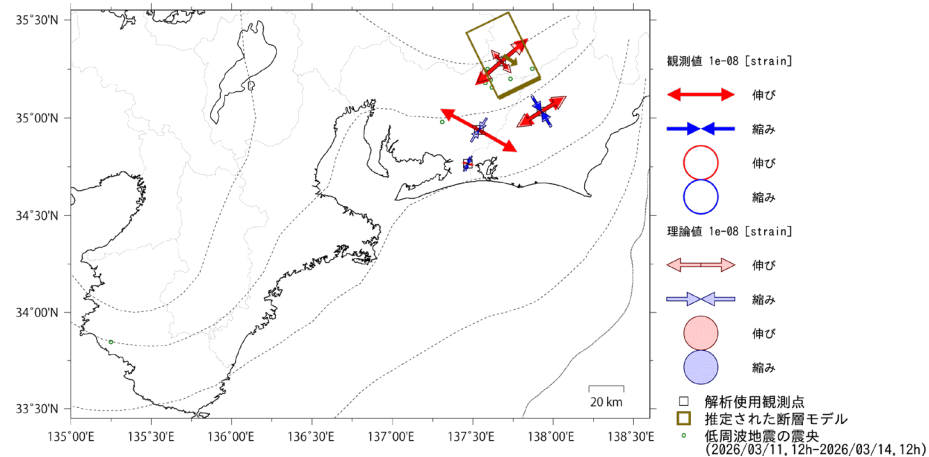
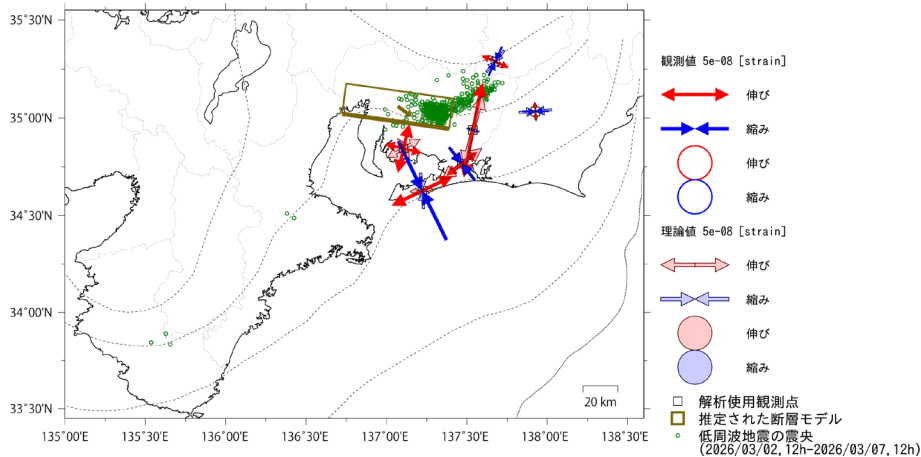
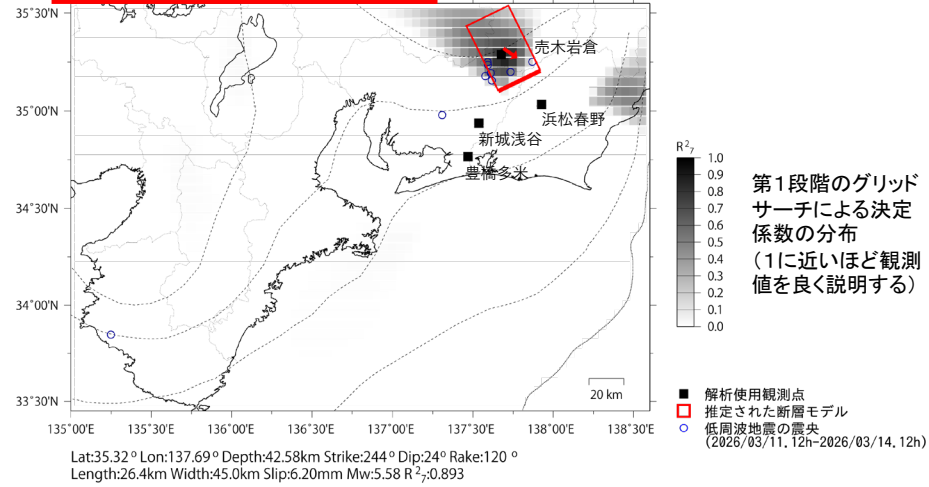
断層モデルの推定は、産総研の解析方法(板場ほか, 2012)を参考に以下の2段階で行う。  
 ・断層サイズを20km×20kmに固定し、位置を0.05度単位でグリッドサーチにより推定する。  
 ・その位置を中心にして、他の断層パラメータの最適解を求める。

# 紀伊半島中部から東海で観測した短期的ゆっくりすべり(2月9日～3月14日)

2026年3月2日12時～7日12時 Mw6.1



2026年3月11日12時～14日12時 Mw5.6



前々々々頁～前々々頁に示す観測点での変化量をもとにすべり推定を行ったところ、図の場所にゆっくりすべりを示す断層モデルが求まった。

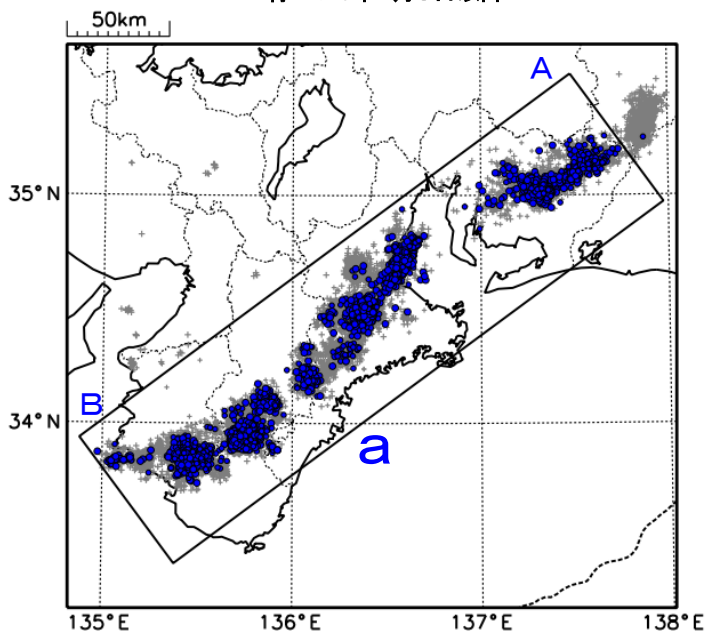
断層モデルの推定は、産総研の解析方法(板場ほか, 2012)を参考に以下の2段階で行う。  
 ・断層サイズを20km×20kmに固定し、位置を0.05度単位でグリッドサーチにより推定する。  
 ・その位置を中心にして、他の断層パラメータの最適解を求める。

# 紀伊半島西部の深部低周波地震(微動)活動と短期的ゆっくりすべり

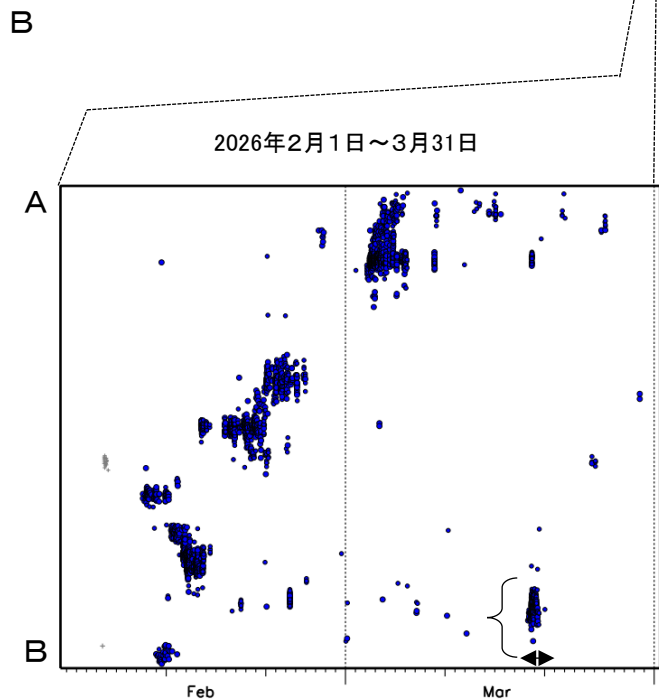
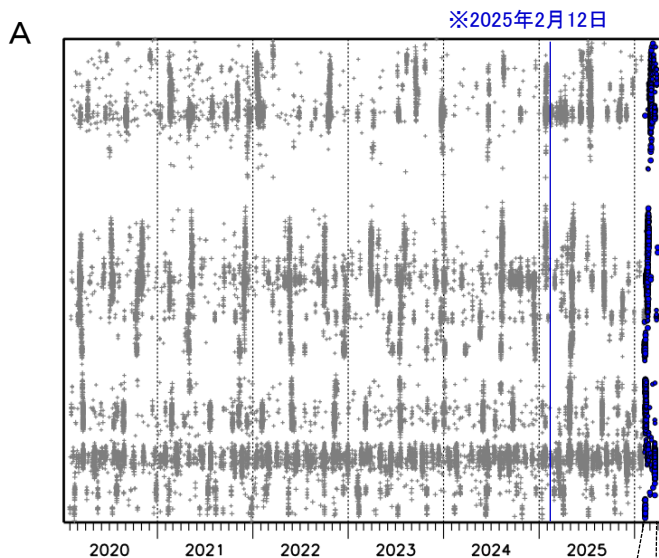
3月19日から21日にかけて紀伊半島西部で深部低周波地震(微動)を観測した。  
深部低周波地震(微動)活動とほぼ同期して、周辺に設置されている複数のひずみ計で地殻変動を観測した。これらは、短期的ゆっくりすべりに起因すると推定される。

## 深部低周波地震(微動)活動

震央分布図(2020年2月1日～2026年3月31日、  
深さ0～60km、Mすべて)  
灰: 2020年2月1日～2026年2月7日、  
青: 2026年2月8日以降



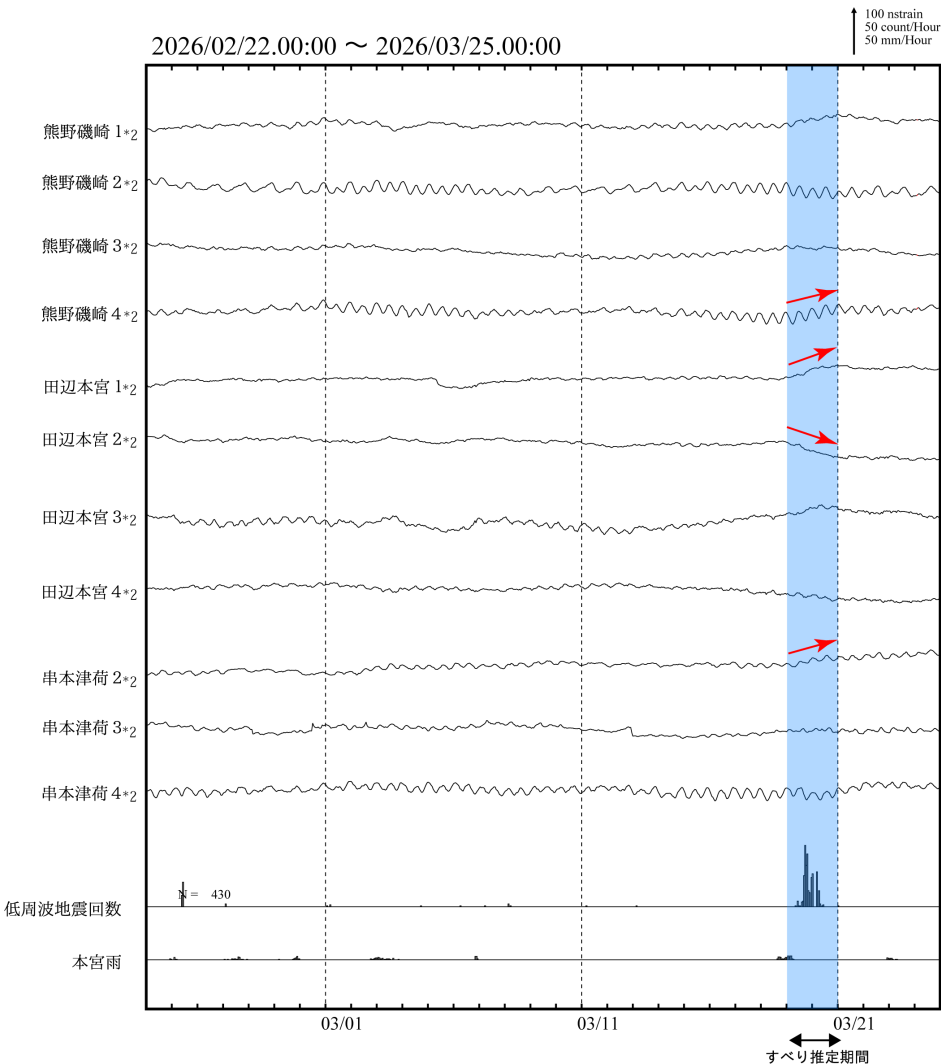
領域a内の時空間分布図(A-B投影)



※2025年2月12日から、深部低周波地震(微動)の検知手法の改善により、それ以前と比較して検知能力が変わっている。

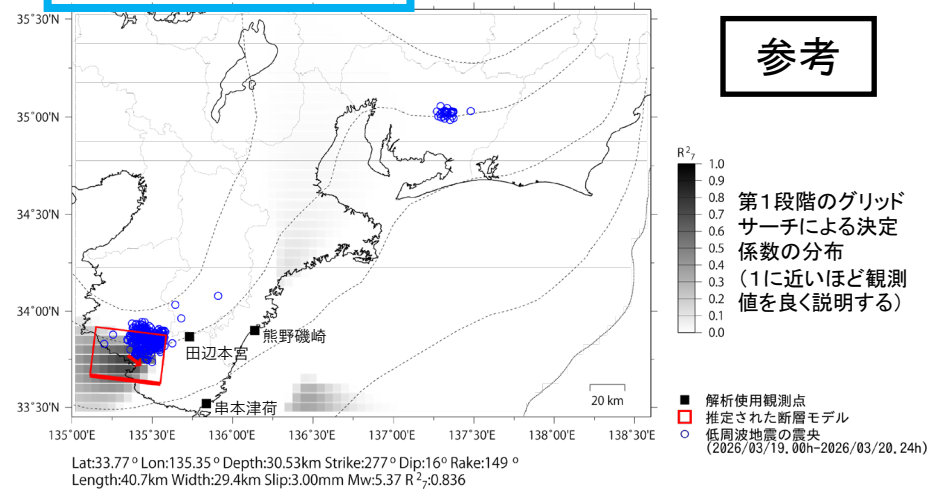
# 紀伊半島西部で観測した短期的ゆっくりすべり(3月19日～20日)

三重県から和歌山県で観測されたひずみ変化



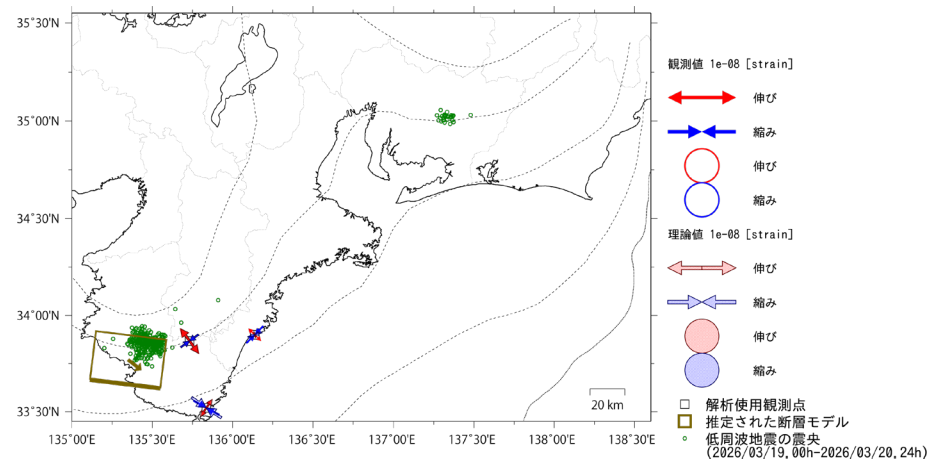
熊野磯崎、田辺本宮及び串本津荷は産業技術総合研究所のひずみ計である。解析に使用したチャンネルについては背景色を塗り、そのうち有意な変化が見られたチャンネルに赤矢印を描画している。低周波地震回数はゆっくりすべりを示す断層モデル周辺で発生したものを積算している。

2026年3月19日0時～20日24時 Mw5.4



参考

第1段階のグリッドサーチによる決定係数の分布 (1に近いほど観測値を良く説明する)



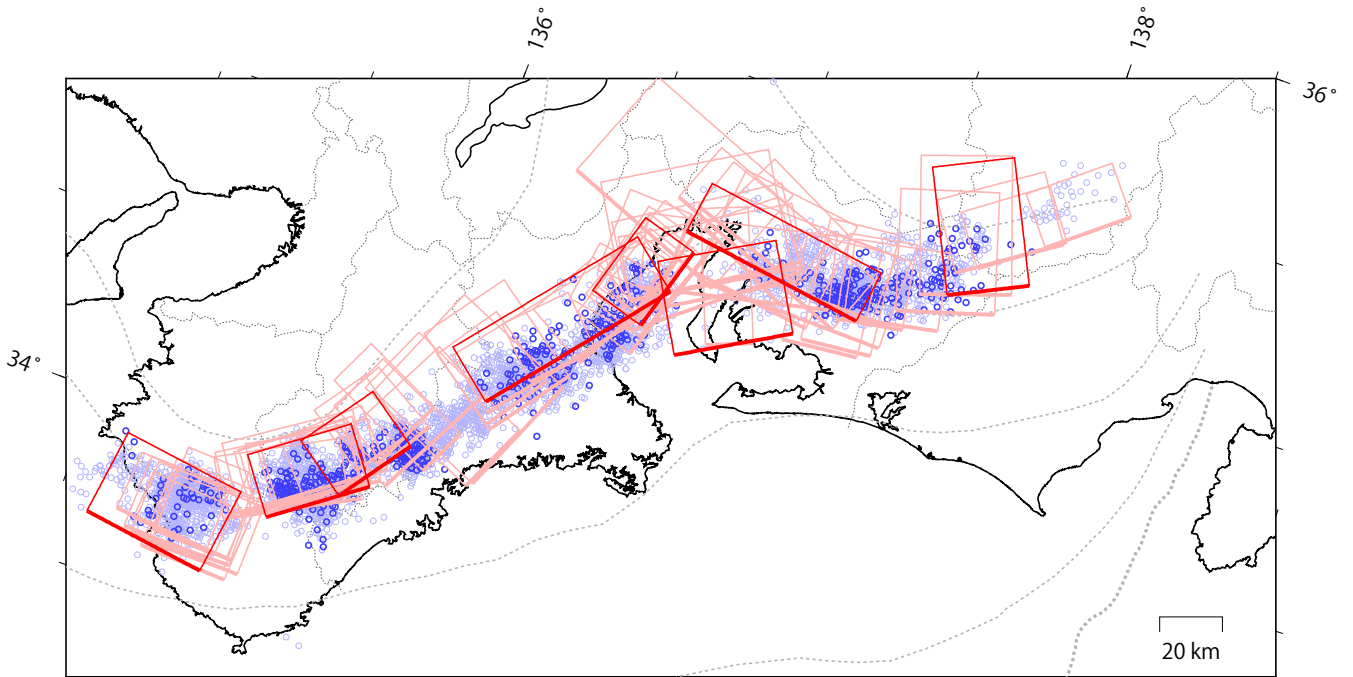
左図に示す観測点での変化量をもとにすべり推定を行ったところ、図の場所にゆっくりすべりを示す断層モデルが求まった。

断層モデルの推定は、産総研の解析方法(板場ほか, 2012)を参考に以下の2段階で行う。  
 ・断層サイズを20km×20kmに固定し、位置を0.05度単位でグリッドサーチにより推定する。  
 ・その位置を中心にして、他の断層パラメータの最適解を求める。

# 東海～紀伊半島 短期的ゆっくりすべりの活動状況

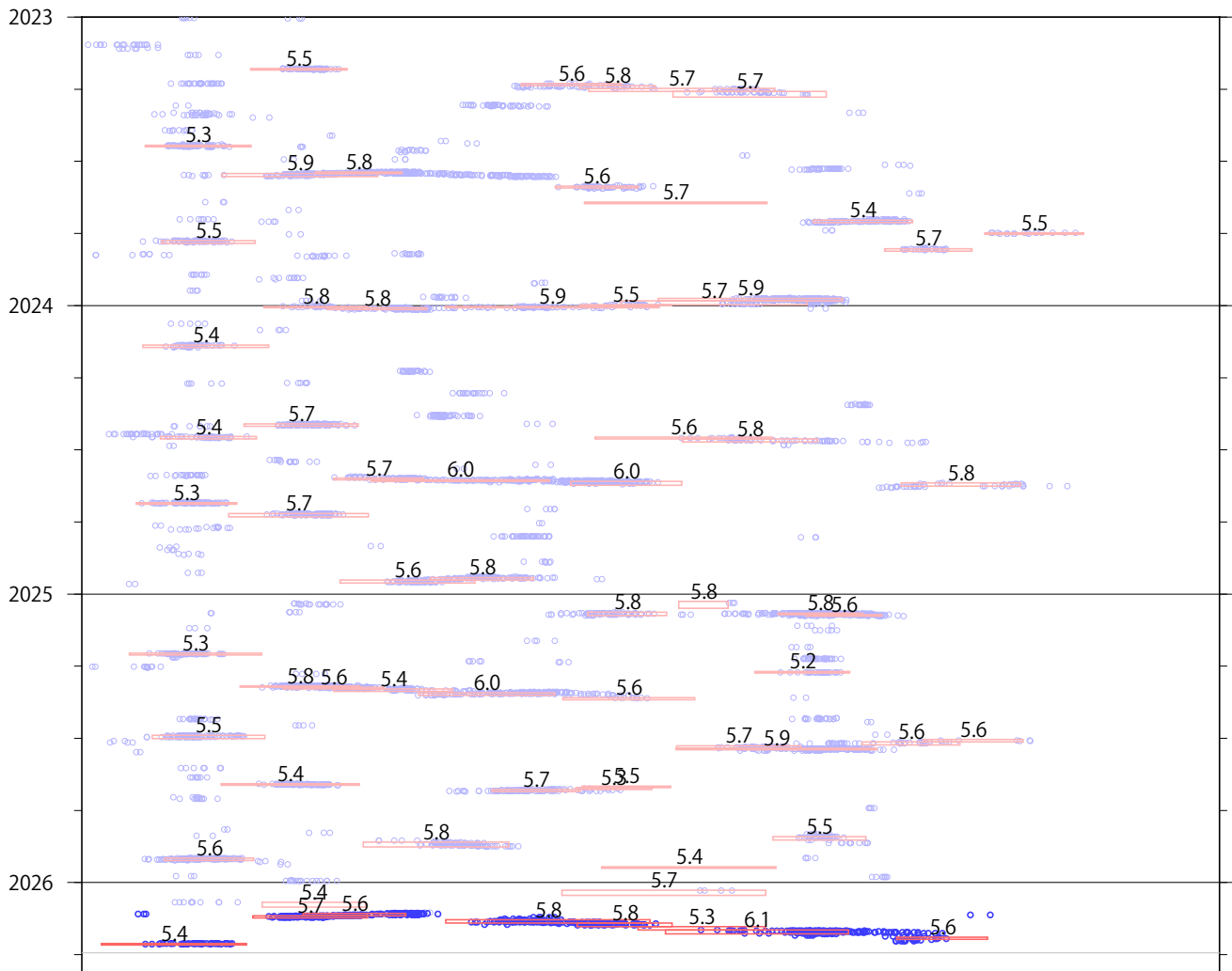
2023年1月1日～2026年3月31日

(2026年2月9日以降を濃く表示)



※破線は、フィリピン海プレート上面の等深線を示す。  
 ※赤矩形は、気象庁による短期的ゆっくりすべりの断層モデル（参考解を含む）を示す。

## 上図の時空間分布図



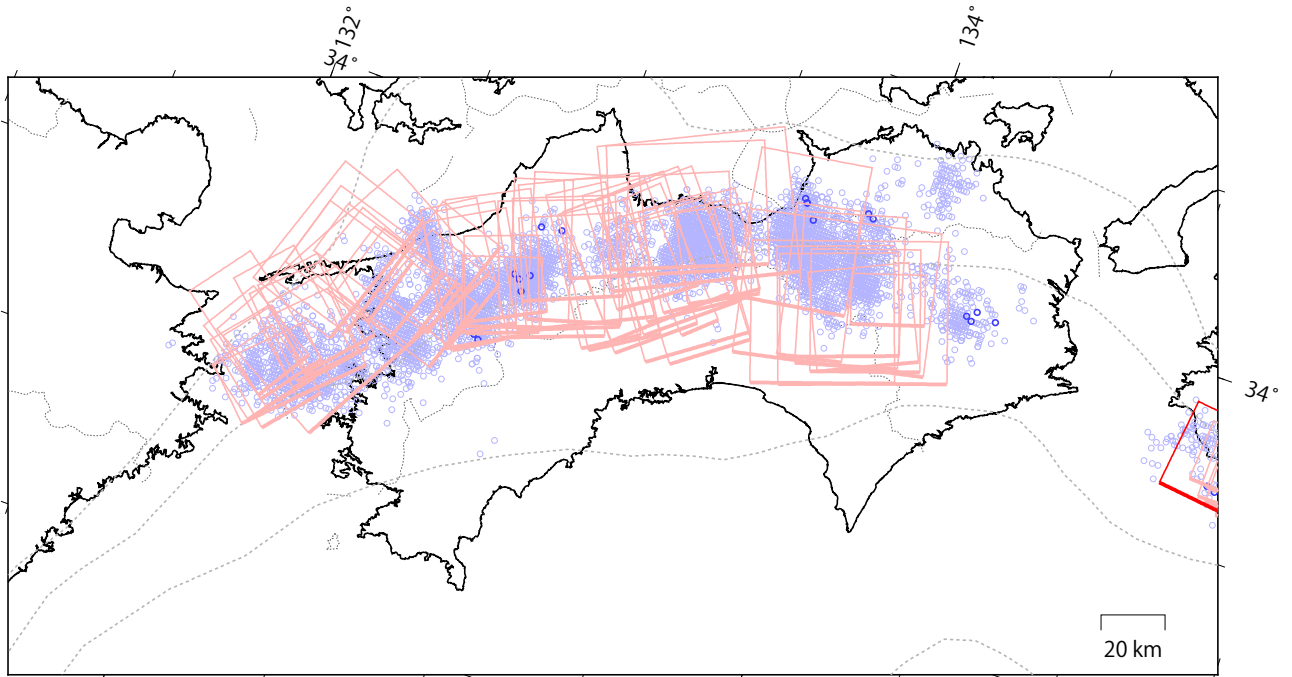
※短期的ゆっくりすべりの解析には、気象庁、産業技術総合研究所及び静岡県のデータを用いている。  
 ※赤矩形の上に表示されている数字は解析されたMwを示す。  
 ※青丸はエンベロープ相関法（防災科学技術研究所、東京大学地震研究所との共同研究による成果）で得られた低周波微動の震央を示す。  
 ※時空間分布図中の灰色線は最新データ日を示す。  
 ※2024年以前の短期的SSEは再解析を行った結果を反映している。

気象庁作成

# 四国 短期的ゆっくりすべりの活動状況

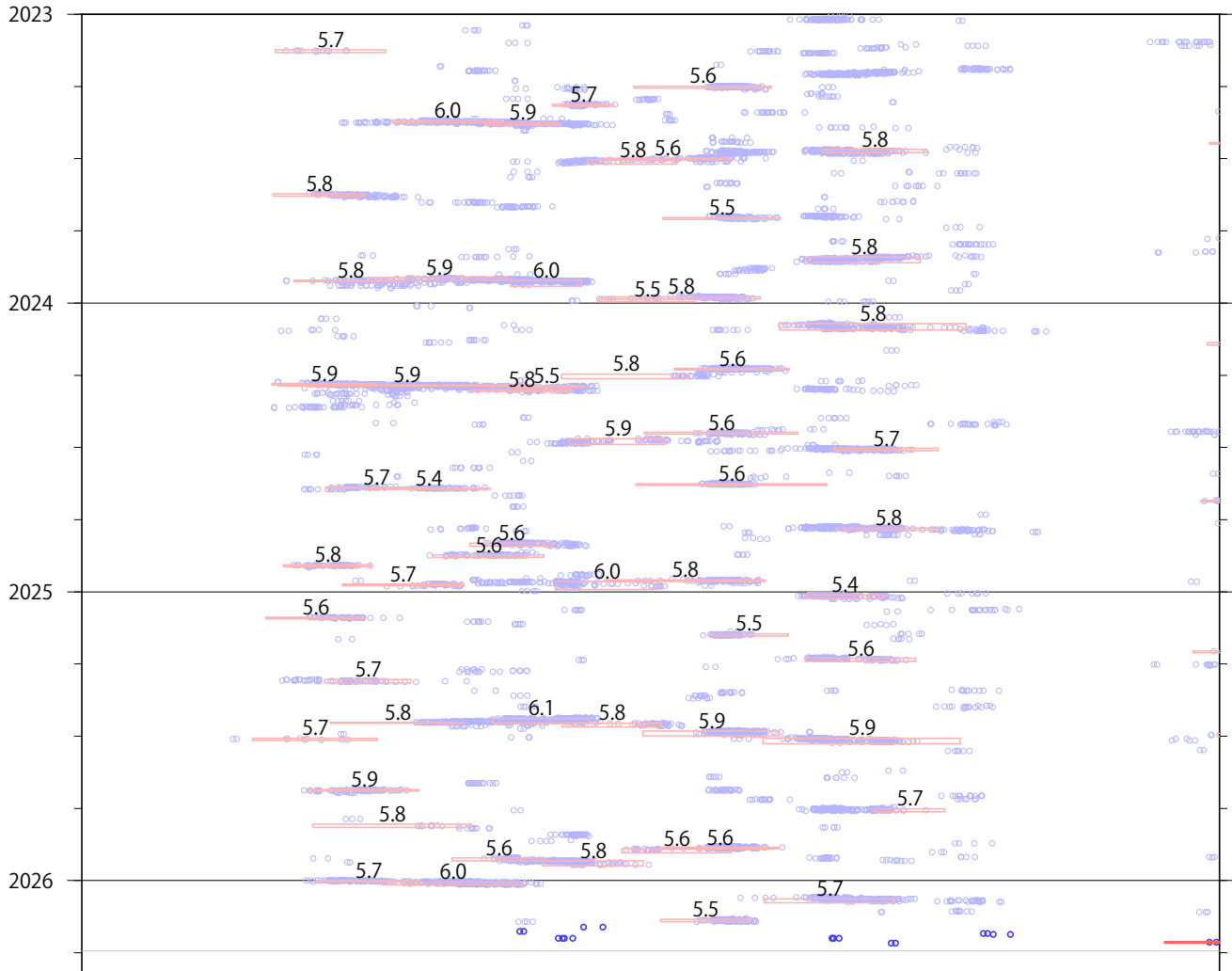
2023年1月1日～2026年3月31日

(2026年3月1日以降を濃く表示)



※破線は、フィリピン海プレート上面の等深線を示す。  
 ※赤矩形は、気象庁による短期的ゆっくりすべりの断層モデル（参考解を含む）を示す。

上図の時空間分布図



※短期的ゆっくりすべりの解析には、産業技術総合研究所のデータを用いている。  
 ※赤矩形の上に表示されている数字は解析されたMwを示す。  
 ※青丸はエンベロープ相関法（防災科学技術研究所、東京大学地震研究所との共同研究による成果）で得られた低周波微動の震央を示す。  
 ※時空間分布図中の灰色線は最新データ日を示す。  
 ※2024年以前の短期的SSEは再解析を行った結果を反映している。

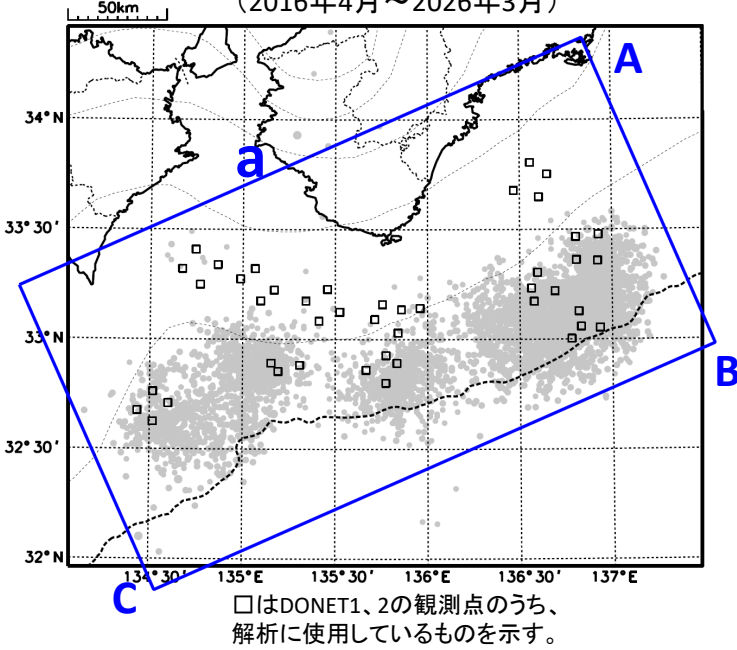
気象庁作成

# 三重県南東沖から四国沖における浅部低周波地震(微動)活動

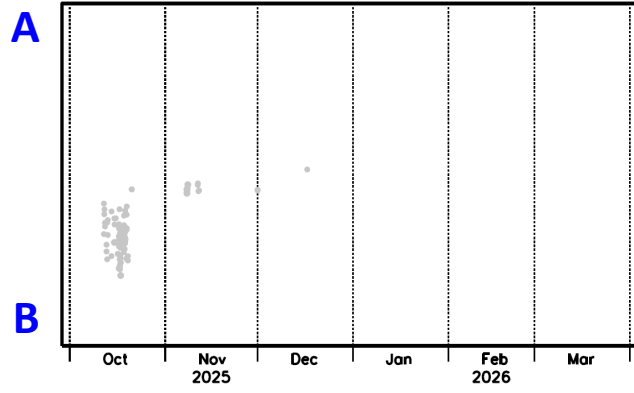
(震源の色) 灰色: 2016年4月~2026年2月、赤色: 2026年3月

## 震央分布図

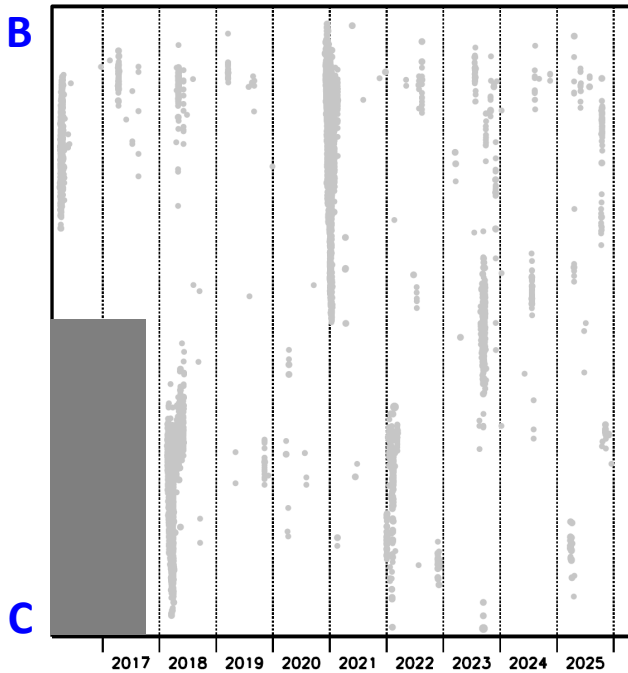
(2016年4月~2026年3月)



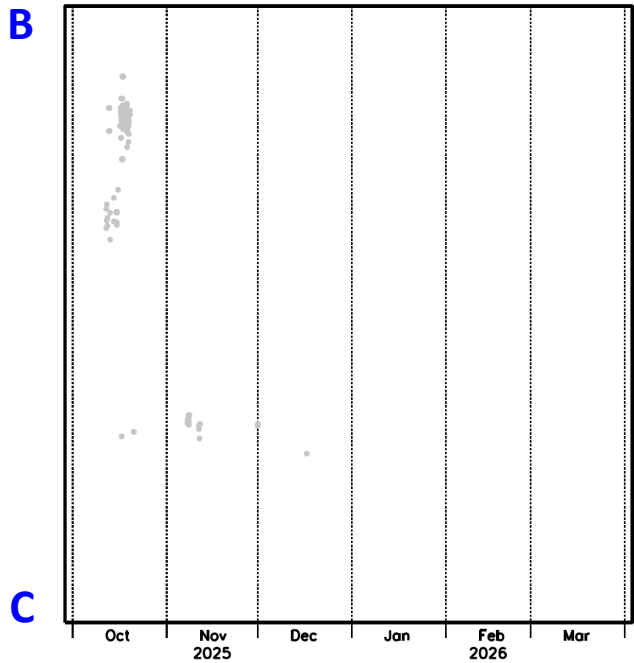
領域a内の時空間分布図(A-B投影)  
(2025年10月~2026年3月)



領域a内の時空間分布図(B-C投影)  
(2016年4月~2026年3月)



領域a内の時空間分布図(B-C投影)  
(2025年10月~2026年3月)



Tamaribuchi et al.(2022)の手法(\*)を用いて解析した。  
灰色のハッチは、DONET2未使用期間(2017年10月4日以前)を示す。

### 【※手法の概要】

- ・DONETで観測された地震波形(バンドパス帯域2-8Hz)を用いて、ハイブリッド法による解析を行い、浅部低周波地震(微動)を検出した。
- ・検出された地震(微動)に対し、クラスタリング処理(条件:震央距離20km以内かつ12時間以内に4個以上)を施した。

### 【利用上の留意事項】

- ・この資料は、上記の手法により自動検出された地震(微動)を表示しています。
- ・検出された地震(微動)には、浅部低周波地震(微動)活動以外のものが表示されることがあります。
- ・個々の震源の位置ではなく、震源の分布具合に着目して地震活動の把握にご利用ください。

気象庁作成

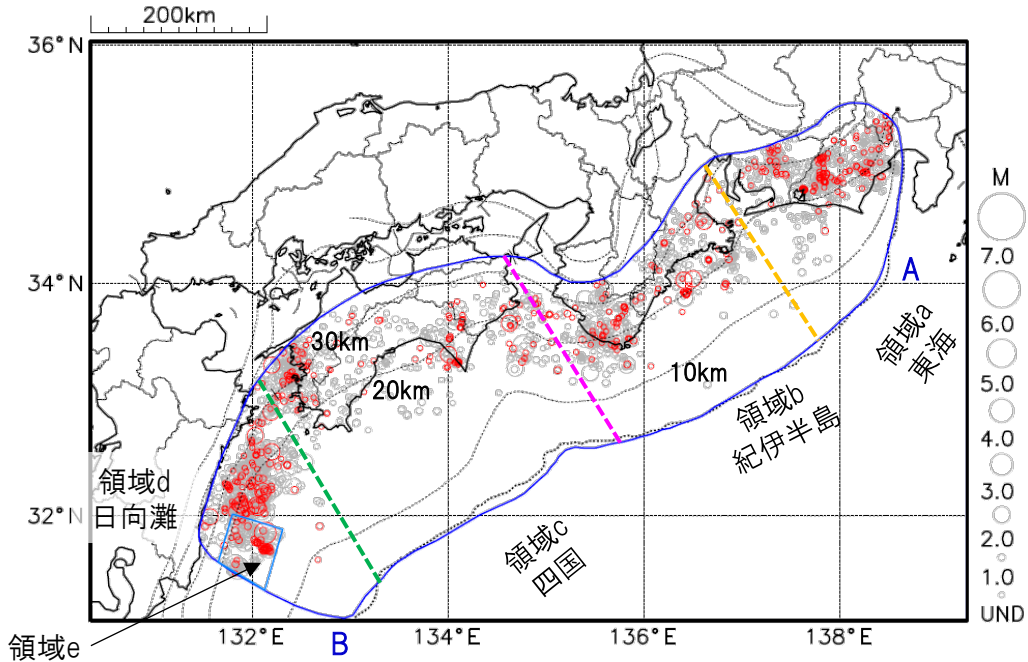
# プレート境界とその周辺の地震活動

フィリピン海プレート上面の深さから±8km未満の地震を表示している。

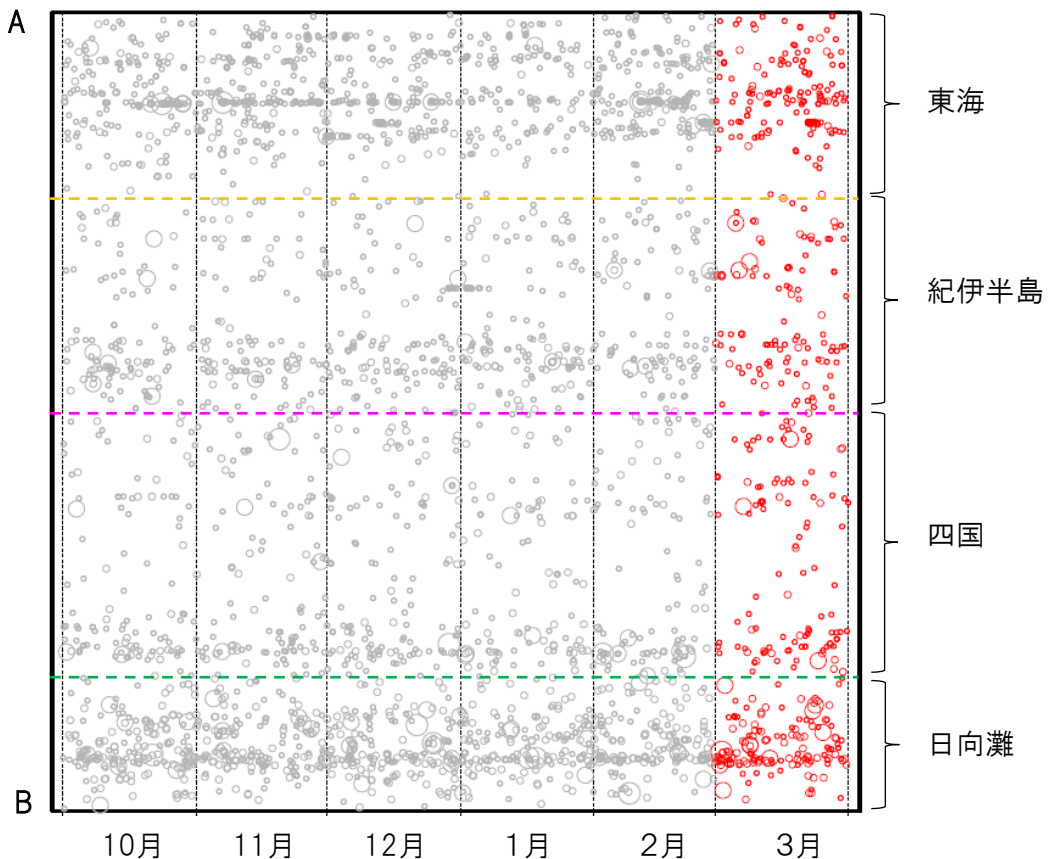
日向灘の領域e内のみ、深さ20km～35kmの地震を追加している。

震央分布図

(2025年10月1日～2026年3月31日、M全て、2026年3月の地震を赤く表示)



南海トラフ巨大地震の想定震源域内の時空間分布図(A-B投影)



・フィリピン海プレート上面の深さは、Baba et al.(2002)、Hirose et al.(2008)、Nakajima and Hasegawa(2007)による。震央分布図中の点線は10kmごとの等深線を示す。

・今期間の地震のうち、M3.2以上の地震で想定南海トラフ地震の発震機構解と類似の型の地震に吹き出しを付している。吹き出しの右下の数値は、フィリピン海プレート上面の深さからの差(+は浅い、-は深い)を示す。

・発震機構解の横に「S」の表記があるものは、精度がやや劣るものである。

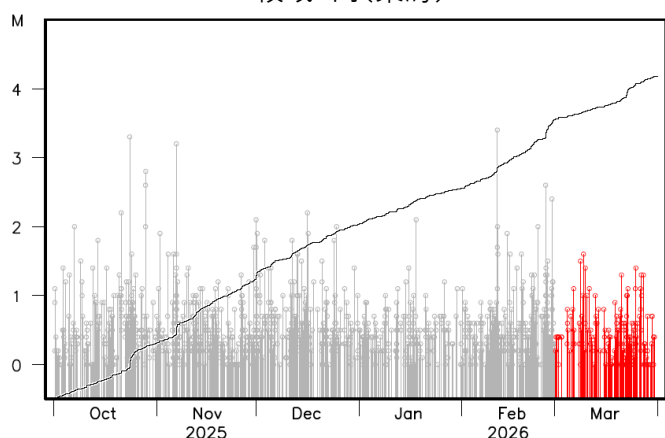
気象庁作成

# プレート境界とその周辺の地震活動

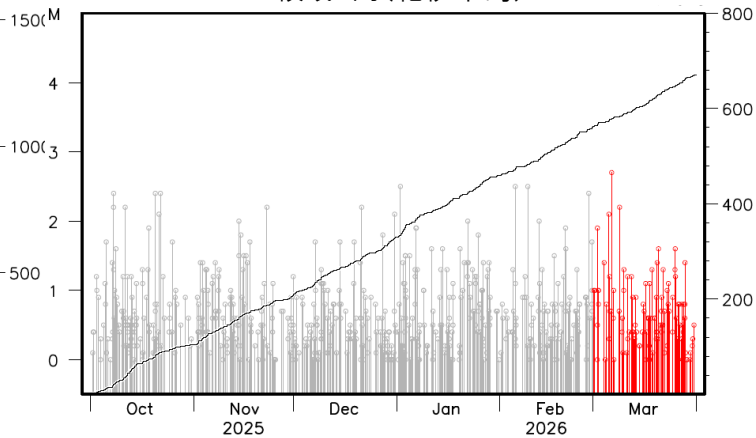
フィリピン海プレート上面の深さから±8km未満の地震を表示している。

震央分布図の各領域内のMT図・回数積算図  
(2025年10月1日～2026年3月31日、M全て、2026年3月の地震を赤く表示)

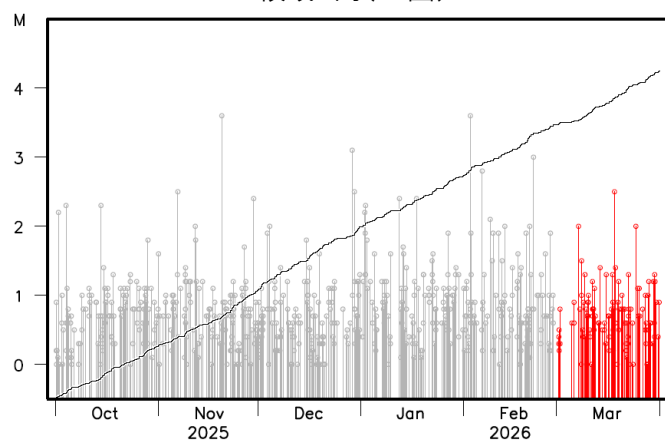
領域a内(東海)



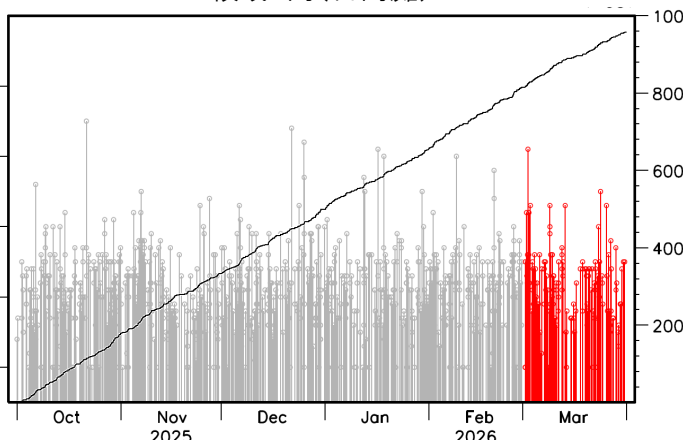
領域b内(紀伊半島)



領域c内(四国)



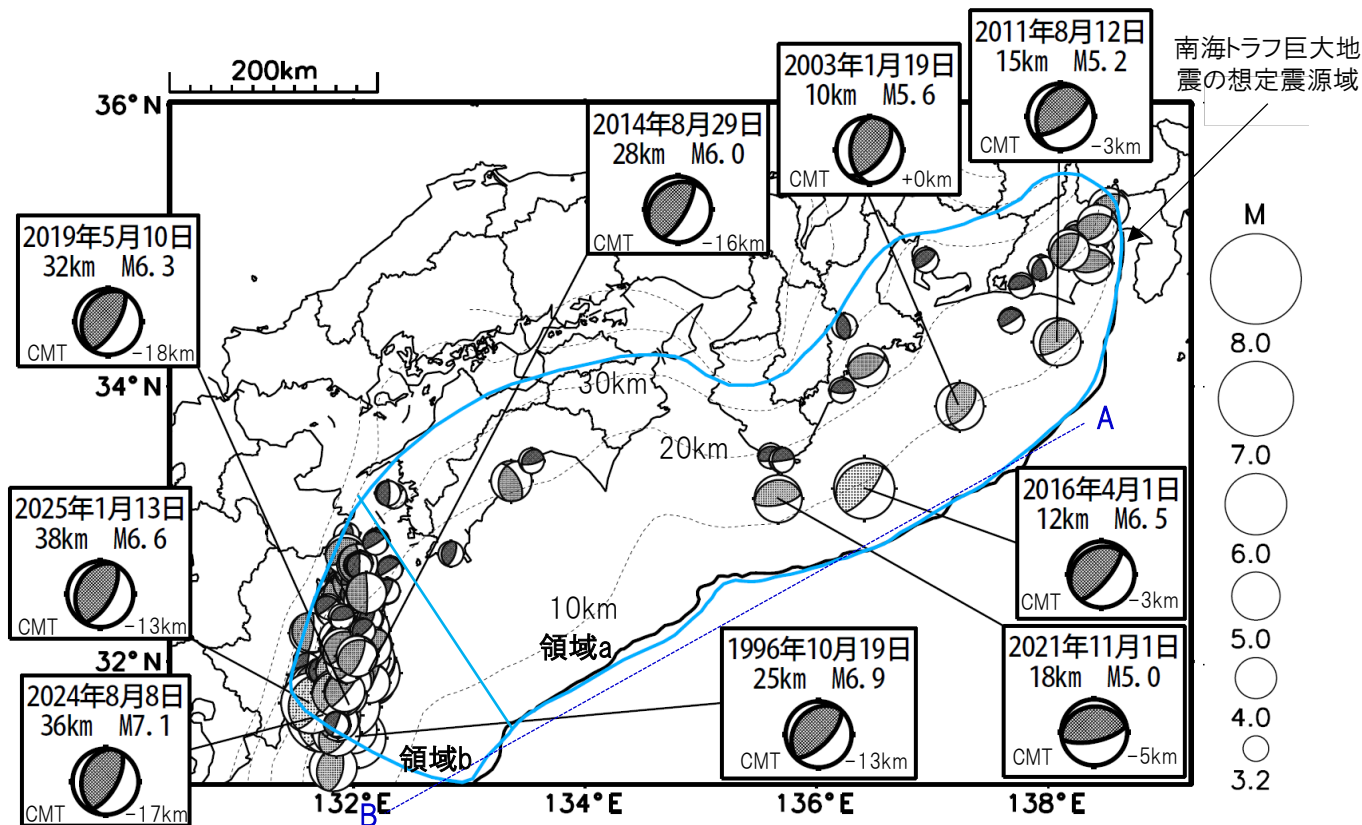
領域d内(日向灘)



※M全ての地震を表示していることから、検知能力未満の地震も表示しているため、回数積算図は参考として表記している。

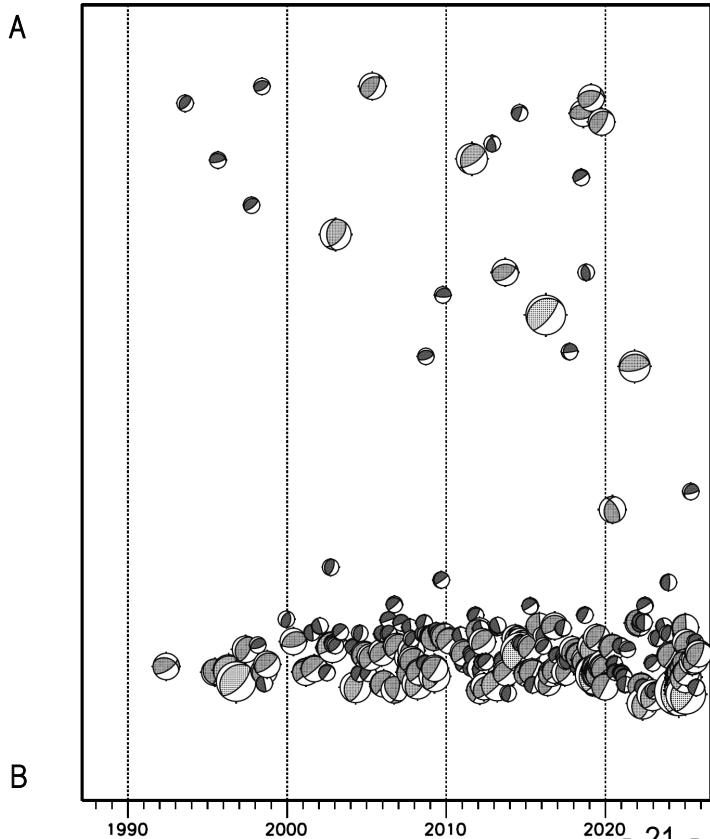
# 想定南海トラフ地震の発震機構解と類似の型の地震

震央分布図(1987年9月1日～2026年3月31日、M $\geq$ 3.2、2026年3月の地震を赤く表示)



- ・フィリピン海プレート上面の深さは、Baba et al.(2002)、Hirose et al.(2008)、Nakajima and Hasegawa(2007)による。震央分布図中の点線は10kmごとの等深線を示す。
- ・今期間に発生した地震(赤)、日向灘のM6.0以上、その他の地域のM5.0以上の地震に吹き出しを付けている。
- ・発震機構解の横に「S」の表記があるものは、精度がやや劣るものである。
- ・吹き出しの右下の数値は、フィリピン海プレート上面の深さからの差を示す。+は浅い、-は深いことを示す。
- ・吹き出しに「CMT」と表記した地震は、発震機構解と深さはCMT解による。Mは気象庁マグニチュードを表記している。
- ・発震機構解の解析基準は、解析当時の観測網等に応じて変遷しているため一定ではない。

震央分布図内の時空間分布図

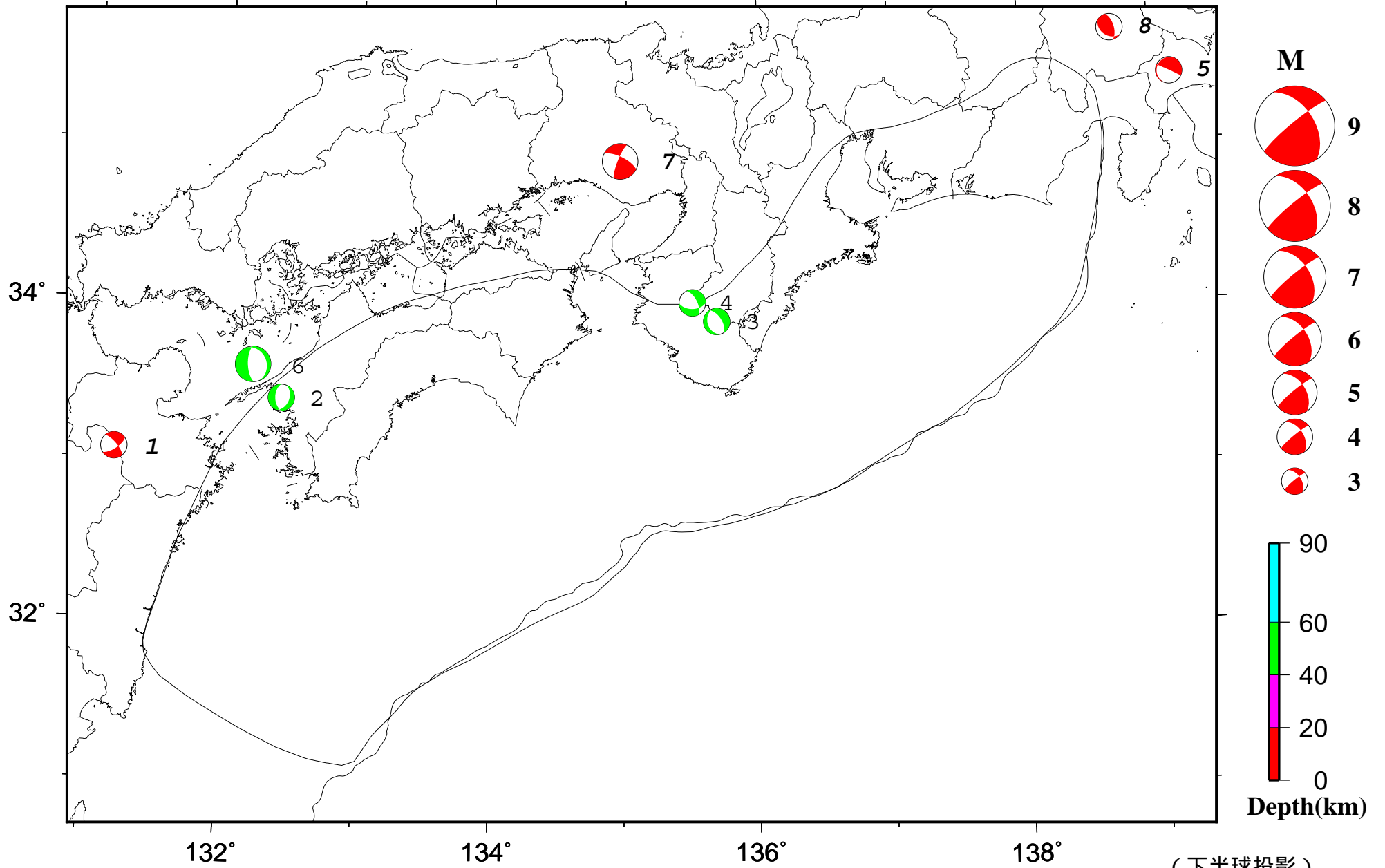


プレート境界型の地震と類似の型の発震機構解を持つ地震は以下の条件で抽出した。

**【抽出条件】**

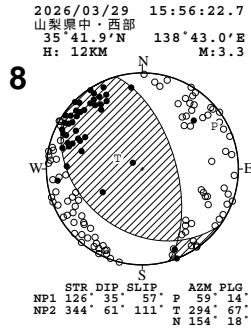
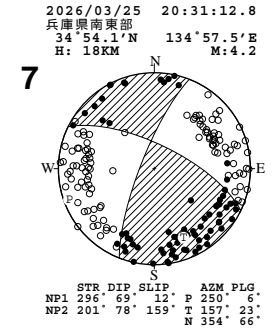
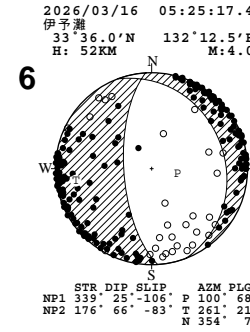
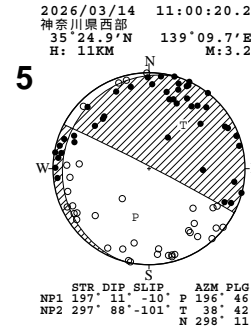
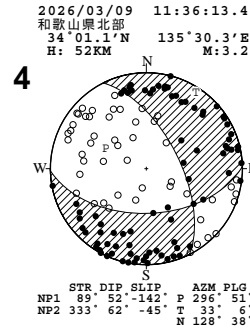
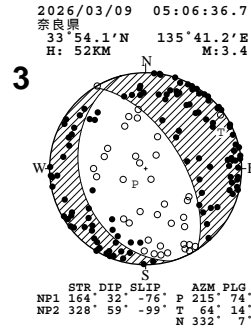
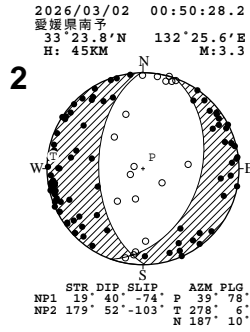
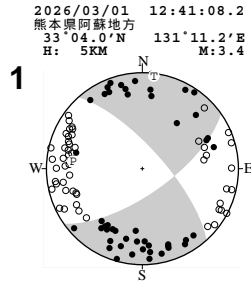
- ・M3.2以上の地震
- ・領域a内(南海トラフの想定最大規模の想定震源域内)で発生した地震
- ・発震機構解が以下の条件を全て満たしたものを抽出した。
  - P軸の傾斜角が45度以下
  - P軸の方位角が65度以上180度以下(※)
  - T軸の傾斜角が45度以上
  - N軸の傾斜角が30度以下
- ※以外の条件は、東海地震と類似の型を抽出する条件と同様
- ・発震機構解は、CMT解と初動解の両方で検索をした。
- ・同一の地震で、CMT解と初動解の両方がある場合はCMT解を選択している。
- ・東海地方から四国地方(領域a)は、フィリピン海プレート上面の深さから±10km未満の地震のみ抽出した。日向灘(領域b)は、+10km～20km未満の震源を抽出した。CMT解はセントロイドの深さを使用した。

気象庁作成



(下半球投影)  
[気象庁作成]

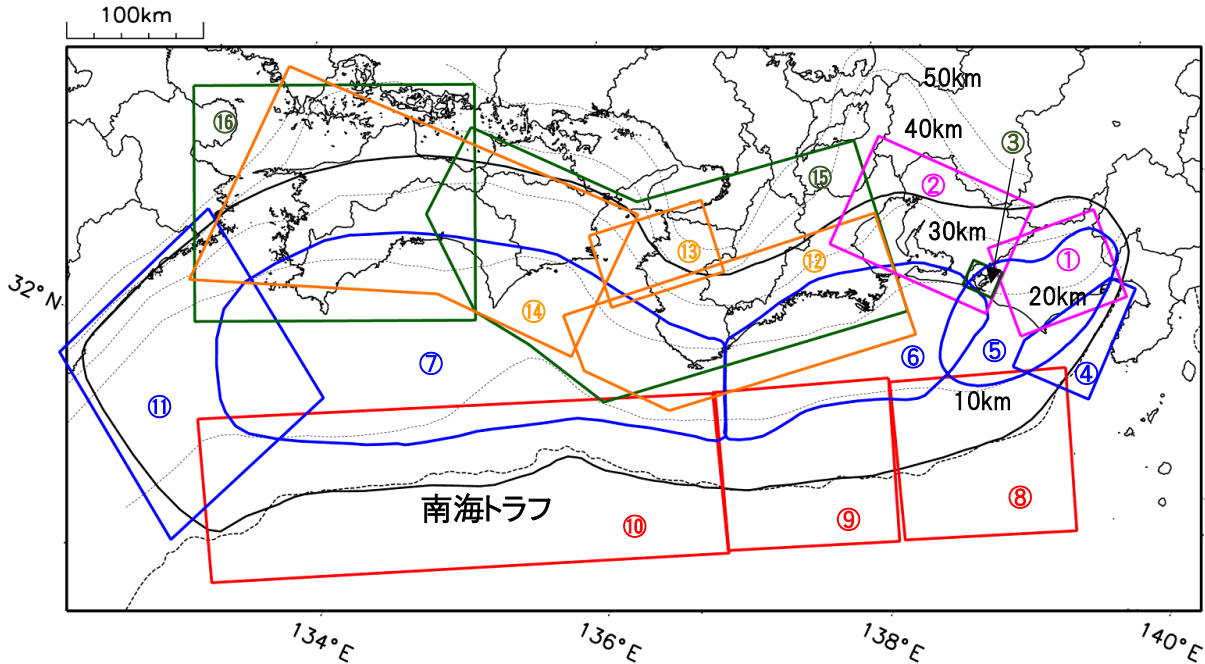
# 南海トラフ沿いとその周辺の初動発震機構解 ( 2 )



( 下半球投影 )  
[ 気象庁作成 ]

# 南海トラフ巨大地震の想定震源域とその周辺の地震活動状況

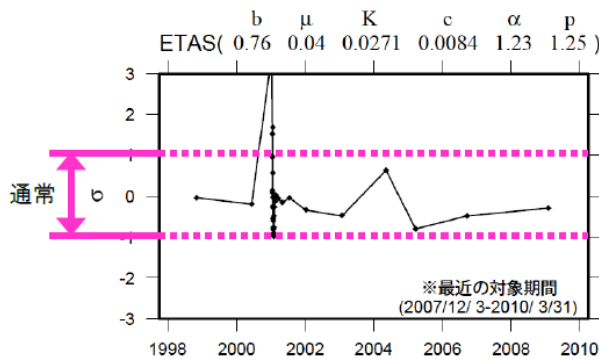
## ◆地震活動状況の監視・評価を行っている領域



- \* 活動の監視・評価を行っている領域に番号を付している。
- \* Baba et al.(2002)、Hirose et al.(2008)、Nakajima and Hasegawa(2007)によるプレート境界の等深線を破線で示す。
- \* 黒色実線は、南海トラフ巨大地震の想定震源域を示す。

## ◆監視・評価に使用している指標等について

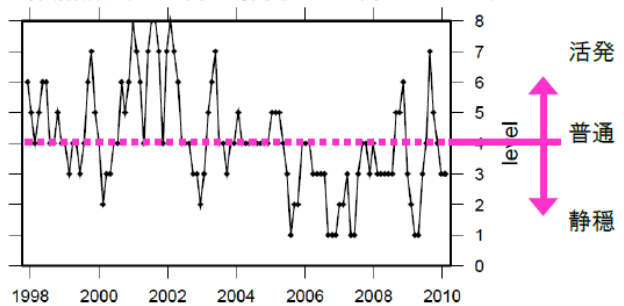
ETAS( $\sigma$ 値) …理論上の地震活動からのずれ



地震活動指数

…基準期間の活動と比較し、活発か静穏かを示す指標

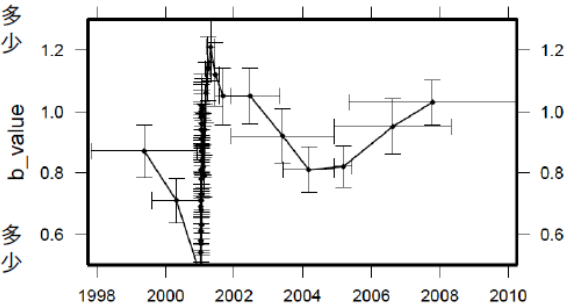
活動指数 (120日間の時間窓を40日間ずつシフト)



b値 …地震の規模 (M) の相対分布

小さい地震 多  
大きい地震 少

b値 (地震数100個を50個ずつシフト)



大きい地震 多  
小さい地震 少

地震回数の指数化

指数	確率 (%)	地震数
8	1	多い
7	4	やや多い
6	10	
5	15	ほぼ平常
4	40	
3	15	やや少ない
2	10	
1	4	少ない
0	1	

# 南海トラフ巨大地震の想定震源域とその周辺の地震活動指数

2026年3月31日

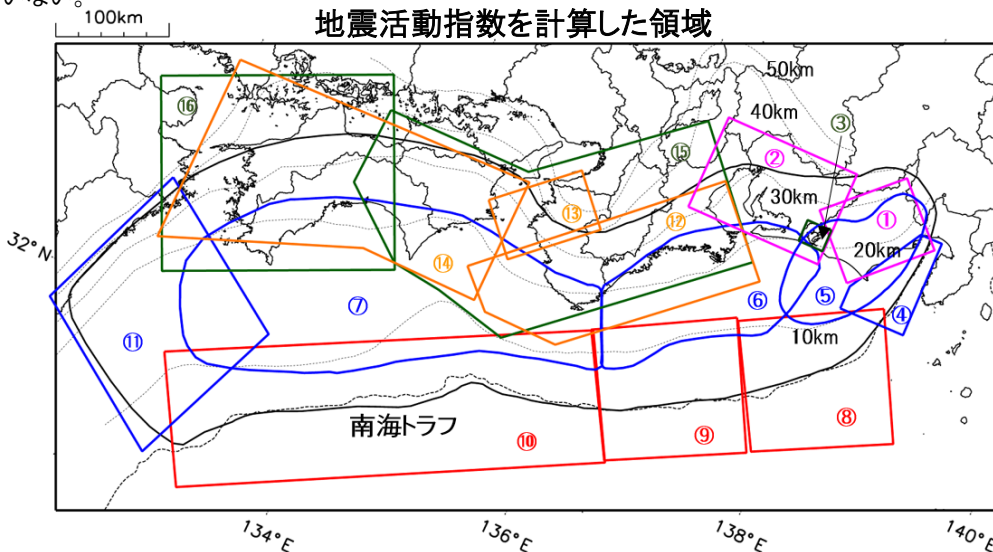
領域	①静岡県 中西部		②愛知県		③浜名湖 周辺	④駿河 湾	⑤東海	⑥東南 海	⑦南海
	地	プ	地	プ	プ	全	全	全	全
地震活動指数	4	1	4	4	4	4	3	3	4
平均回数	16.4	18.1	26.9	13.8	13.1	13.1	17.9	19.6	21.6
MLきい値	1.1		1.1		1.1	1.4	1.5	2.0	2.0
クラスタ 除去	距離	3km		3km		3km	10km	10km	10km
	日数	7日		7日		7日	10日	10日	10日
対象期間	60日	90日	60日	30日	360日	180日	90日	360日	90日
深さ	0~ 30km	0~ 60km	0~ 30km	0~ 60km	0~ 60km	0~ 60km	0~ 60km	0~ 100km	0~ 100km

領域	南海トラフ沿い		⑪日向 灘	⑫紀伊 半島	⑬和歌 山	⑭四国	⑮紀伊半 島	⑯四国
	⑧東側	⑩西側						
	全	全						
地震活動指数	6	3	4	4	5	4	4	4
平均回数	13.4	14.3	21.4	22.5	41.0	31.3	27.8	28.6
MLきい値	2.5	2.5	2.0	1.5	1.5	1.5	1.5	1.5
クラスタ 除去	距離	10km	10km	10km	3km	3km	3km	3km
	日数	10日	10日	10日	7日	7日	7日	7日
対象期間	720日	360日	60日	120日	60日	90日	30日	30日
深さ	0~ 100km	0~ 100km	0~ 100km	0~ 20km	0~ 20km	0~ 20km	20~ 100km	20~ 100km

\* 基準期間は、全領域1997年10月1日～2026年3月31日

\* 領域欄の「地」は地殻内、「プ」はフィリピン海プレート内で発生した地震であることを示す。ただし、震源の深さから便宜的に分類しただけであり、厳密に分離できていない場合もある。「全」は浅い地震から深い地震まで全ての深さの地震を含む。

\* ⑨の領域(三重県南東沖)は、2004年9月5日以降の地震活動の影響で、地震活動指数を正確に計算できないため、掲載していない。



## 地震活動指数と地震数

地震回数の指数化		
指数	確率 (%)	地震数
8	1	多い
7	4	
6	10	やや多い
5	15	
4	40	ほぼ平常
3	15	
2	10	やや少ない
1	4	
0	1	少ない

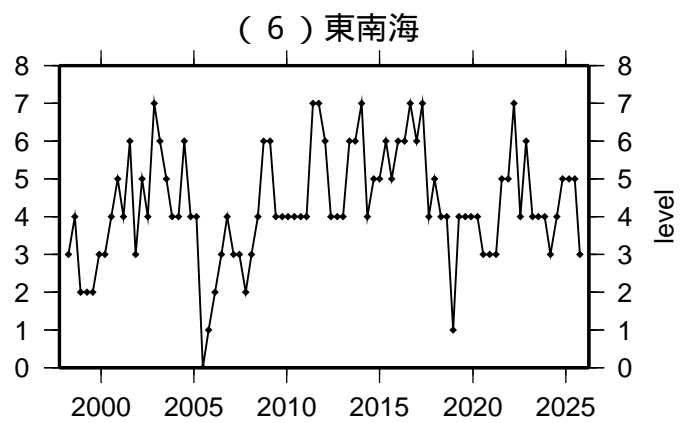
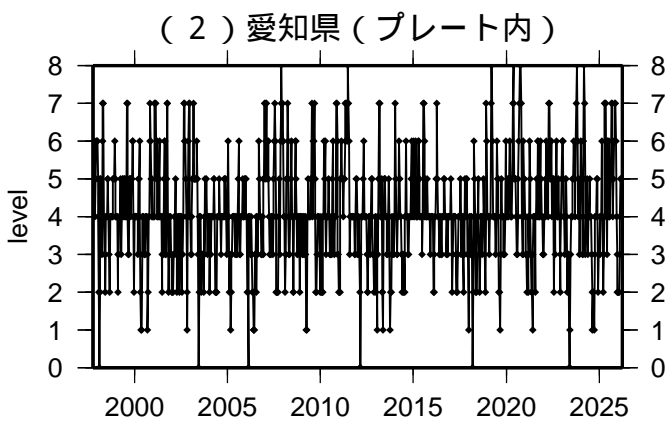
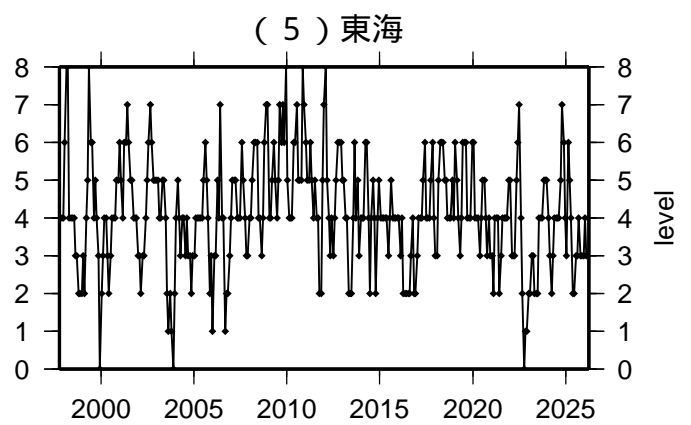
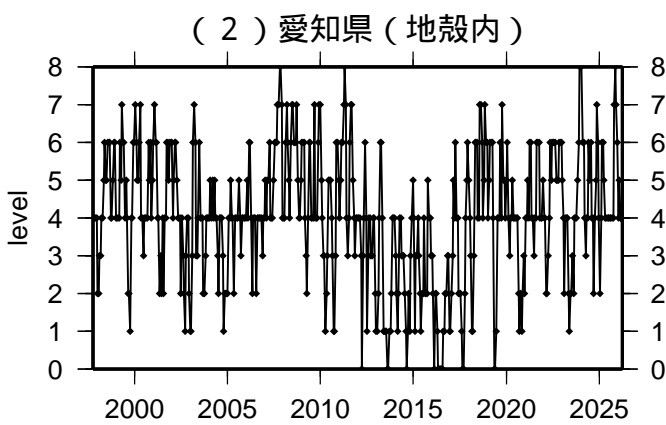
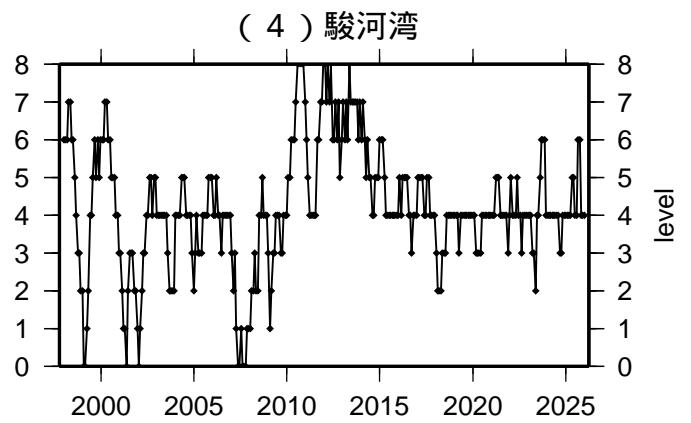
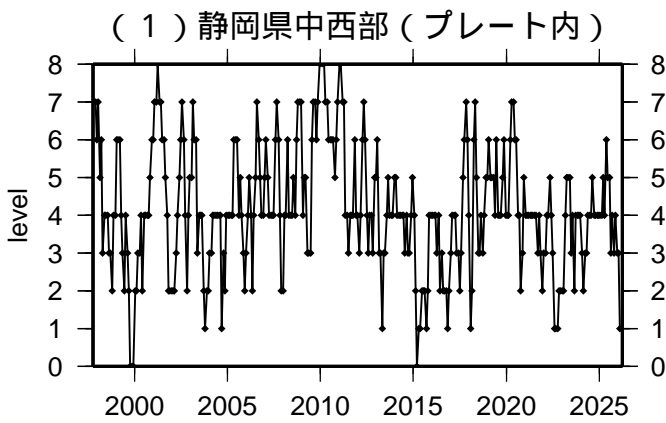
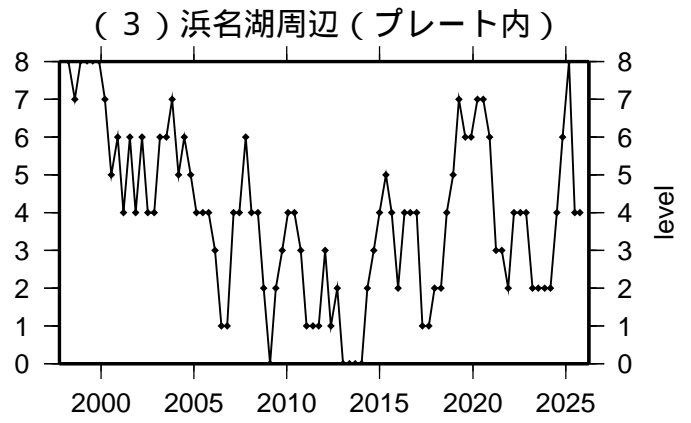
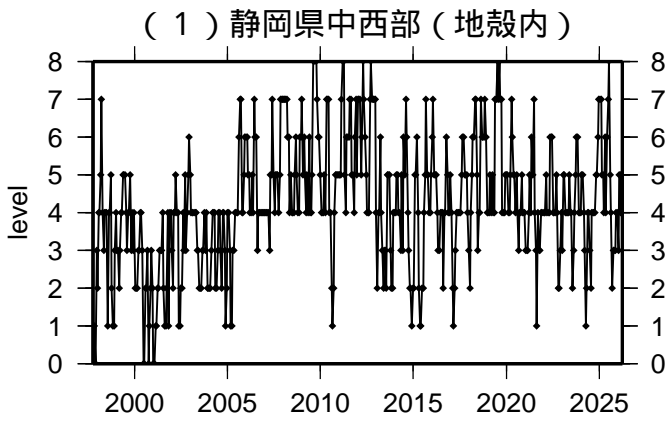
\* 黒色実線は、南海トラフ巨大地震の想定震源域を示す。

\* Baba et al.(2002)、Hirose et al.(2008)、Nakajima and Hasegawa(2007)によるプレート境界の等深線を破線以示す。

気象庁作成

# 地震活動指数一覧

2026年03月31日



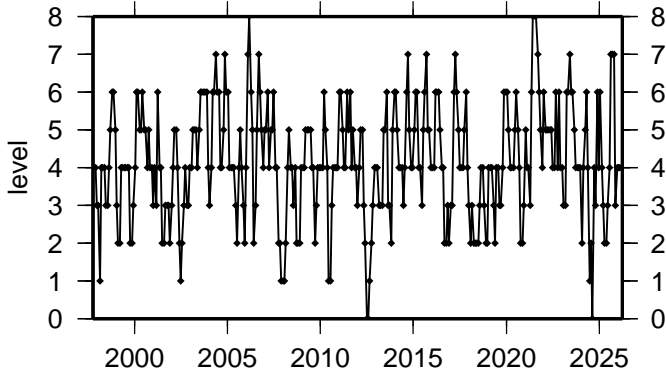
活動指数	0	1	2	3	4	5	6	7	8
確率 (%)	1	4	10	15	40	15	10	4	1
地震数	少	←	←	←	←	←	←	←	多

気象庁作成

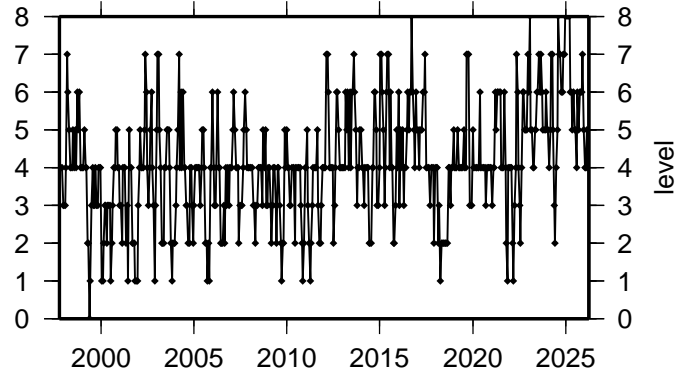
# 地震活動指数一覽

2026年03月31日

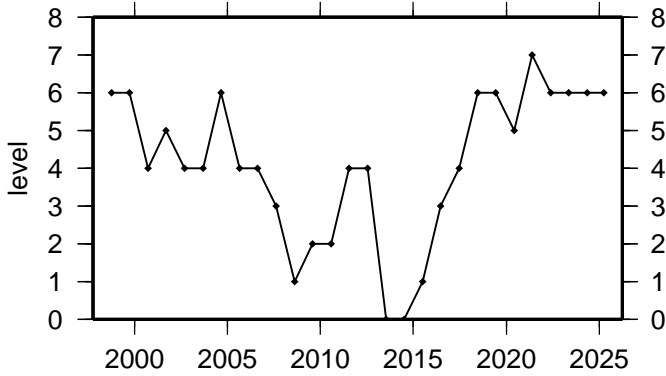
( 7 ) 南海



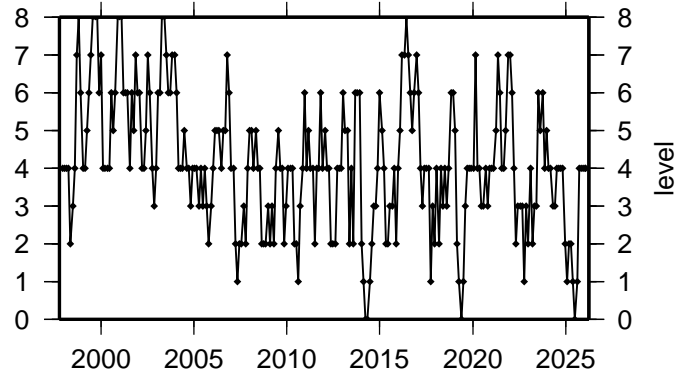
( 11 ) 日向灘



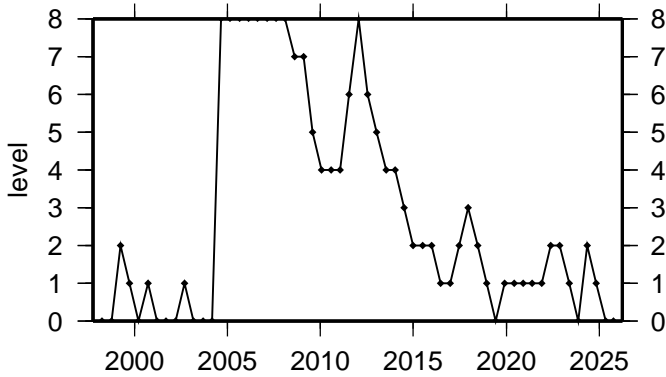
( 8 ) 南海トラフ沿い(東側)



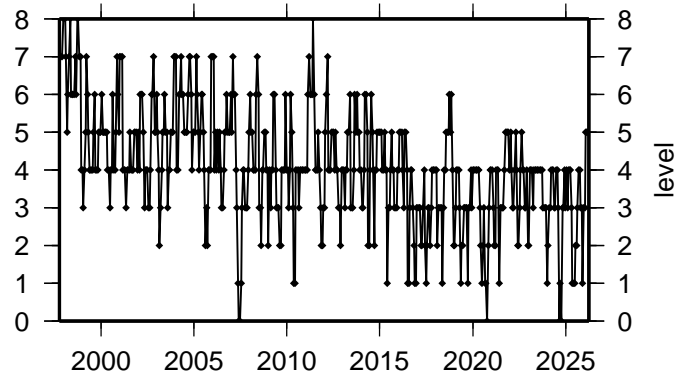
( 12 ) 紀伊半島(地殻内)



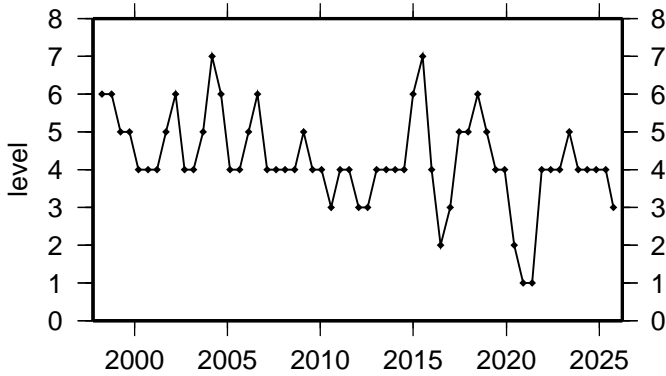
( 9 ) 南海トラフ沿い(三重県沖)



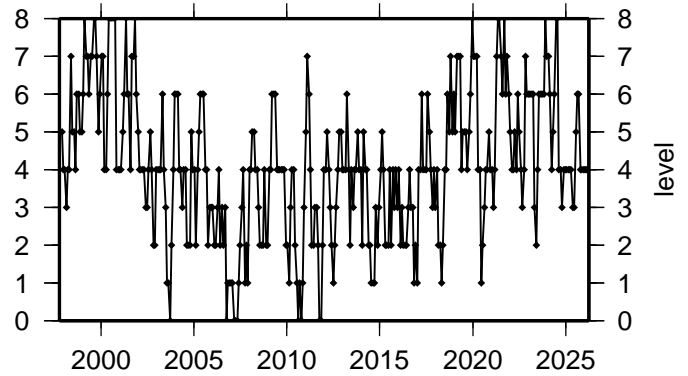
( 13 ) 和歌山(地殻内)



( 10 ) 南海トラフ沿い(西側)

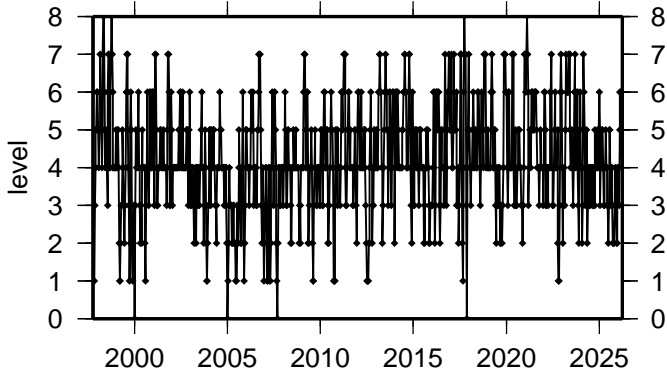


( 14 ) 四国(地殻内)

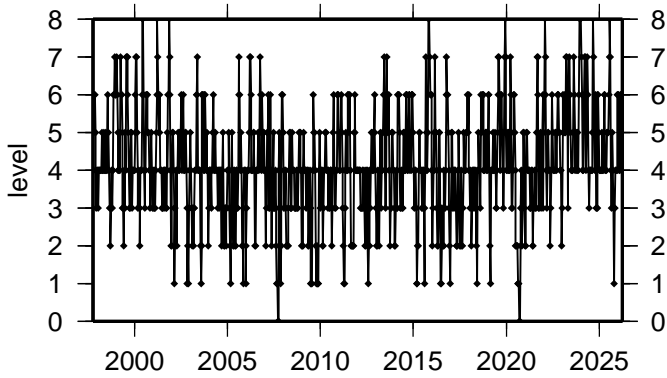


活動指数	0	1	2	3	4	5	6	7	8
確率(%)	1	4	10	15	40	15	10	4	1
地震数	少	←	←	←	←	←	←	←	多

( 1 5 ) 紀伊半島 (プレート内)



( 1 6 ) 四国 (プレート内)



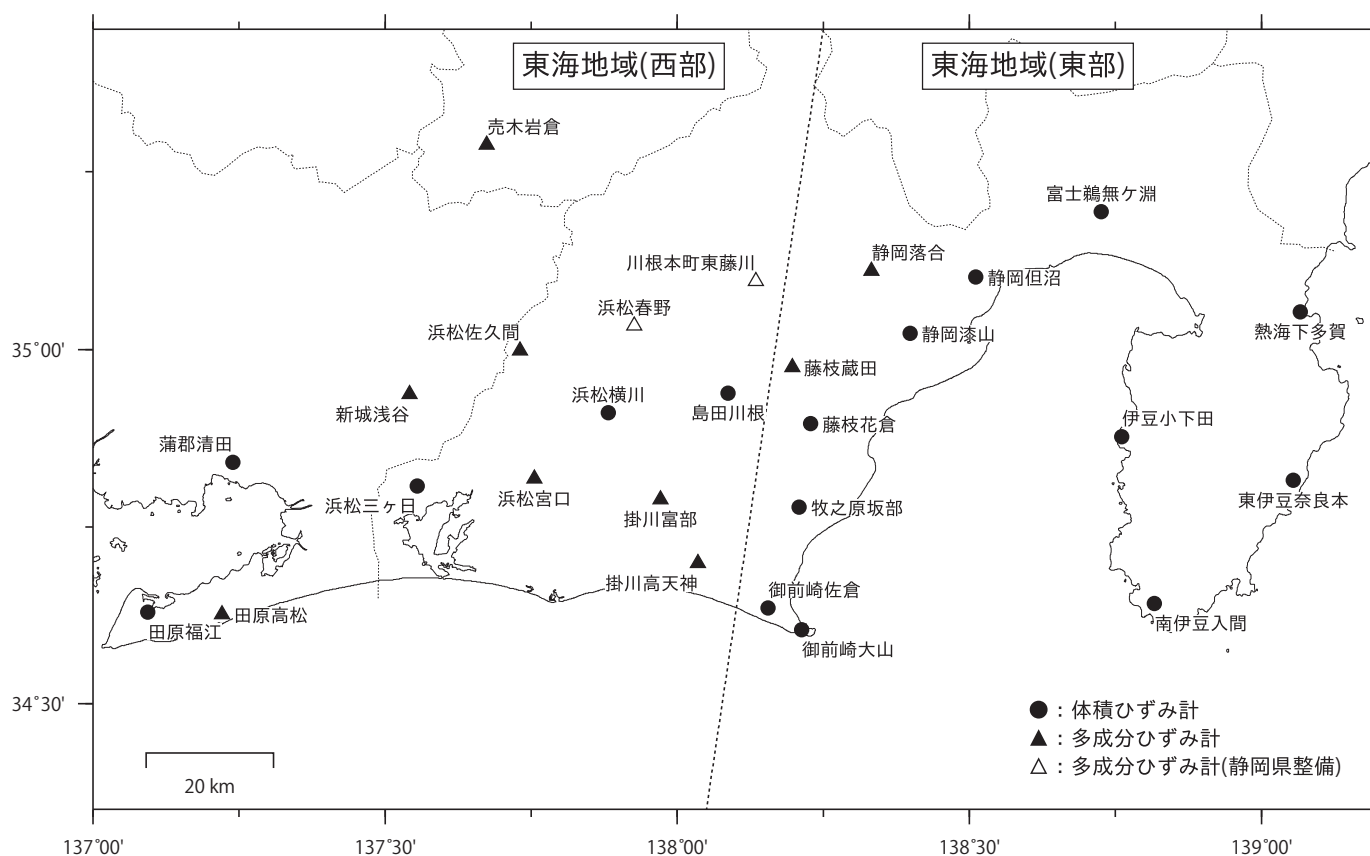
活動指数	0	1	2	3	4	5	6	7	8
確率 (%)	1	4	10	15	40	15	10	4	1
地震数	少	← 平常		多					

## ひずみ計による観測結果（2025年10月1日～2026年3月31日）

短期的ゆっくりすべりに起因すると見られる次の地殻変動がひずみ計で観測された。

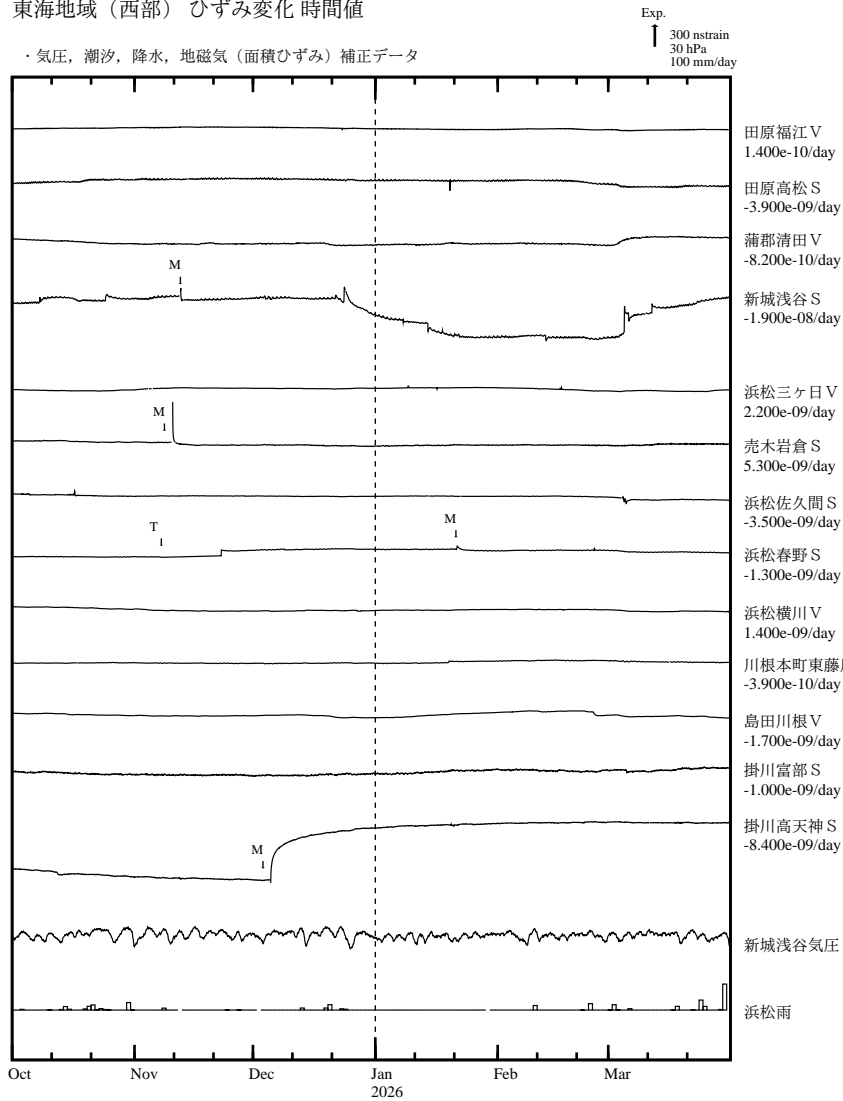
- SSE1：2025年11月4日から7日にかけて観測された。（第100回評価検討会資料参照）
- SSE2：2025年12月12日から13日にかけて観測された。（第101回評価検討会資料参照）
- SSE3：2026年2月21日から26日にかけて観測された。（第103回評価検討会資料参照）
- SSE4：2026年2月26日から3月2日にかけて観測された。（第104回評価検討会資料参照）
- SSE5：2026年3月2日から7日にかけて観測された。（第104回評価検討会資料参照）
- SSE6：2026年3月11日から14日にかけて観測された。（第104回評価検討会資料参照）

ひずみ計の配置図



※観測点名の記号Vは体積ひずみを、Sは多成分ひずみ計で観測した線ひずみより計算した面積ひずみを示す。  
 ※観測点名の下の「D/day (/M)」は、一日あたりのトレンド変化量をDとして補正していること  
 及び縮尺を1/M倍にして表示していることを示す。  
 ※観測点名、観測成分名右側の縦棒は、平常時における24時間階差の99.9%タイル値を示す。  
 ※多成分ひずみ計成分名の( )内は測定方位、[ ]内は面積ひずみ計算に用いた成分を示す。  
 ※多成分ひずみ計の最大剪断ひずみ、面積ひずみ及び主軸方向は、広域のひずみに換算して算出している。

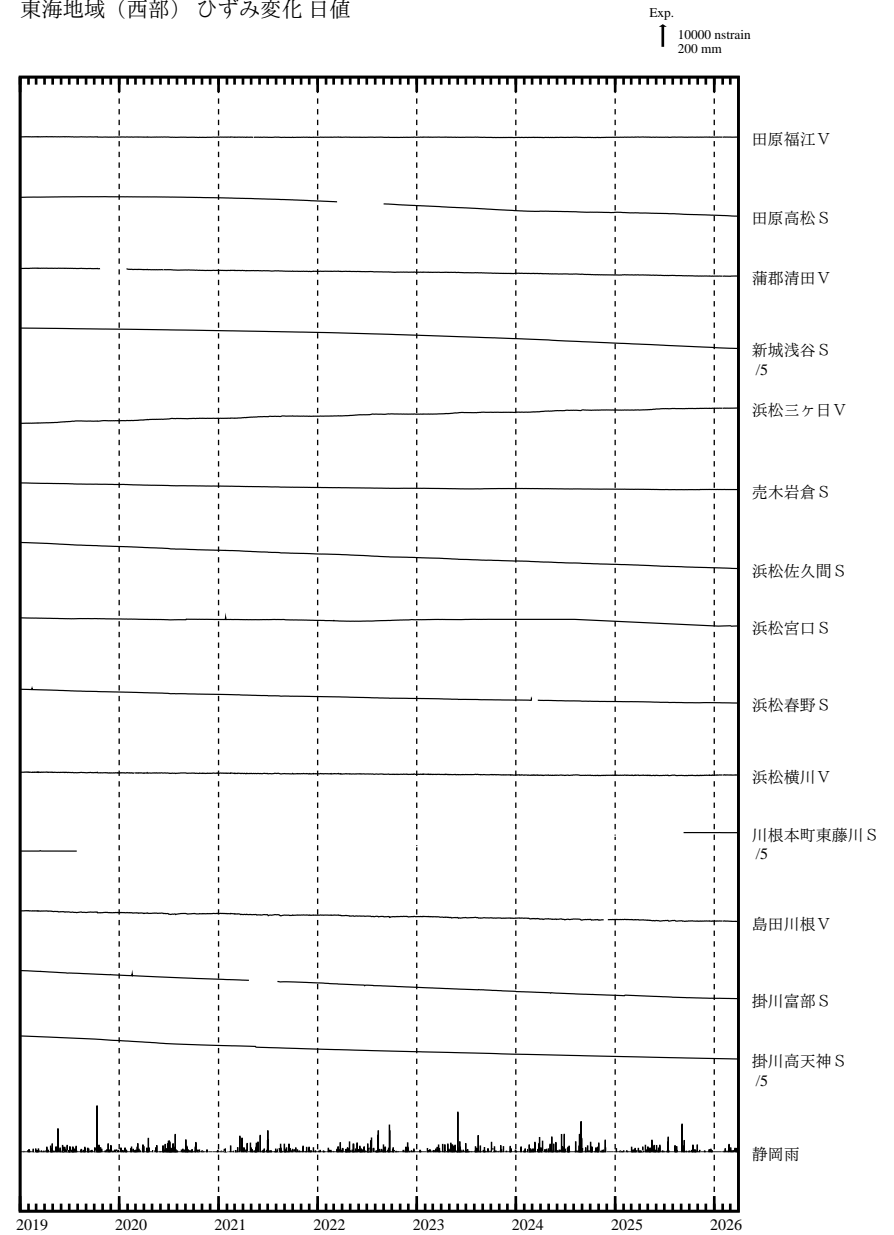
東海地域（西部） ひずみ変化 時間値



・ 特記事項なし。

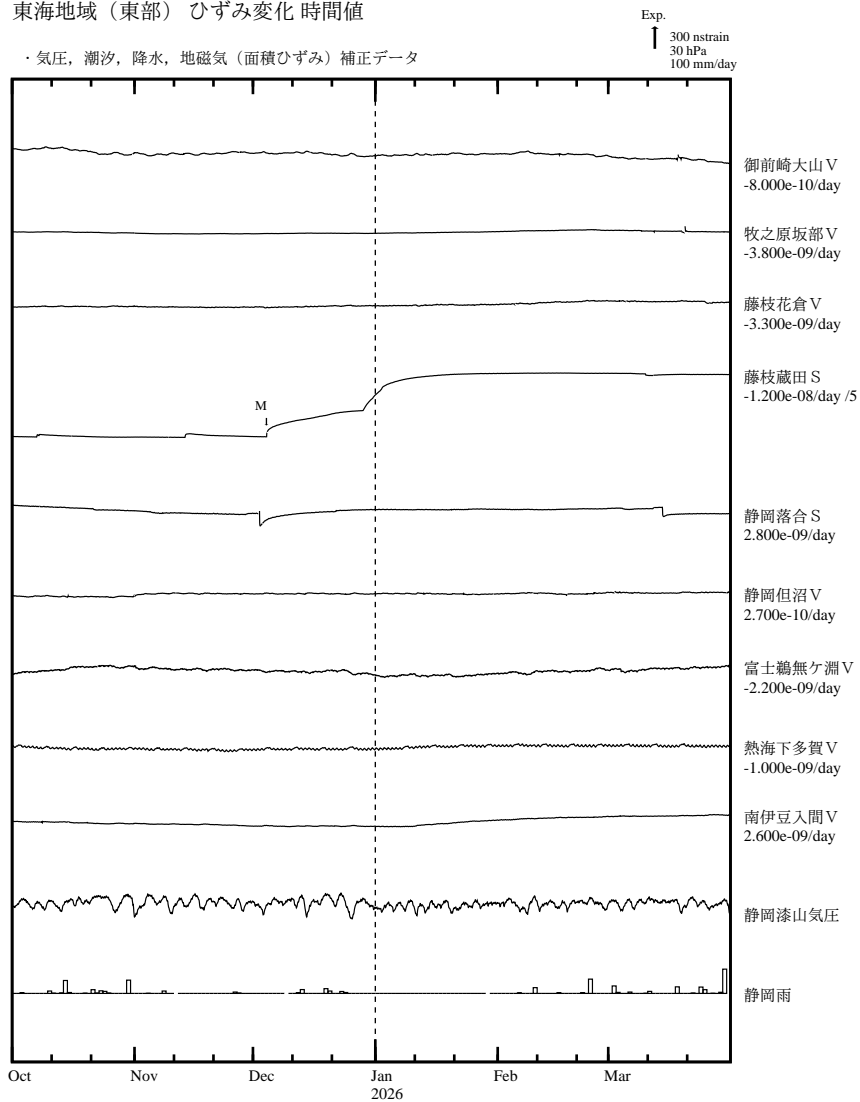
- C : 地震に伴うステップ状の変化
- L : 局所的な変化
- S : 例年見られる変化
- M : 調整
- T : 障害

東海地域（西部） ひずみ変化 日値



※面積ひずみは、地震に伴うステップ状の変化を除去して計算している。

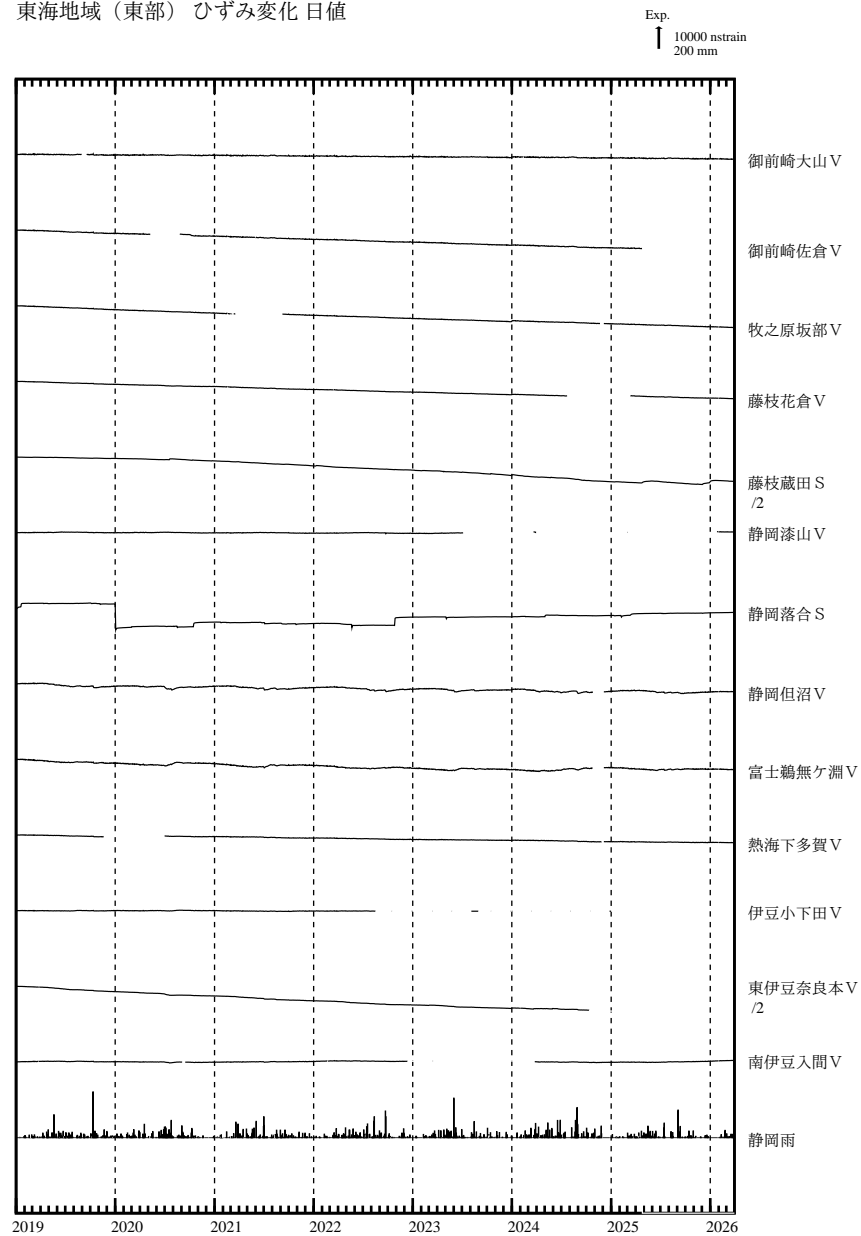
東海地域（東部） ひずみ変化 時間値



・ 特記事項なし。

- C : 地震に伴うステップ状の変化
- L : 局所的な変化
- S : 例年見られる変化
- M : 調整
- T : 障害

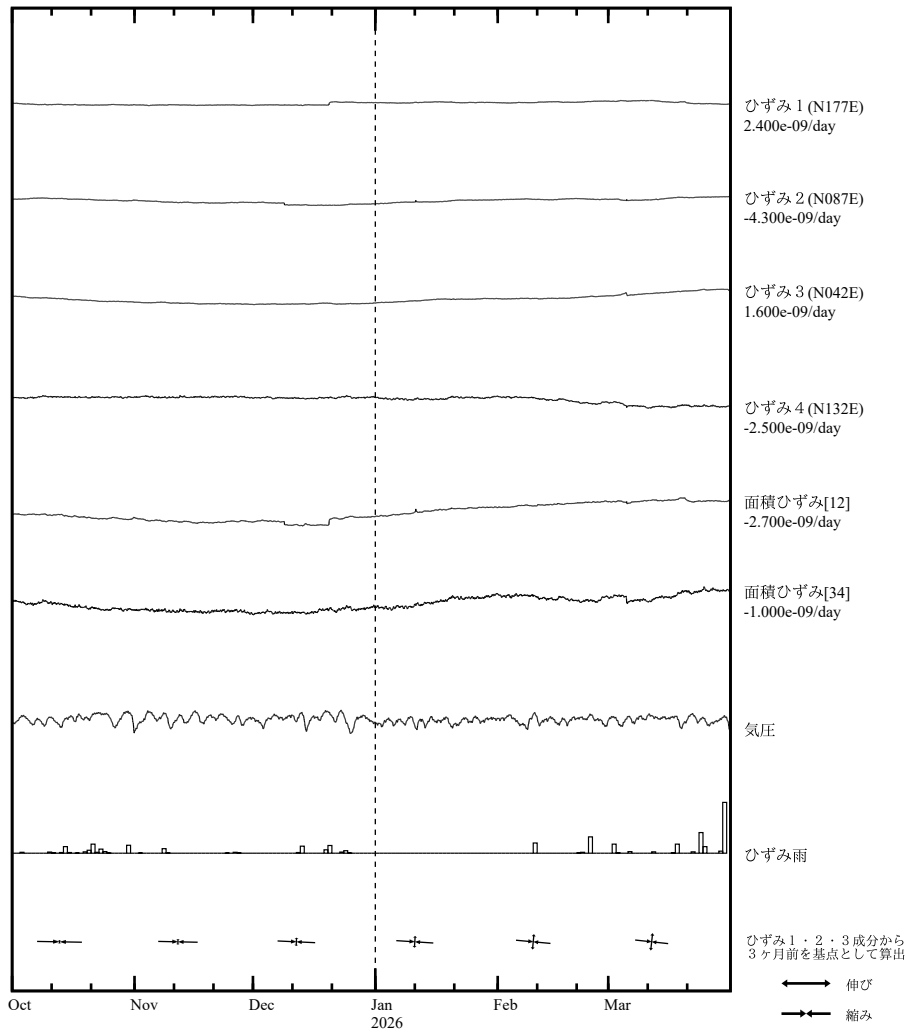
東海地域（東部） ひずみ変化 日値



※面積ひずみは、地震に伴うステップ状の変化を除去して計算している。

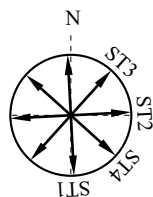
### 掛川富部 ひずみ変化 時間値

・気圧、潮汐、降水、地磁気補正データ



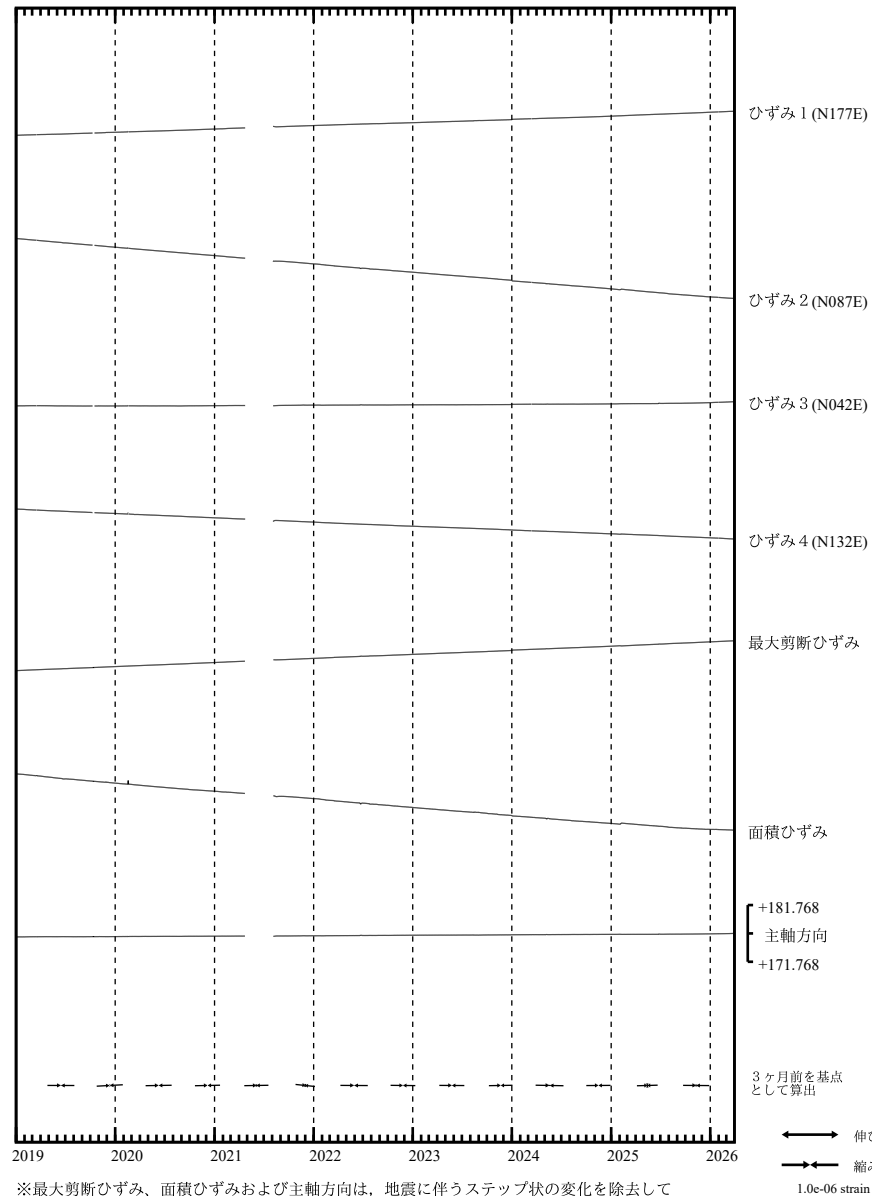
・特記事項なし。

- C : 地震に伴うステップ状の変化
- L : 局所的な変化
- S : 例年見られる変化
- M : 調整
- T : 障害

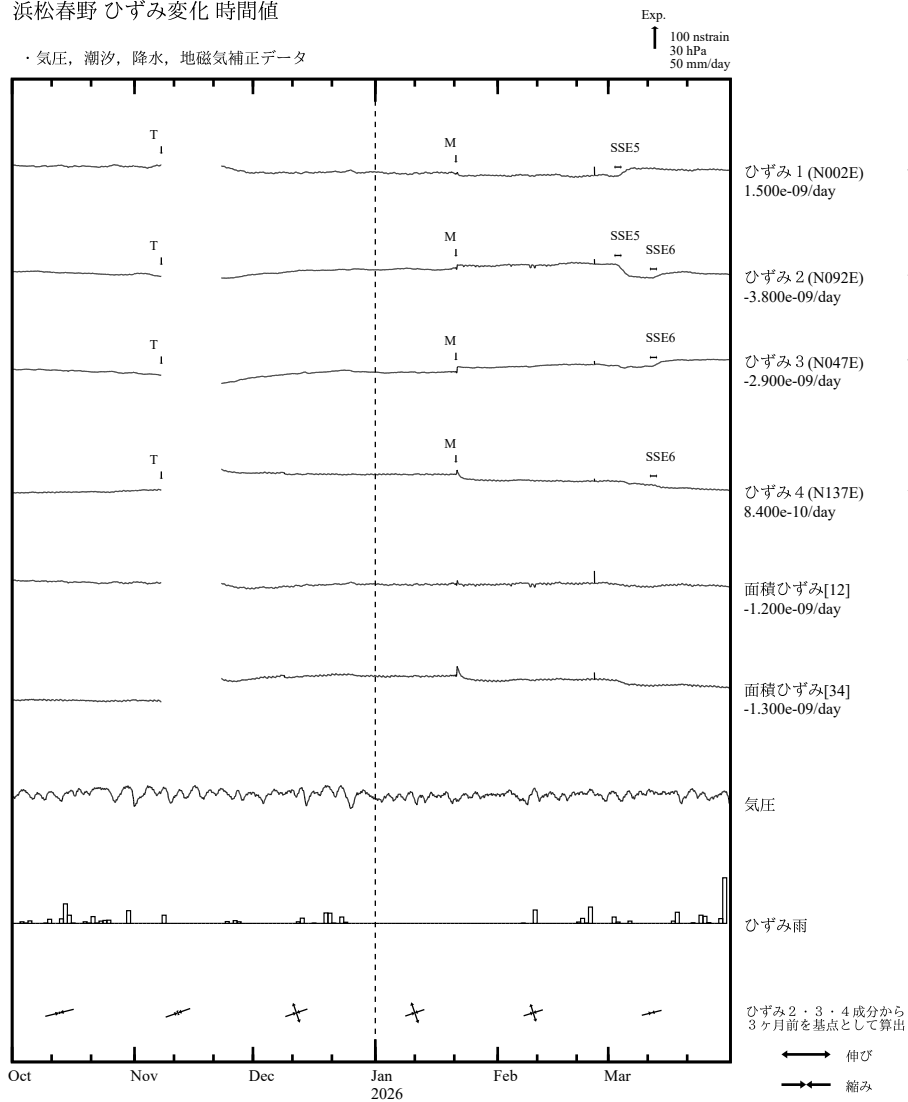


### 掛川富部 ひずみ変化 日値

・最大剪断ひずみ、面積ひずみおよび主軸方向は  
ひずみ1・2・3の各方向成分から1999年7月1日を基点として算出

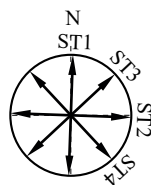


### 浜松春野 ひずみ変化 時間値

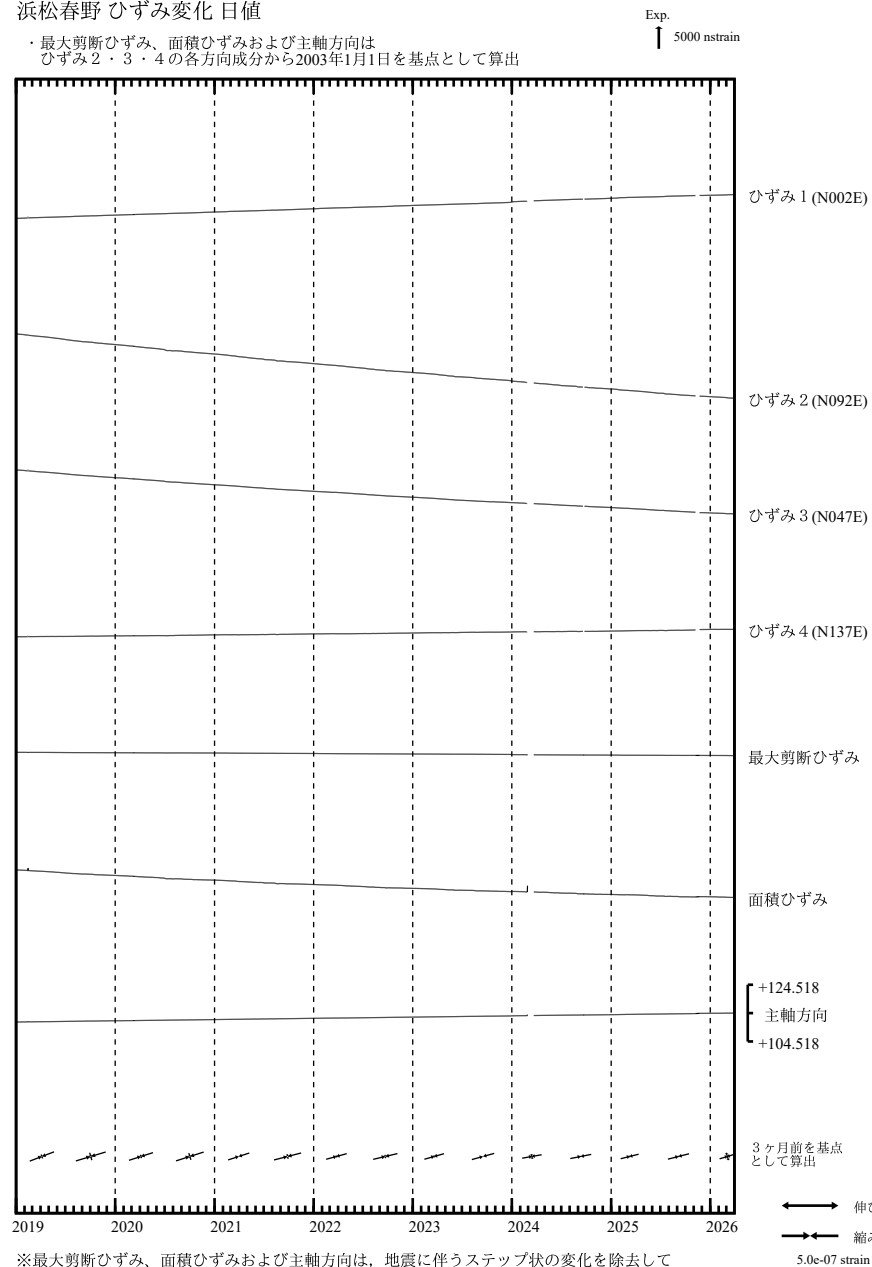


SSE5 : 短期的ゆっくりすべり 2026.03.02-03.07  
SSE6 : 短期的ゆっくりすべり 2026.03.11-03.14

- C : 地震に伴うステップ状の変化
- L : 局所的な変化
- S : 例年見られる変化
- M : 調整
- T : 障害



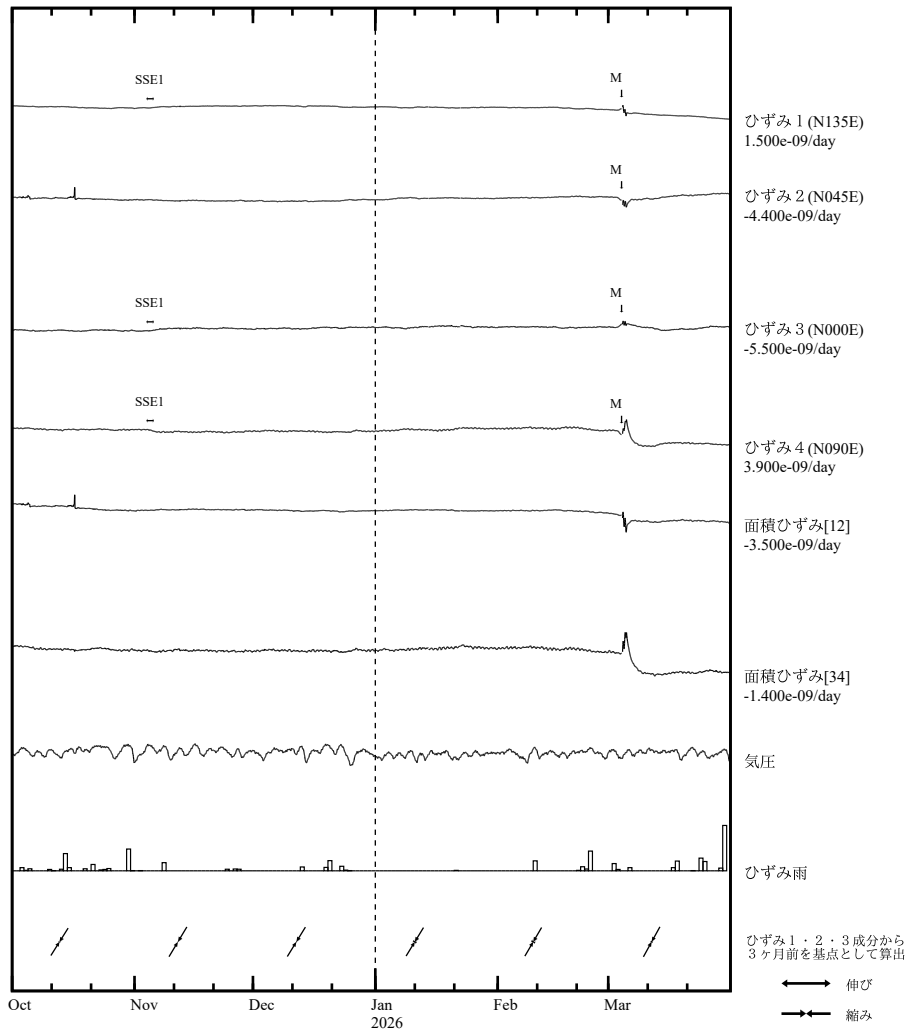
### 浜松春野 ひずみ変化 日値



※最大剪断ひずみ、面積ひずみおよび主軸方向は、地震に伴うステップ状の変化を除去して計算している。

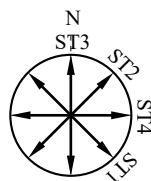
浜松佐久間 ひずみ変化 時間値

・気圧、潮汐、降水、地磁気補正データ



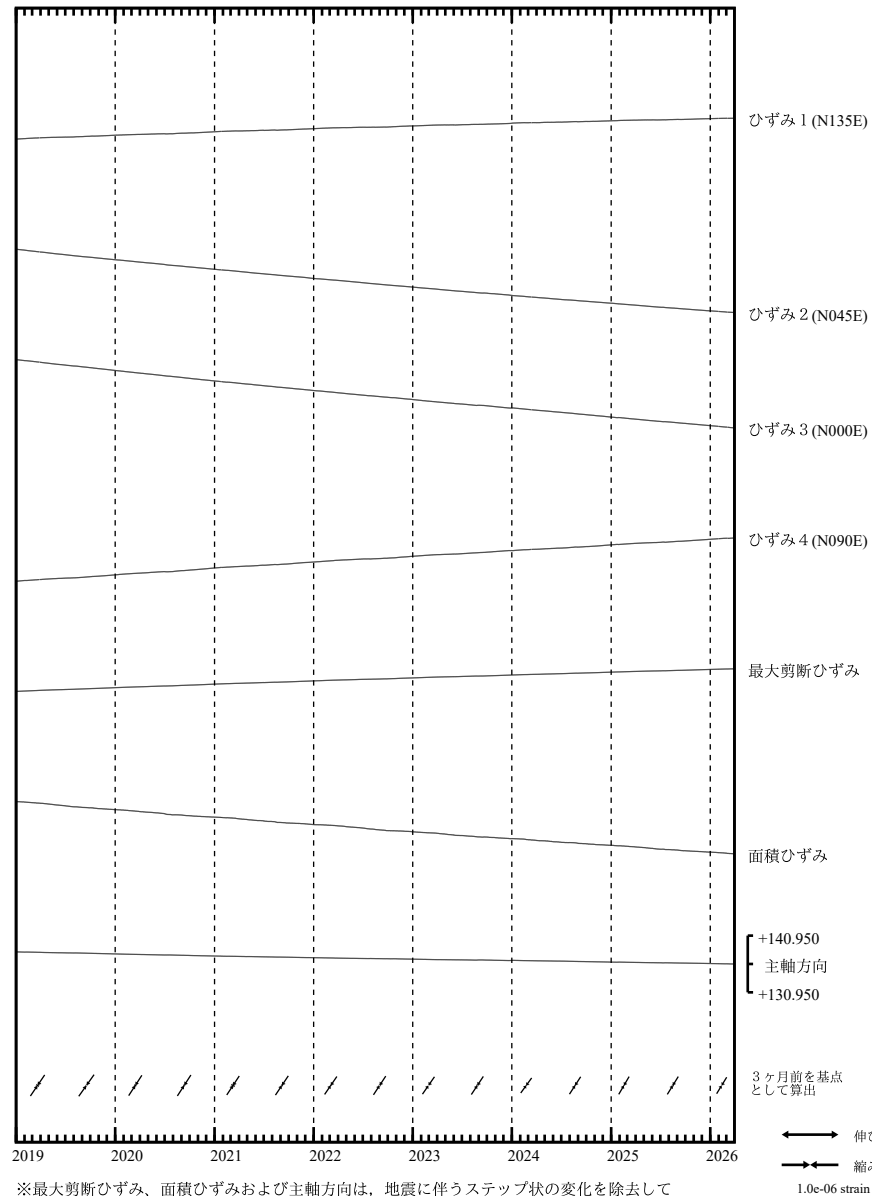
SSE1 : 短期的ゆっくりすべり 2025.11.04-11.07

- C : 地震に伴うステップ状の変化
- L : 局所的な変化
- S : 例年見られる変化
- M : 調整
- T : 障害



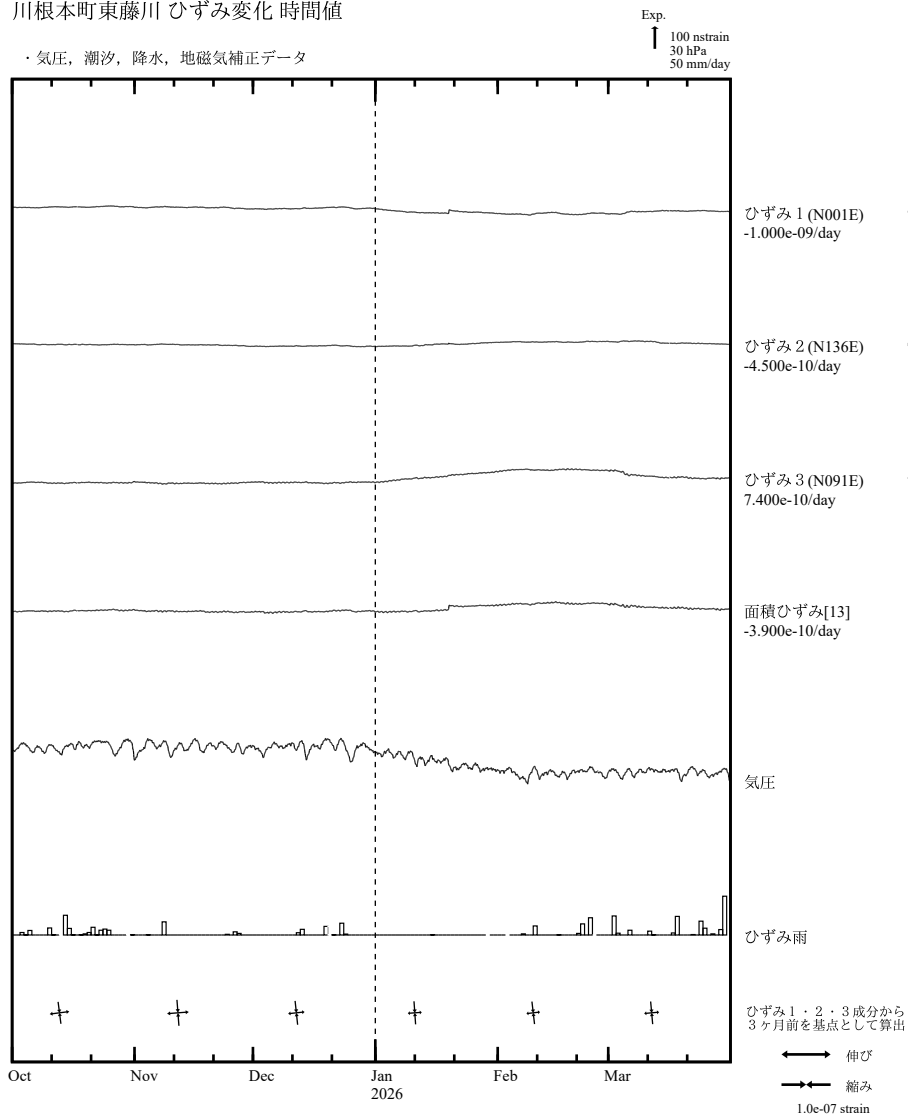
浜松佐久間 ひずみ変化 日値

・最大剪断ひずみ、面積ひずみおよび主軸方向は ひずみ1・2・3の各方向成分から2000年1月1日を基点として算出



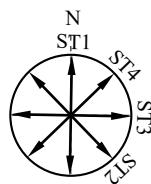
※最大剪断ひずみ、面積ひずみおよび主軸方向は、地震に伴うステップ状の変化を除去して計算している。

川根本町東藤川 ひずみ変化 時間値

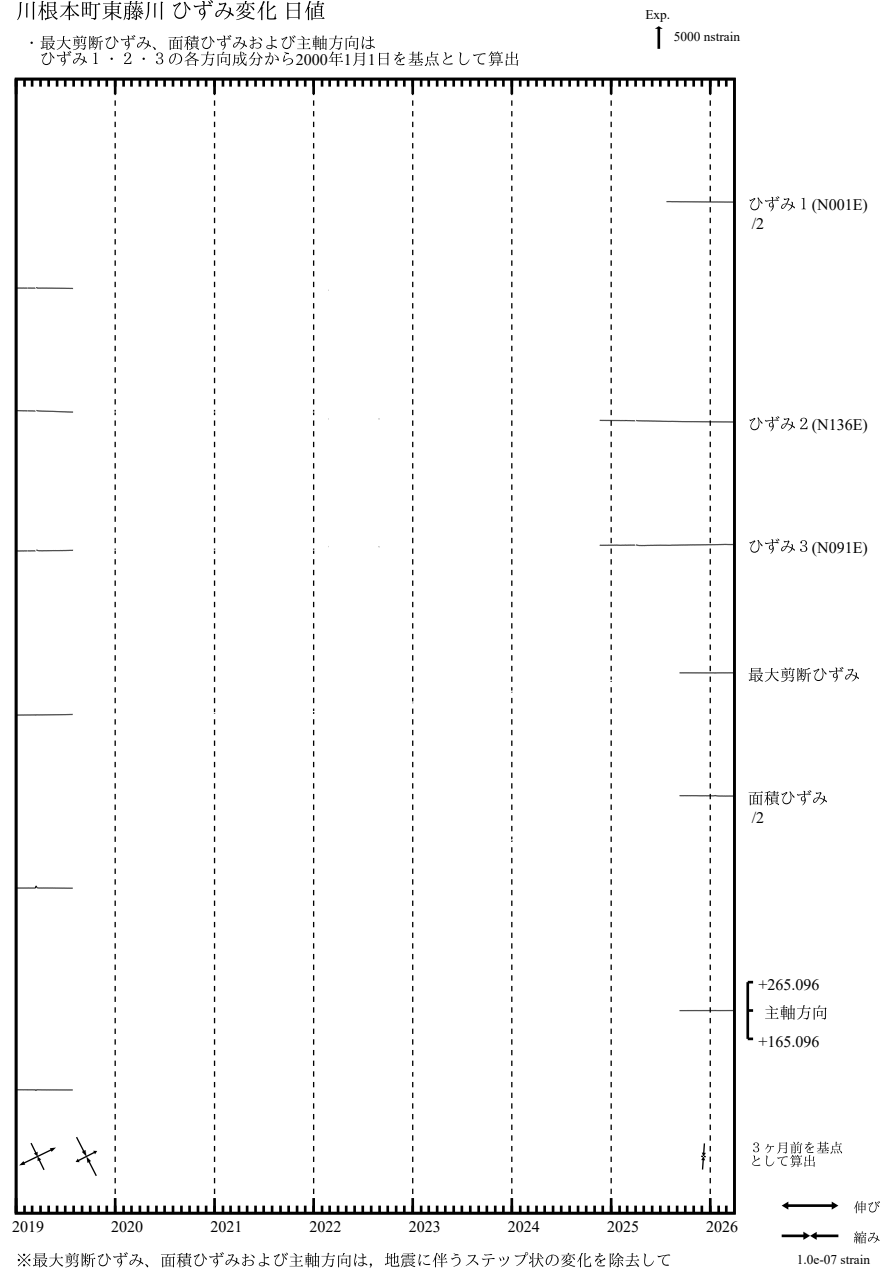


・特記事項なし。

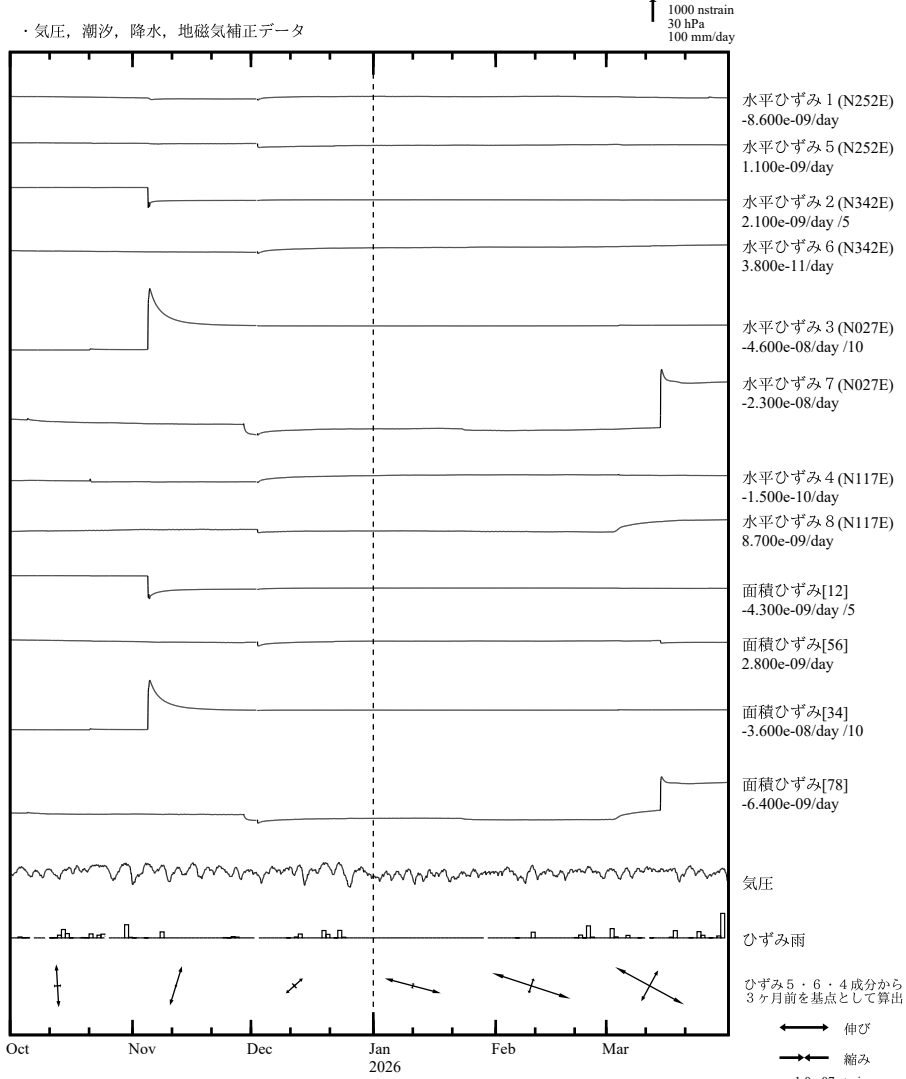
- C : 地震に伴うステップ状の変化
- L : 局所的な変化
- S : 例年見られる変化
- M : 調整
- T : 障害



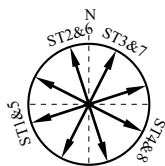
川根本町東藤川 ひずみ変化 日値



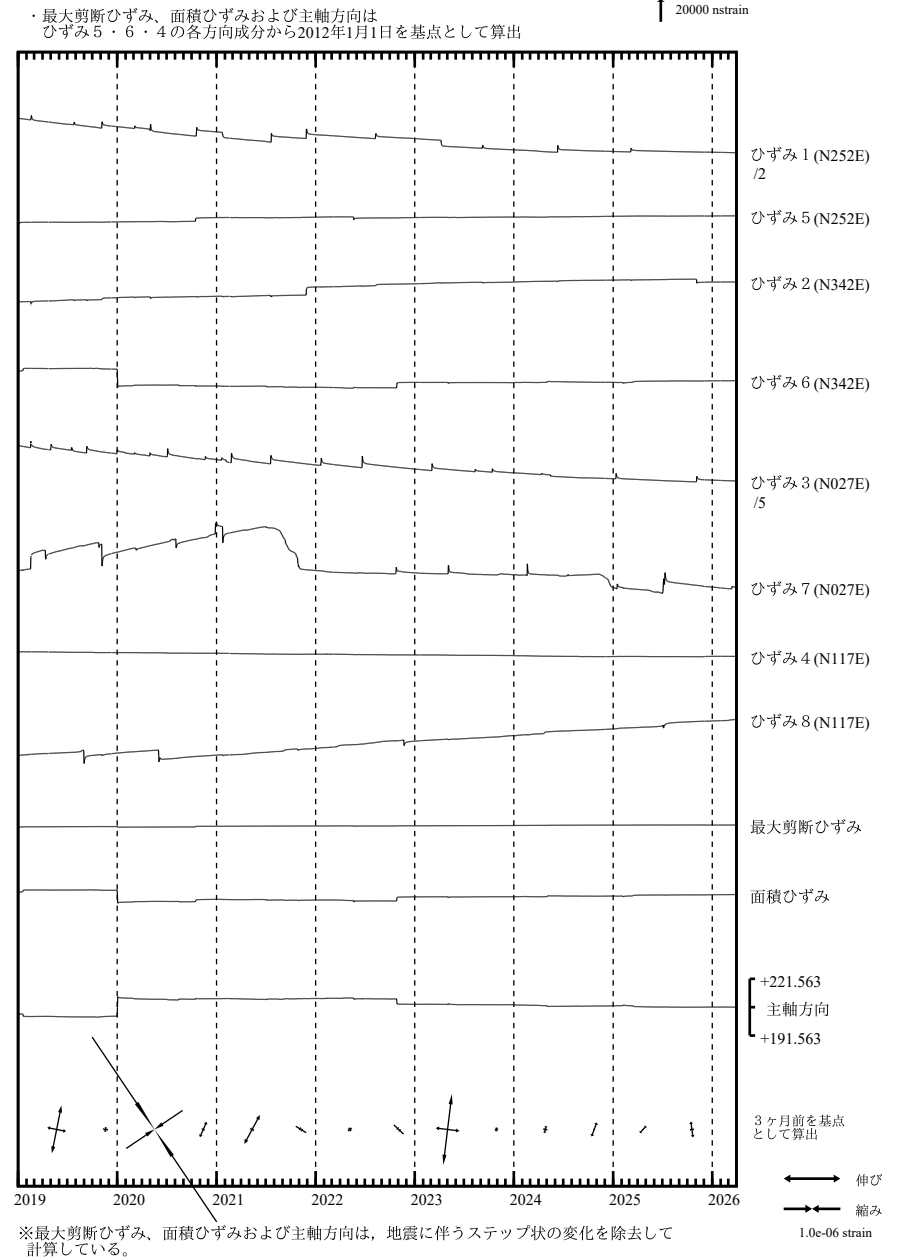
静岡落合 ひずみ変化 時間値



- ・ 特記事項なし。
- C : 地震に伴うステップ状の変化
  - L : 局所的な変化
  - S : 例年見られる変化
  - M : 調整
  - T : 障害

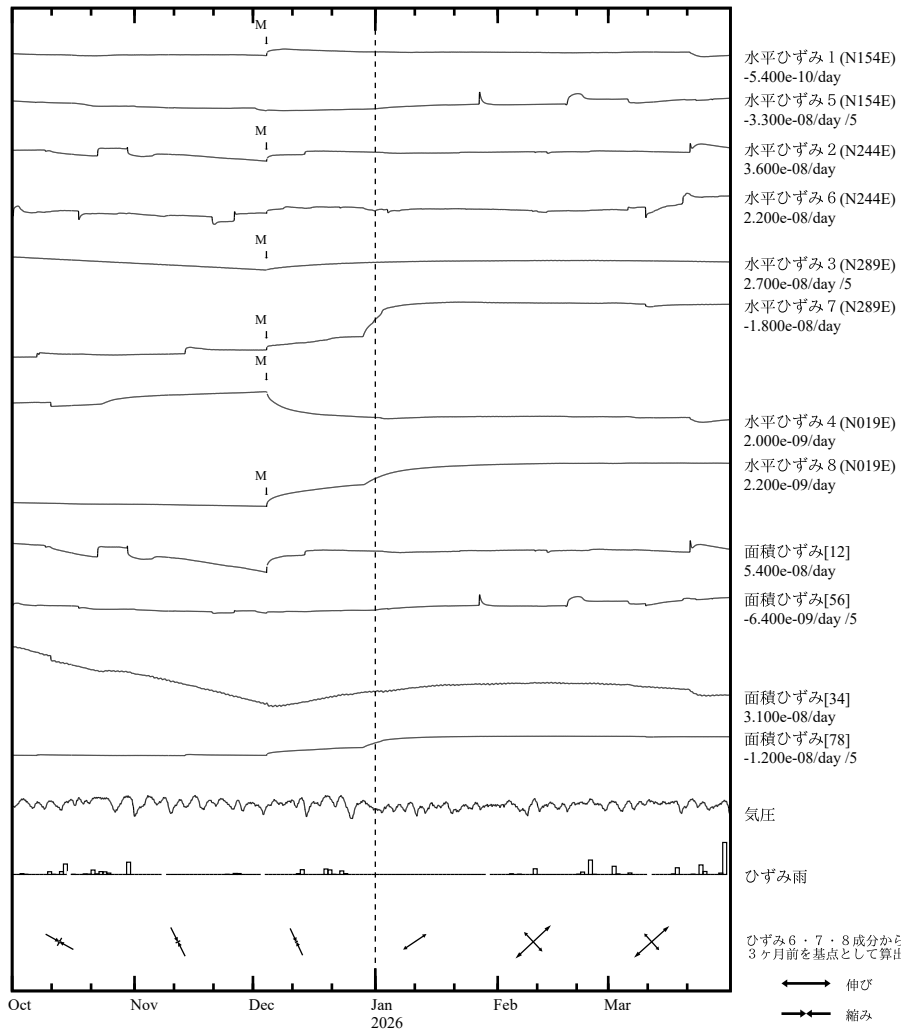


静岡落合 ひずみ変化 日値



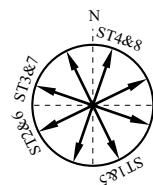
### 藤枝蔵田 ひずみ変化 時間値

・ 気圧, 潮汐, 降水, 地磁気補正データ



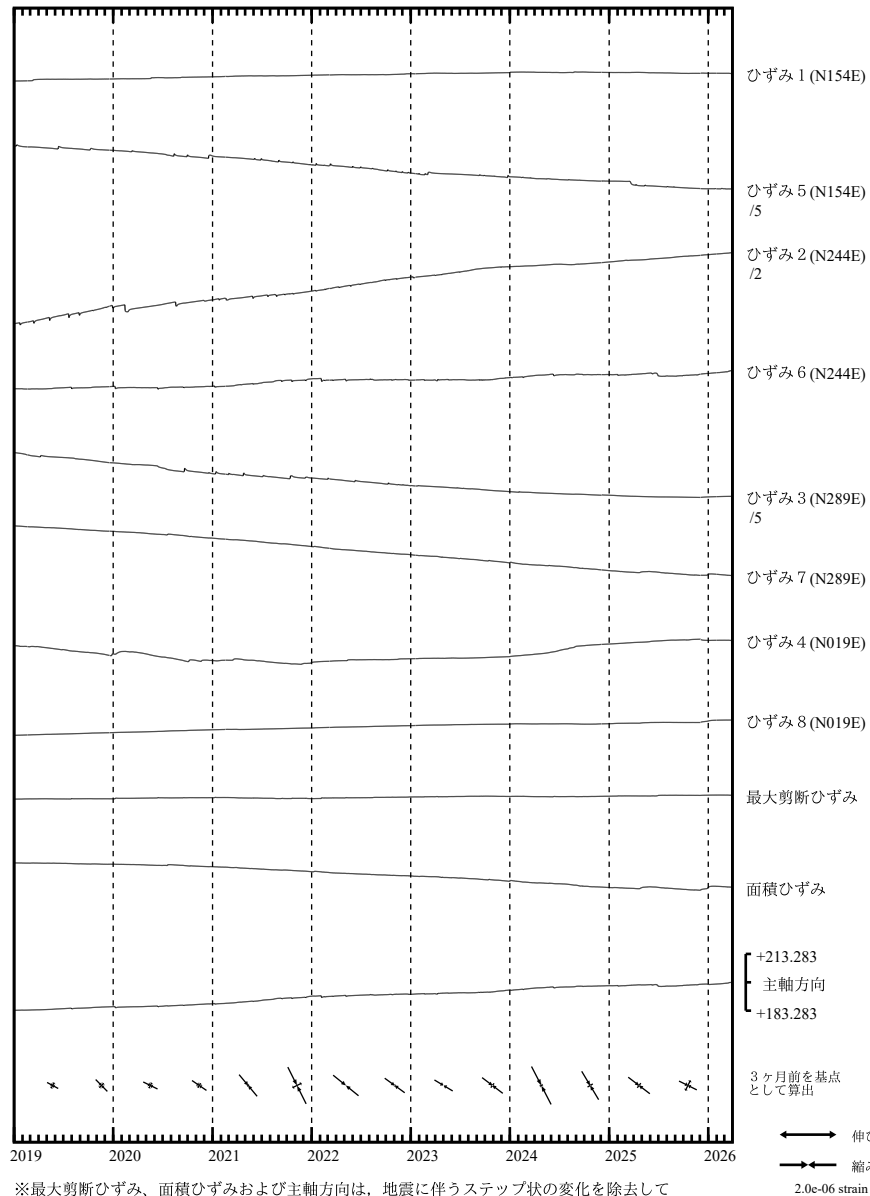
・ 特記事項なし。

- C : 地震に伴うステップ状の変化
- L : 局所的な変化
- S : 例年見られる変化
- M : 調整
- T : 障害



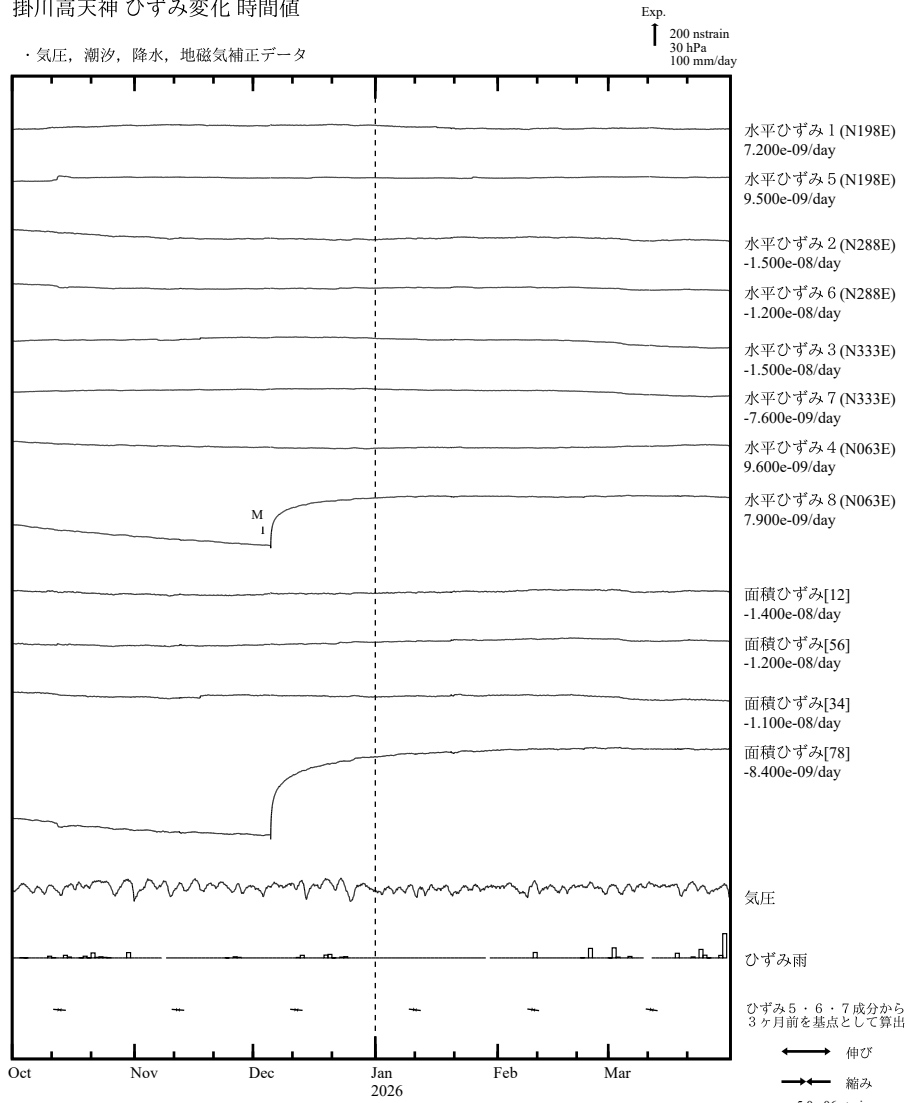
### 藤枝蔵田 ひずみ変化 日値

・ 最大剪断ひずみ、面積ひずみおよび主軸方向は  
ひずみ 6・7・8 の各方向成分から2012年1月1日を基点として算出



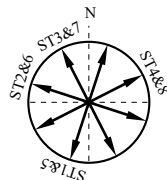
※最大剪断ひずみ、面積ひずみおよび主軸方向は、地震に伴うステップ状の変化を除去して計算している。

掛川高天神 ひずみ変化 時間値

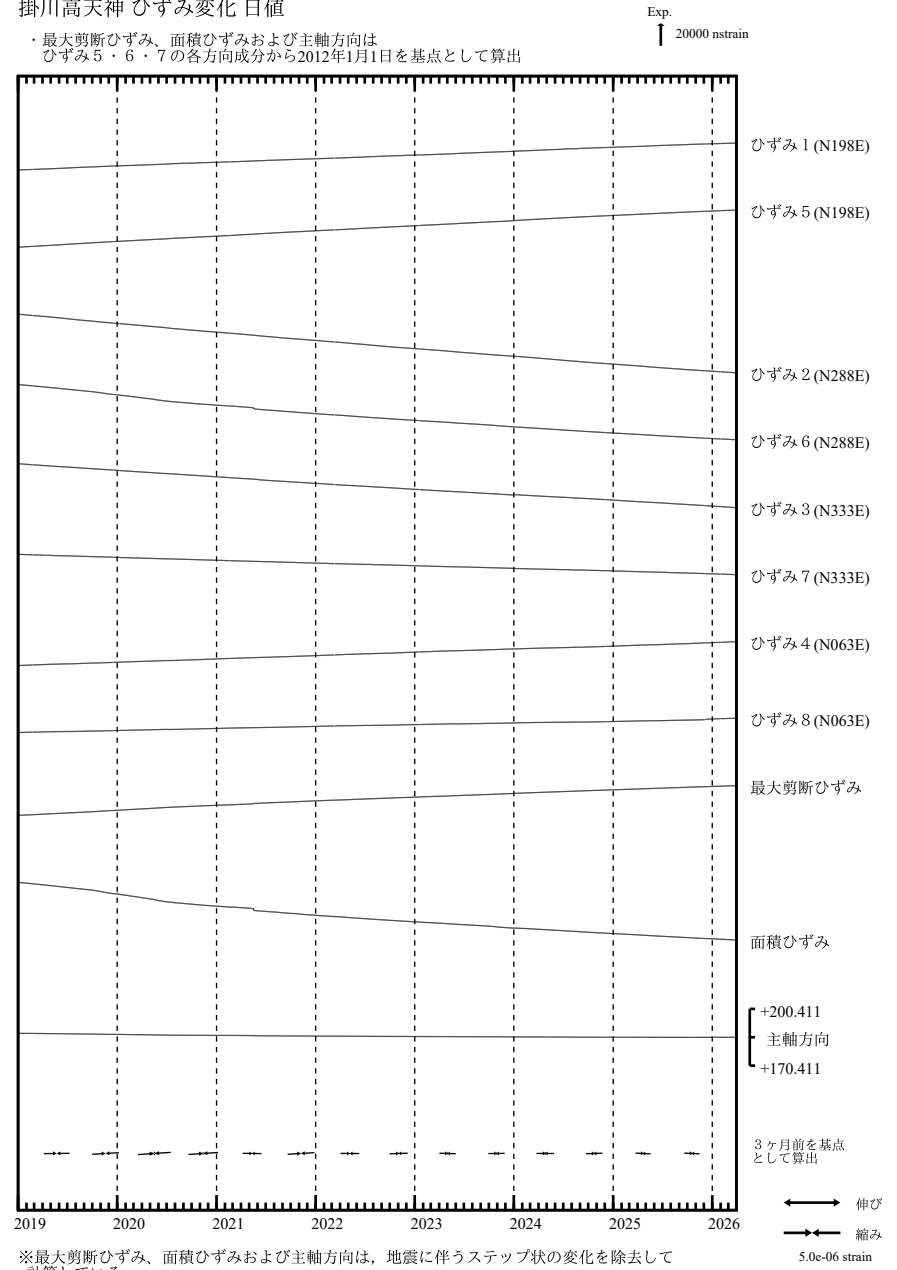


・ 特記事項なし。

- C : 地震に伴うステップ状の変化
- L : 局所的な変化
- S : 例年見られる変化
- M : 調整
- T : 障害

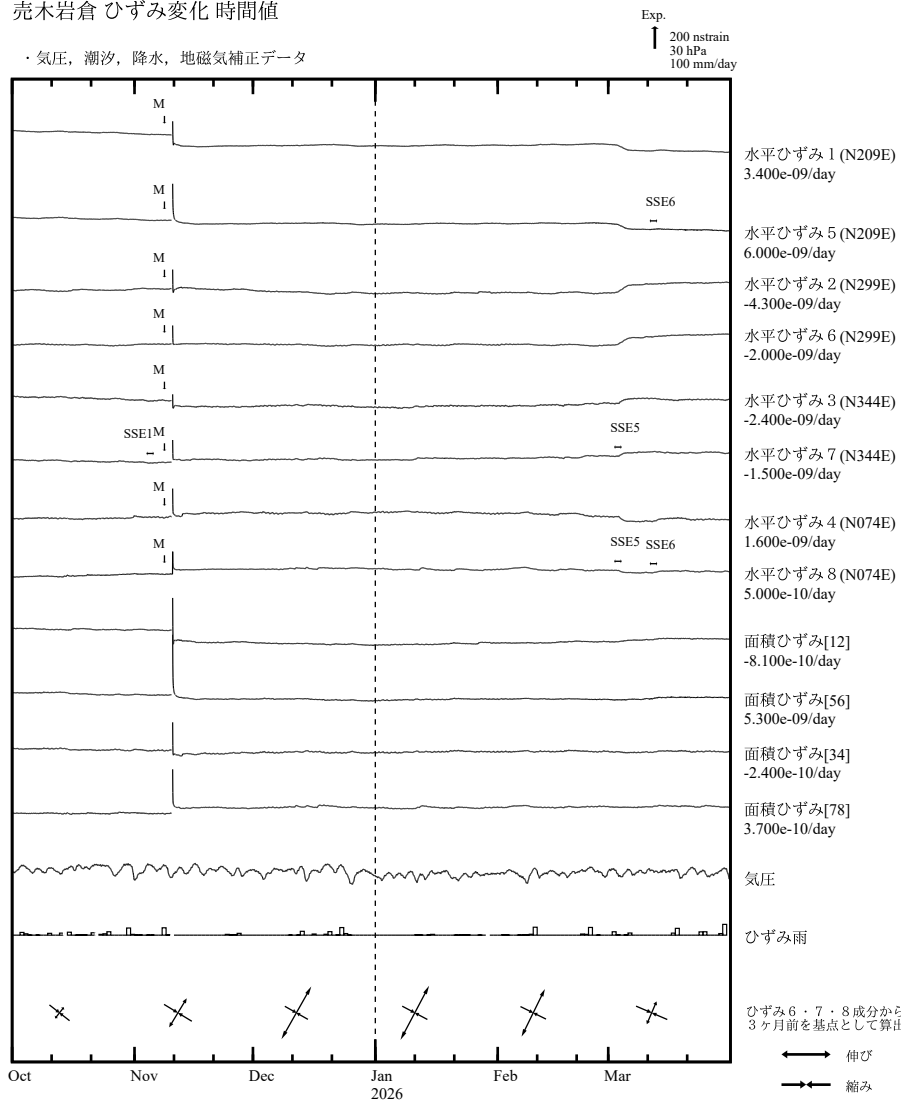


掛川高天神 ひずみ変化 日値



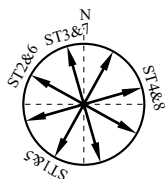
※最大剪断ひずみ、面積ひずみおよび主軸方向は、地震に伴うステップ状の変化を除去して計算している。

売木岩倉 ひずみ変化 時間値

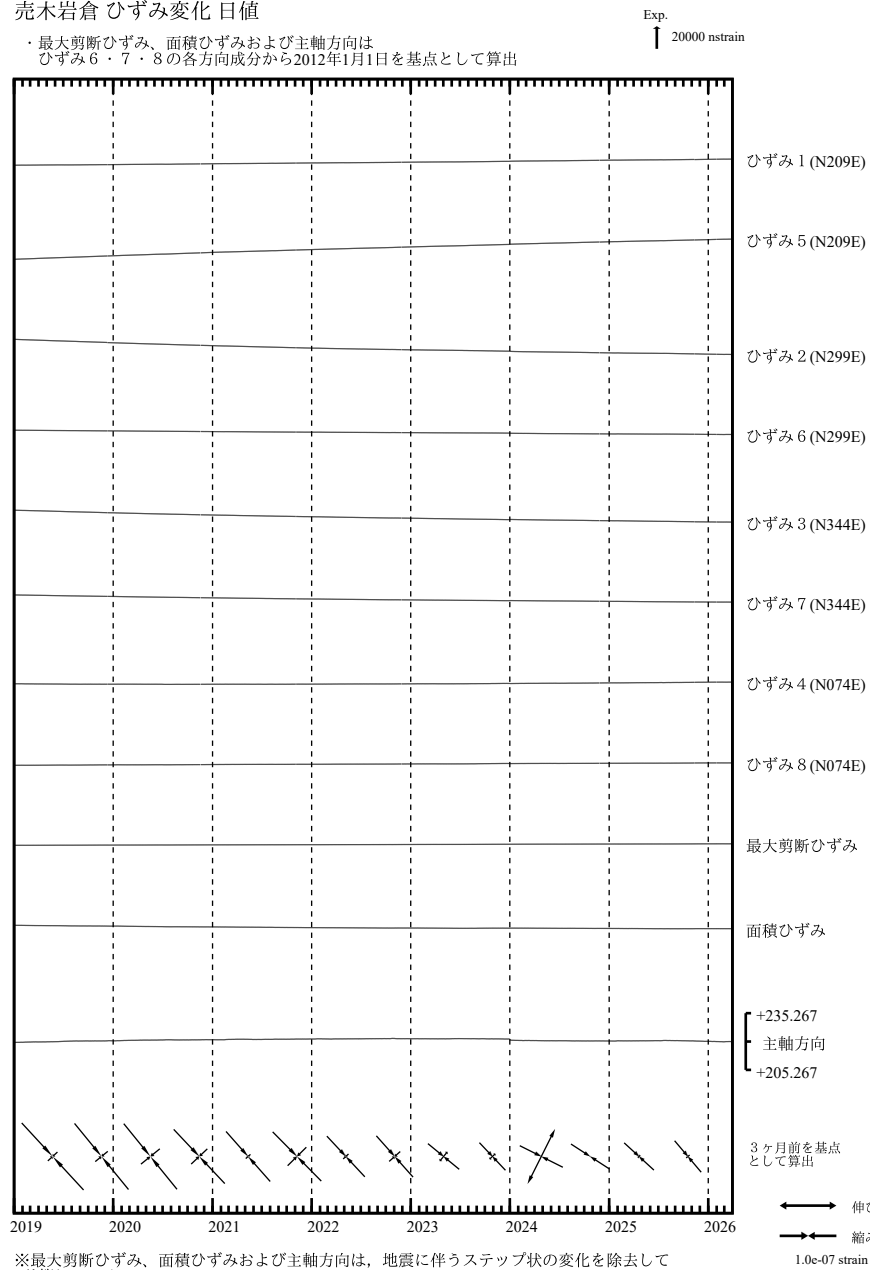


SSE1 : 短期的ゆっくりすべり 2025.11.04-11.07  
SSE5 : 短期的ゆっくりすべり 2026.03.02-03.07  
SSE6 : 短期的ゆっくりすべり 2026.03.11-03.14

C : 地震に伴うステップ状の変化  
L : 局所的な変化  
S : 例年見られる変化  
M : 調整  
T : 障害



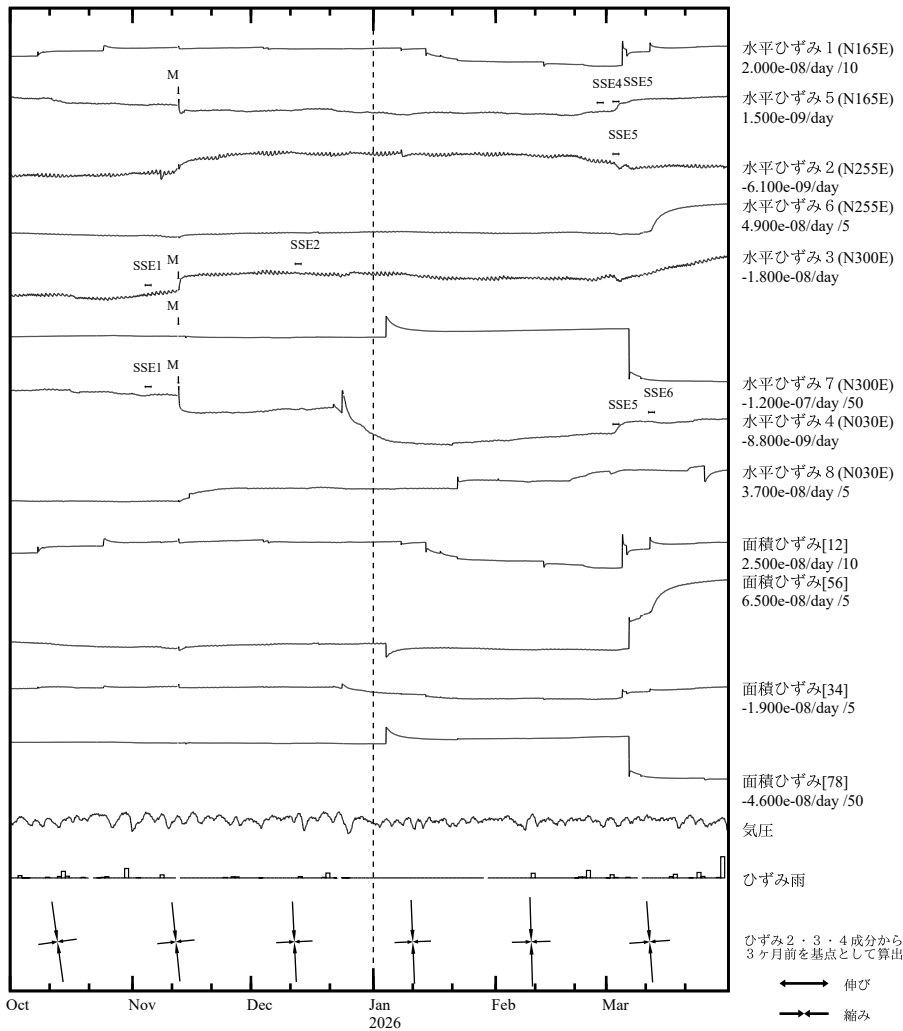
売木岩倉 ひずみ変化 日値



※最大剪断ひずみ、面積ひずみおよび主軸方向は、地震に伴うステップ状の変化を除去して計算している。

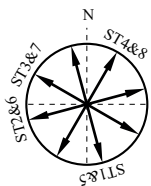
### 新城浅谷 ひずみ変化 時間値

・ 気圧, 潮汐, 降水, 地磁気補正データ



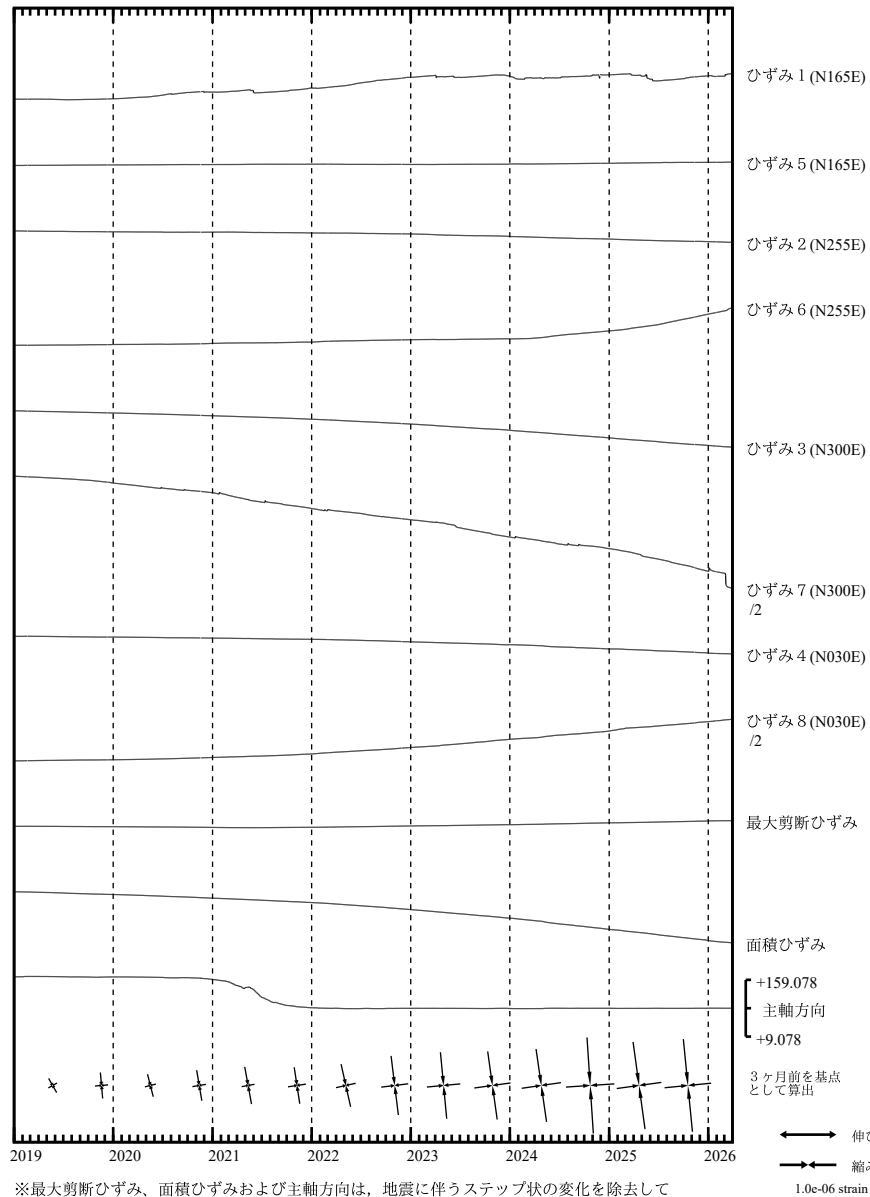
- SSE1 : 短期的ゆっくりすべり 2025.11.04-11.07
- SSE2 : 短期的ゆっくりすべり 2025.12.12-12.13
- SSE4 : 短期的ゆっくりすべり 2026.02.26-03.02
- SSE5 : 短期的ゆっくりすべり 2026.03.02-03.07
- SSE6 : 短期的ゆっくりすべり 2026.03.11-03.14

- C : 地震に伴うステップ状の変化
- L : 局所的な変化
- S : 例年見られる変化
- M : 調整
- T : 障害



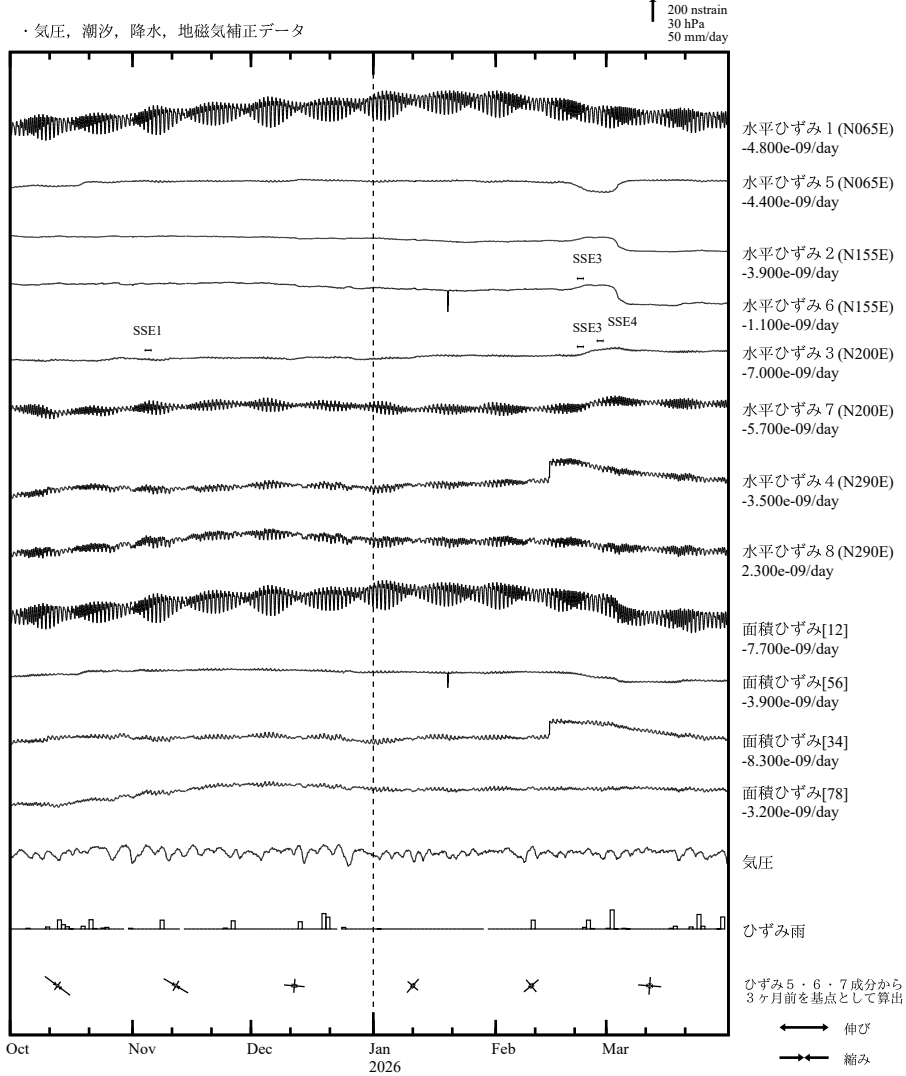
### 新城浅谷 ひずみ変化 日値

・ 最大剪断ひずみ、面積ひずみおよび主軸方向は ひずみ 2・3・4 の各方向成分から2012年1月1日を基点として算出



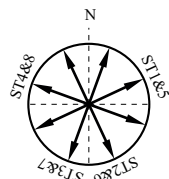
※最大剪断ひずみ、面積ひずみおよび主軸方向は、地震に伴うステップ状の変化を除去して計算している。

田原高松 ひずみ変化 時間値

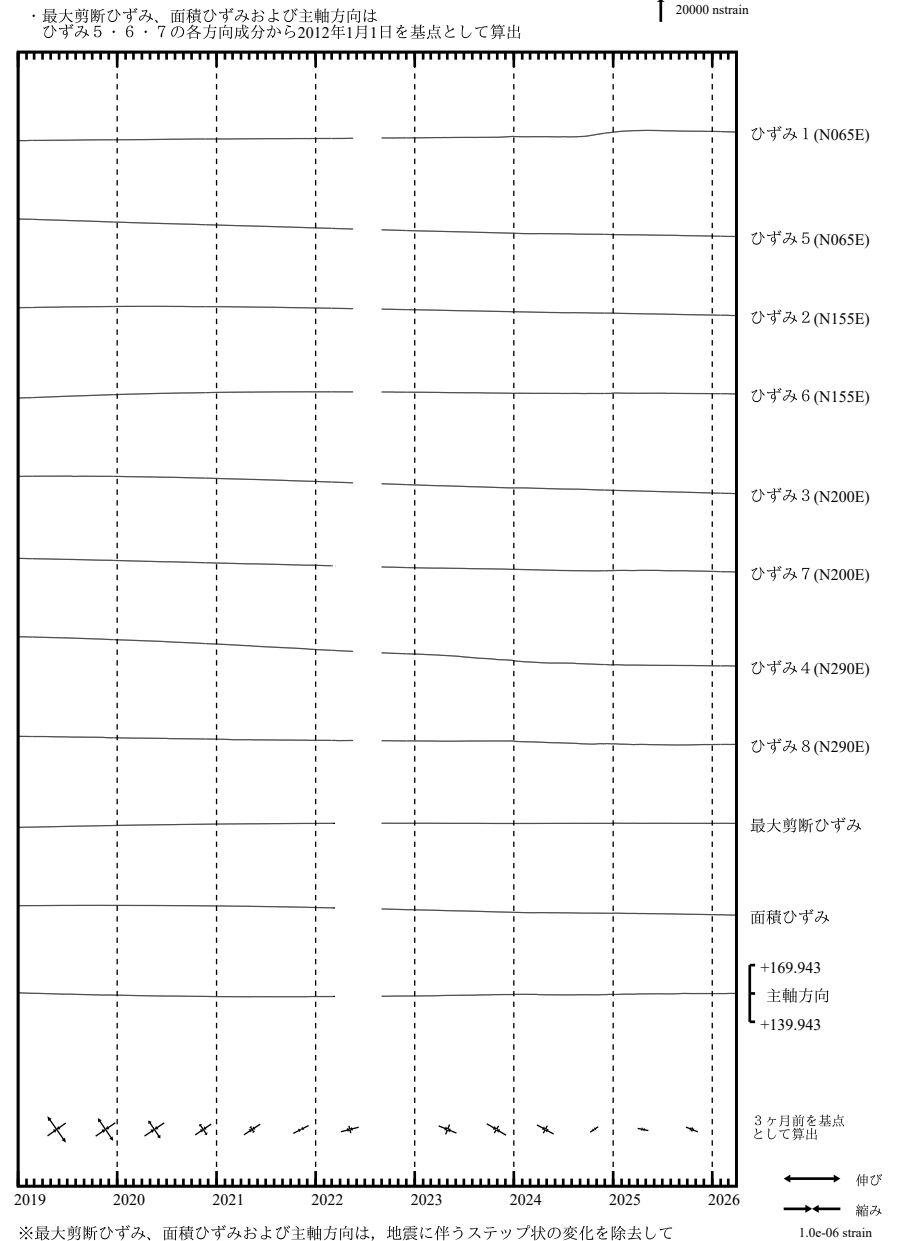


SSE1 : 短期的ゆっくりすべり 2025.11.04-11.07  
SSE3 : 短期的ゆっくりすべり 2026.02.21-02.26  
SSE4 : 短期的ゆっくりすべり 2026.02.26-03.02

C : 地震に伴うステップ状の変化  
L : 局所的な変化  
S : 例年見られる変化  
M : 調整  
T : 障害



田原高松 ひずみ変化 日値



※最大剪断ひずみ、面積ひずみおよび主軸方向は、地震に伴うステップ状の変化を除去して計算している。

## 南海トラフ沿いの長期的スロースリップの客観検知

Kobayashi, 2017<sup>1)</sup>) は、国土地理院GEONETのGNSS座標値F5解を用いて、長期的スロースリップに伴う変位を南海トラフに沿った経度・緯度別に以下の手順により検出したものである。

観測点の成分ごとに直線トレンド、アンテナ交換などに伴うオフセットと主な地震に伴うオフセット、年周・半年周成分を除去する。

長期的SSEの影響がほぼ見られない中国地方（九州沿いは九州北西部）の観測点の共通ノイズを全点から引き去り、領域全体を固定する。

各観測点の水平成分からフィリピン海プレート沈み込みと逆方向（S55E）の成分を計算し、南海トラフ沿いのプレート等深線25kmに沿って設定した経度または緯度0.1度間隔の地点を中心（九州は南東端）とする50×100kmの矩形範囲内の各観測点の成分の平均値を求める。主な地震の余効変動を除去する。

地点ごとの時系列と1年の傾斜期間を持つランプ関数との相互相関と、対象期間前後の2年間変化量を求める。

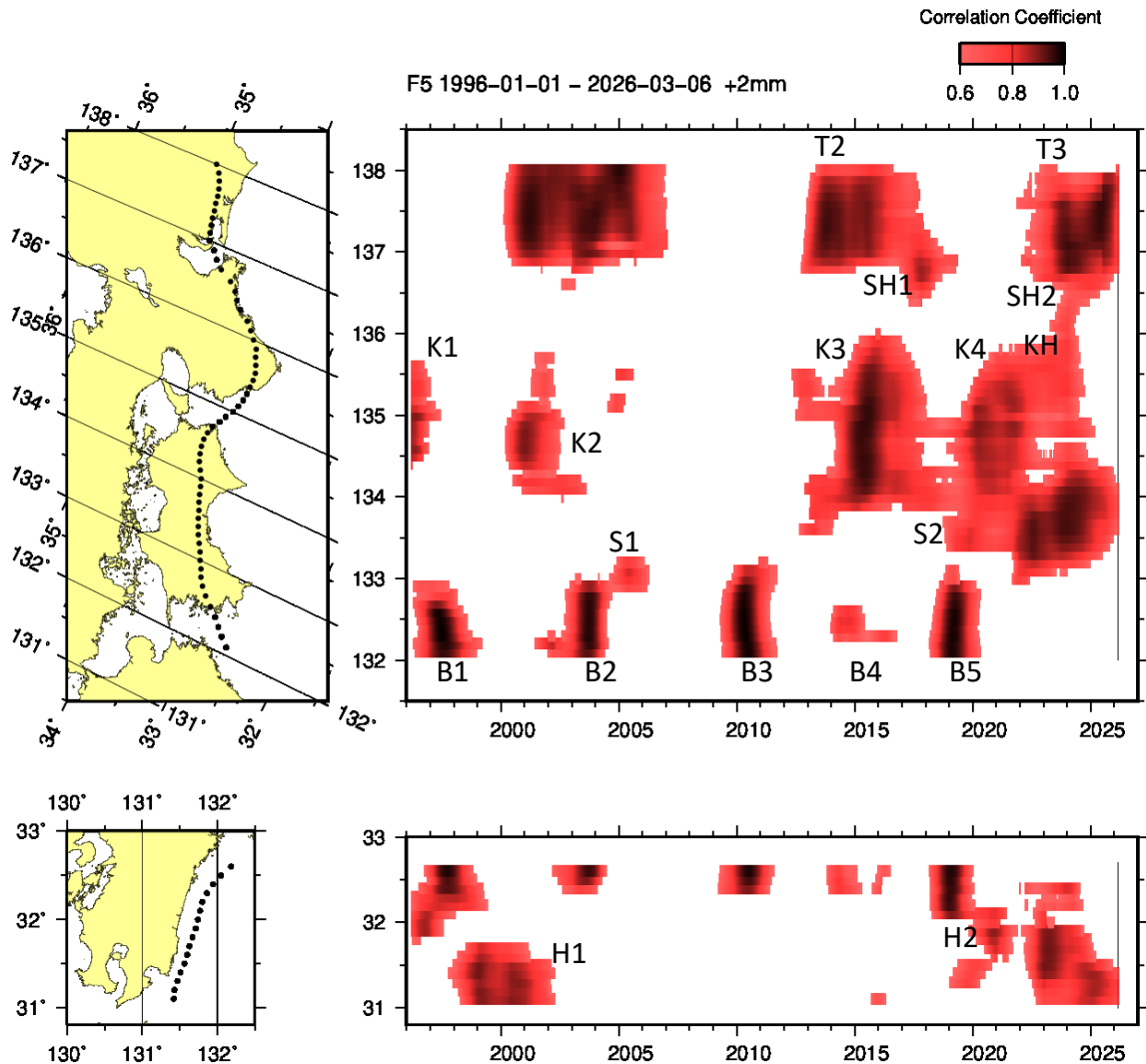
2021<sup>2)</sup>)。

南海トラフ沿いのプレート等深線25kmに沿って設定した経度または緯度0.1度間隔の地点を中心とする30×30kmの矩形断層上に100mmのすべりを与え、理論変位をOkada (1992)により計算する。

計算地点を中心（九州は南東端）とする地表上の50×100 kmの矩形範囲内の観測点における、(6)の理論変位の沈み込み方向と逆方向に投影した成分の理論平均変位を求める。

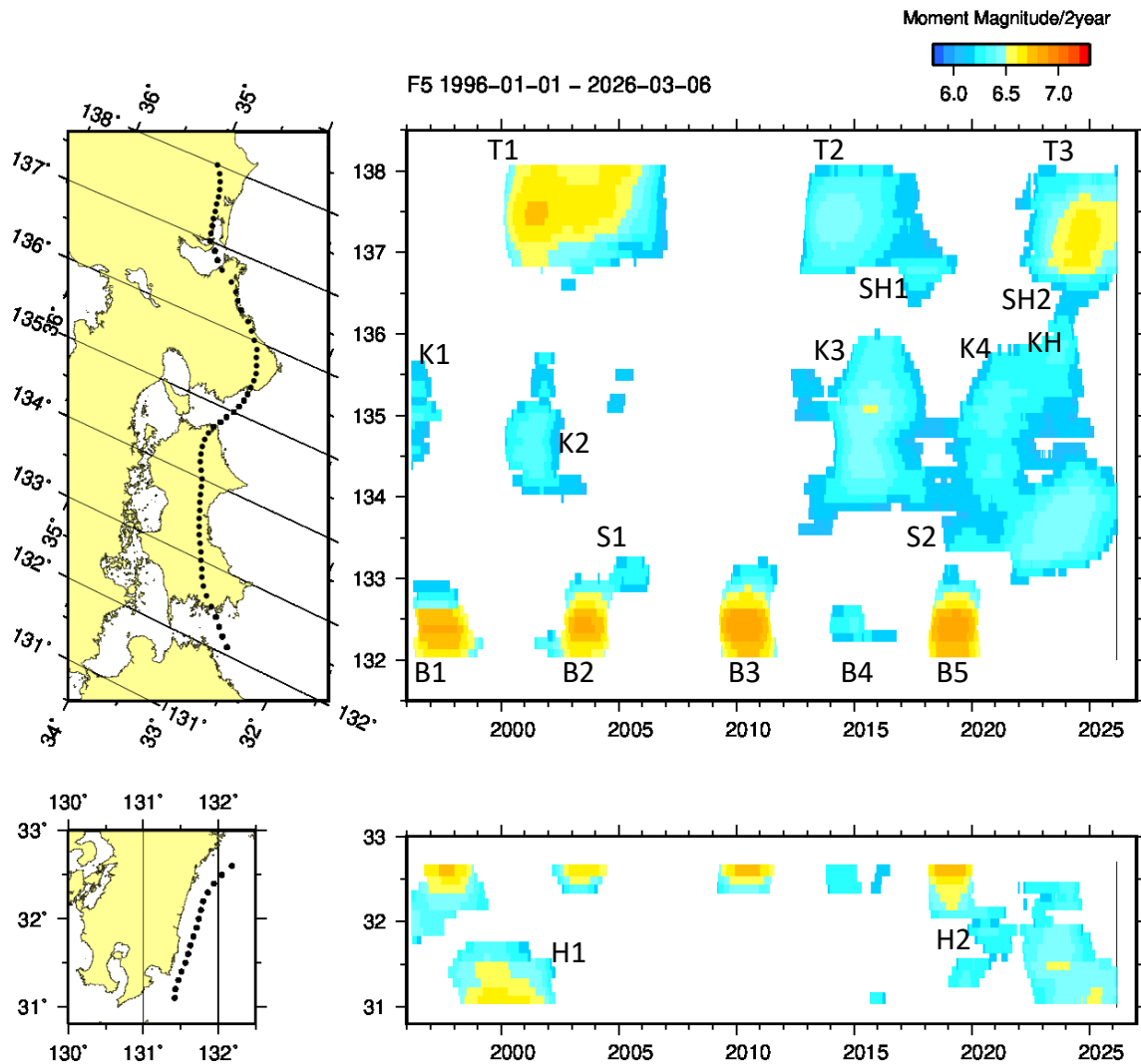
手順(5)で求めた2年間の観測変位量と、手順(7)で求めた一定のすべり量を与えた場合の理論変位値とを比較する。このとき、2年間の観測変位量が大きい/小さい場合でも、単純化のためすべりの範囲は(6)で設定した矩形断層上にあると仮定する。矩形断層上のすべり量と地表変位量とは比例関係にあるため、2年間の観測変位量から2年間あたりのすべり量を求めることができ、対応するMwを算出する。

小林昭夫, 2021, GNSSによる長期的スロースリップ客観検出手法の応用—短期的スロースリップの検出と長期的スロースリップの規模推定—, 気象研究所研究報告, 69, 1-14.



- T1:東海2000～2005年
- T2:東海2013～2016年
- T3:東海2022年～
- SH1:志摩半島2017～2018年、2019～2020年
- SH2:志摩半島2024～2025年
- K1:紀伊水道1996～1997年
- K2:紀伊水道2000～2002年
- K3:紀伊水道2014～2016年
- K4:紀伊水道2019～2022年
- KH:紀伊半島南部2020年～2024年
- S1:四国西部2005年
- S2:四国中部2019年～2025年
- B1:豊後水道1996～1997年
- B2:豊後水道2003年
- B3:豊後水道2010年
- B4:豊後水道2014年
- B5:豊後水道2018～2019年
- H1:日向灘南部 1998～2001年
- H2:日向灘南部 2020～2021年、2023年

第1図 長期的スロースリップ客観検知図（1996年～2026年3月）  
 スロースリップに伴う非定常変位の範囲（場所、時間）を赤～黒で示す。色が濃いほどスロースリップの発生可能性が高い。右端の縦線は最新データ日を示す。なお、これは変位が検出された範囲で、変動源自体の範囲ではない。



東海2000～2005年  
 東海2013～2016年  
 東海2022年～  
 志摩半島2017～2018年、2019～2020年  
 志摩半島2024～2025年

紀伊水道1996～1997年  
 紀伊水道2000～2002年  
 紀伊水道2014～2016年  
 紀伊水道2019～2022年  
 紀伊半島南部2020年～2024年

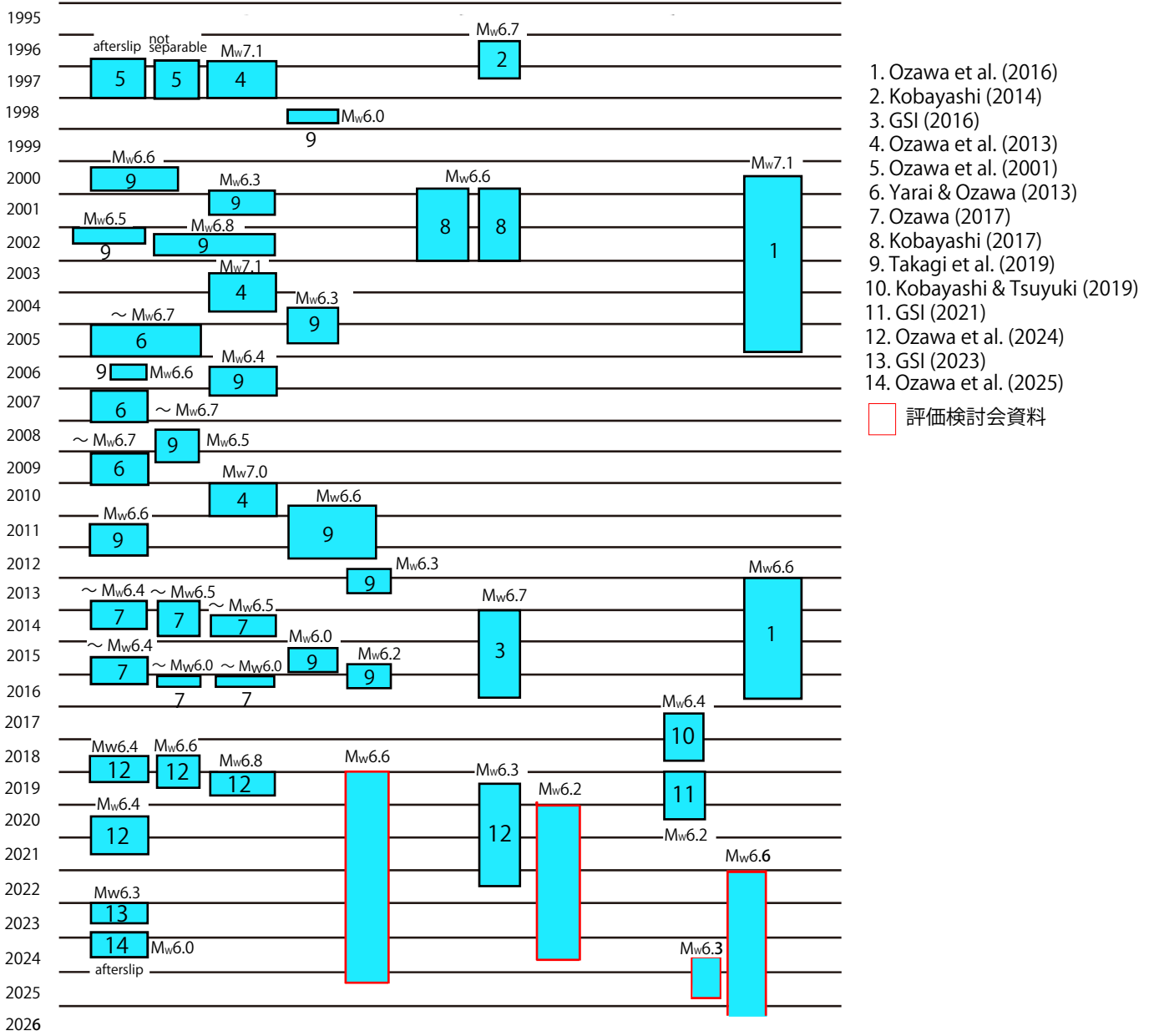
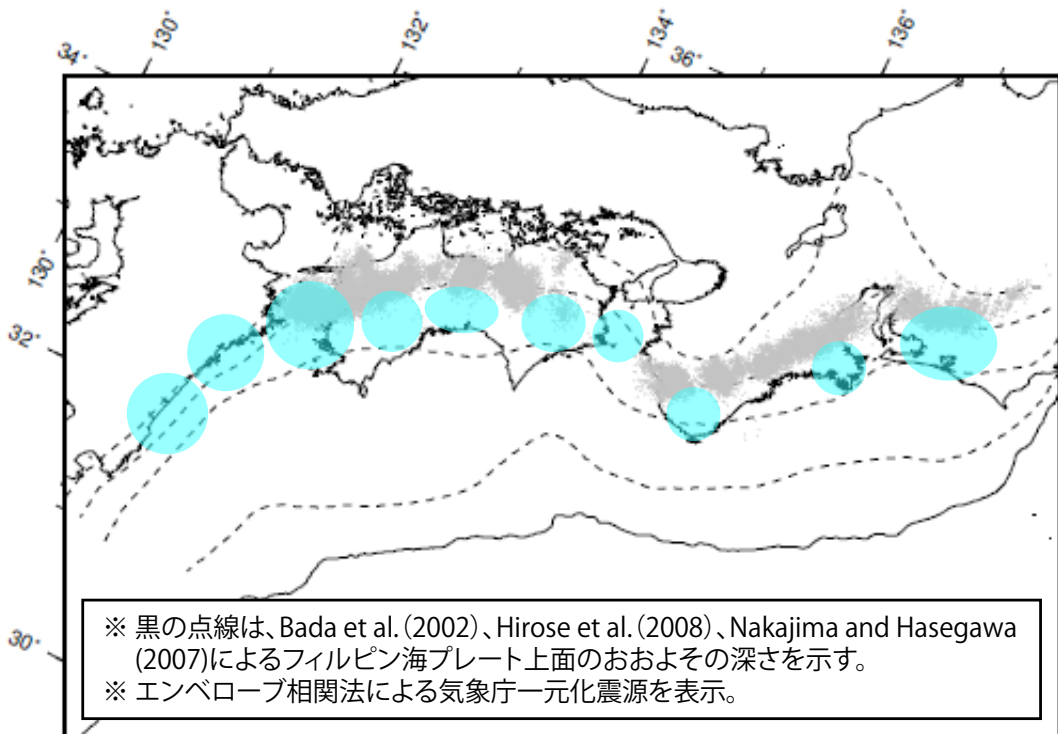
四国西部2005年  
 四国中部2019年～2025年

豊後水道1996～1997年  
 豊後水道2003年  
 豊後水道2010年  
 豊後水道2014年  
 豊後水道2018～2019年

日向灘南部 1998～2001年  
 日向灘南部 2020～2021年、2023年

第2図 長期的スロースリップの規模分布 (1996年～2026年3月)  
 2年間あたりの変化量から推定したモーメントマグニチュード。

# 長期的ゆっくりすべりの全体概要



※ 本資料は、評価検討会における評価結果やOzawa et al.(2024)等をもとに、長期的ゆっくりすべりの発生場所と時期を模式的に示した図である。それぞれのゆっくりすべりの詳細については、各文献等を参照願います。